

RELAXATION ET PASSAGE 3D-2D AVEC CONTRAINTES DE TYPE DÉTERMINANT

OMAR ANZA HAFSA & JEAN-PHILIPPE MANDALLENA

RÉSUMÉ. L'objectif de cet article est, d'une part, de rendre accessible un ensemble d'outils et méthodes pour traiter la relaxation et le passage 3D-2D avec contraintes de type déterminant, et, d'autre part, de donner une démonstration complète du passage 3D-2D par Γ -convergence sous la contrainte déterminant strictement positif.

RELAXATION AND 3D-2D PASSAGE WITH DETERMINANT TYPE CONSTRAINTS

ABSTRACT. The goal of this paper is, on the one hand, to make available a set of tools and methods to deal with relaxation and 3D-2D passage with determinant type constraints, and, on the other hand, to give a complete proof of the 3D-2D passage by Γ -convergence under the constraint determinant positive.

SOMMAIRE

1. Introduction et préliminaires	2
1.1. Généralités sur le calcul des variations	3
1.2. Quasiconvexité et semi-continuité inférieure	4
1.3. Relaxation	5
1.4. Passage 3D-2D	6
2. Relaxation avec contraintes de type déterminant	8
2.1. Théorèmes généraux	8
2.2. Contrainte produit vectoriel non nul	15
2.3. Contrainte déterminant non nul	18
2.4. Contrainte déterminant strictement positif	24
3. Passage 3D-2D avec contraintes de type déterminant	25
3.1. Généralités	25
3.2. Contrainte déterminant non nul	28
3.3. Contrainte déterminant strictement positif	33
4. Deux théorèmes d'approximation	44
4.1. Théorème de Gromov-Eliashberg	44
4.2. Théorème de Ben Belgacem-Bennequin	52
5. Permutation de l'infimum et de l'intégrale	58
5.1. Théorème général	58

Date. Janvier 2009 - January 2009.

Mots clés. Calcul des variations, hyperélasticité, relaxation, passage 3D-2D, Γ -convergence, énergie de membrane non linéaire, contrainte déterminant strictement positif, contraintes de type déterminant.

Key words. Calculus of variations, hyperelasticity, relaxation, 3D-2D passage, Γ convergence, nonlinear membrane energy, constraint determinant positive, determinant type constraints.

5.2. Une version continue du théorème de Hiai-Umegaki	60
Références	61

1. INTRODUCTION ET PRÉLIMINAIRES

Une modélisation mathématique réaliste de l’hyperélasticité doit prendre en compte *la non interpénétrabilité de la matière et la nécessité d’une énergie infinie pour comprimer un volume de matière en un point*. Ainsi la densité d’énergie $W : \mathbb{M}^{m \times N} \rightarrow [0, +\infty]$ (avec $m = N = 3$ dans le cadre de l’hyperélasticité) associée à un matériau hyperélastique doit satisfaire les deux contraintes suivantes :

$$(1.1) \quad W(F) = +\infty \text{ si et seulement si } \det F \leq 0 ;$$

$$(1.2) \quad W(F) \rightarrow +\infty \text{ lorsque } \det F \rightarrow 0,$$

où $\mathbb{M}^{m \times N}$ est l’espace des matrices à m lignes et N colonnes et $\det F$ est le déterminant de F (lorsque $m = N$). Cet article se concentre sur le développement d’outils et méthodes pour traiter la relaxation et le passage 3D-2D en présence des contraintes (1.1) et (1.2) dans le cadre du calcul des variations dit “moderne”, i.e., l’étude de la minimisation des fonctionnelles intégrales du point de vue de la méthode directe du calcul des variations (voir §1.1). Bien que ces contraintes apparaissent en hyperélasticité peu de choses sont connues sur le calcul des variations avec contraintes de type déterminant. En effet, la plupart des résultats concernent le cas où W satisfait la condition de croissance d’ordre $p > 1$ suivante

$$W(F) \leq c(1 + |F|^p) \text{ pour tout } F \in \mathbb{M}^{m \times N} \text{ avec } c > 0,$$

ce qui est incompatible avec (1.1) et (1.2) (voir §1.2-1.4). En fait, il est possible de dépasser le cas à croissance d’ordre p en dégageant le concept plus “souple” d’intégrande p -ample, i.e., W est p -ample si

$$\mathcal{Z}W(F) \leq c(1 + |F|^p) \text{ pour tout } F \in \mathbb{M}^{m \times N} \text{ avec } c > 0$$

(avec $\mathcal{Z}W$ définie en (1.12)). Celui-ci permet de traiter la relaxation et le passage 3D-2D sous la contrainte déterminant non nul (voir §2.1-2.4 et §3.1-3.2), i.e., W satisfait (1.4) et (1.2), aussi bien que le passage 3D-2D sous la contrainte déterminant strictement positif (voir §3.1 et §3.3), i.e., W satisfait (1.1) et (1.2), qui, étant plus difficile à traiter, nécessite l’utilisation de deux théorèmes d’approximation ainsi qu’un théorème de permutation de l’infimum et de l’intégrale (voir §4-5).

L’objectif principal de cet article est de fournir une démonstration complète du théorème de passage 3D-2D par Γ -convergence sous la contrainte déterminant strictement positif que nous avons mis au point dans [7] (voir le théorème 3.2). Dans un souci de synthèse, il nous a paru nécessaire de donner une vue détaillée et unifiée, avec des améliorations, de nos travaux [5, 6, 7, 8]. On retrouvera donc des résultats déjà démontrés, mais aussi d’autres qui étaient seulement énoncés et difficiles d’accès : un de nos objectifs étant de rendre accessible un corpus d’outils et méthodes pour traiter la relaxation et le passage 3D-2D en présence de contraintes de type déterminant. Enfin, nous avons essayé autant que possible, tout au long de cet article, d’être précis sur les multiples contributions (Percivale 1991, Le Dret-Raoult 1993, Ben Belgacem 1996, Ben Belgacem-Bennequin 1996) qui ont amené à

la résolution complète du problème du passage 3D-2D par Γ -convergence sous les contraintes (1.1) et (1.2).

1.1. Généralités sur le calcul des variations. De façon générale le calcul des variations vise à minimiser des fonctionnelles intégrales du type

$$E(\phi) = \int_{\Omega} L(x, \phi(x), \nabla \phi(x)) dx,$$

où $\Omega \subset \mathbb{R}^N$ est un ouvert borné et $L : \Omega \times \mathbb{R}^N \times \mathbb{M}^{m \times N} \rightarrow \mathbb{R} \cup \{+\infty\}$ est l'intégrande, lorsque $\phi : \Omega \rightarrow \mathbb{R}^m$ satisfait une condition au bord du type $\phi = \phi_0$ sur $\partial\Omega$ et décrit un espace de Banach X (réflexif) sur lequel E et la condition au bord ont un sens. Pour traiter ce type de problème de minimisation on utilise *la méthode directe du calcul des variations* qui consiste à vérifier les trois points suivants :

- ◊ $\mathcal{A} := \{\phi \in X : \phi = \phi_0 \text{ sur } \partial\Omega\}$ est non vide et E est minorée sur \mathcal{A} , assurant ainsi que $-\infty < \alpha := \inf\{E(\phi) : \phi \in \mathcal{A}\} < +\infty$;
- ◊ il existe une suite $\{\bar{\phi}_n\}_{n \geq 1}$ minimisante pour E dans \mathcal{A} , i.e., $\{\bar{\phi}_n\}_{n \geq 1} \subset \mathcal{A}$ et $\lim_{n \rightarrow +\infty} E(\bar{\phi}_n) = \alpha$, telle que, à une sous-suite près, $\bar{\phi}_n \rightharpoonup \bar{\phi}$ avec $\bar{\phi} \in \mathcal{A}$ et $\bar{\phi} = \phi_0$ sur $\partial\Omega$ (où “ \rightharpoonup ” désigne la convergence faible dans X) ;
- ◊ E est séquentiellement faiblement semi-continue inférieurement (sfsci) dans X , i.e., $E(\bar{\phi}) \leq \liminf_{n \rightarrow +\infty} E(\bar{\phi}_n)$ pour tout $\bar{\phi}_n \rightharpoonup \bar{\phi}$ dans X .

On a alors $\bar{\phi} \in \mathcal{A}$ et $E(\bar{\phi}) \leq \liminf_{n \rightarrow +\infty} E(\bar{\phi}_n) = \alpha$, i.e., $\bar{\phi}$ est un minimiseur de E sur \mathcal{A} .

Ici, $X = W^{1,p}(\Omega; \mathbb{R}^m)$ avec $p > 1$ et $L(x, s, F) = W(F) - \langle f(x), s \rangle$ où $\langle \cdot, \cdot \rangle$ est le produit scalaire dans \mathbb{R}^N , $f \in L^q(\Omega; \mathbb{R}^m)$ avec $1/p + 1/q = 1$ et $W : \mathbb{M}^{m \times N} \rightarrow [0, +\infty]$ est Borel mesurable et coercive, i.e., il existe $C > 0$ tel que $W(F) \geq C|F|^p$ pour chaque $F \in \mathbb{M}^{m \times N}$. Avec ce cadre de travail, les deux premiers points se vérifient assez facilement. Le point difficile à vérifier est le troisième, i.e., montrer que $E : W^{1,p}(\Omega; \mathbb{R}^m) \rightarrow \mathbb{R} \cup \{+\infty\}$ définie par $E := I - J$ avec $I : W^{1,p}(\Omega; \mathbb{R}^m) \rightarrow [0, +\infty]$ et $J : W^{1,p}(\Omega; \mathbb{R}^m) \rightarrow \mathbb{R}$ données respectivement par

$$(1.3) \quad I(\phi) := \int_{\Omega} W(\nabla \phi(x)) dx \text{ et } J(\phi) := \int_{\Omega} \langle f(x), \phi(x) \rangle dx$$

est sfsci dans $W^{1,p}(\Omega; \mathbb{R}^m)$. Comme J est (une forme) linéaire et fortement continue dans $W^{1,p}(\Omega; \mathbb{R}^m)$ tout revient à étudier la semi-continuité inférieure faible de I . En présence des conditions (1.1) et (1.2) (et sans hypothèse de polyconvexité) ce problème de semi-continuité inférieure n'est pas encore résolu (voir [12, 13]). Dans [6, 8] cette question a été abordé sous l'angle de la relaxation par la mise au point d'un théorème général utilisable lorsque W satisfait (1.2) et

$$(1.4) \quad W(F) = +\infty \text{ si et seulement si } \det F = 0.$$

(On peut noter que la condition (1.4) est “moins mécanique” que (1.1) car bien qu'elle interdise “la compression d'un volume de matière en un point”, elle n'empêche pas “l'interpénétration de la matière”.) Le passage 3D-2D en présence des conditions (1.4) et (1.2) a été traité dans [5]. Utilisant la méthode développée dans [5] et les travaux de Ben Belgacem (voir [15, 16, 17]), dans [7] nous avons étudié le passage 3D-2D sous les contraintes plus réalistes (1.1) et (1.2).

Avant de décrire en détail ces résultats (voir §2 pour [6, 8] et voir §3 pour [5, 7]) nous donnons une vue succincte de quelques notions (quasiconvexité et semi-continuité inférieure (voir §1.2), relaxation (voir §1.3), passage 3D-2D (voir §1.4)) du calcul des variations.

1.2. Quasiconvexité et semi-continuité inférieure. Le concept de quasiconvexité a été introduit par Morrey en 1952 (voir [39]).

Définition 1.1. On dit que W est quasiconvexe si

$$W(F) \leq \int_Y W(F + \nabla\varphi(x))dx$$

pour tout $F \in \mathbb{M}^{m \times N}$ et tout $\varphi \in W_0^{1,\infty}(Y; \mathbb{R}^m)$ avec $Y :=]0, 1[^N$.

Malgré les apparences, la définition 1.1 est indépendante de Y (voir [14, Proposition 2.3], voir aussi la proposition 2.3(a)). La quasiconvexité n'est pas identique à la convexité. Plus précisément, si W est convexe, i.e.,

$$(1.5) \quad W(tF + (1-t)F') \leq tW(F) + (1-t)W(F')$$

pour tous $F, F' \in \mathbb{M}^{m \times N}$ et tout $t \in]0, 1[$, alors W est quasiconvexe. La réciproque est vraie dans le cas scalaire, i.e., $\min\{m, N\} = 1$, mais fautive dans le cas vectoriel, i.e., $\min\{m, N\} > 1$, (par exemple, si $m = N > 1$, l'application $F \mapsto |\det F|$ est quasiconvexe mais n'est pas convexe). La quasiconvexité est aussi reliée à d'autres notions de convexité : la polyconvexité et la rang-1 convexité. On dit que W est polyconvexe si $W(F) = g(T(F))$ où g est une certaine fonction convexe et $T(F)$ est le vecteur formé par toutes les matrices des "sous-déterminants" de F . Par exemple, si $m = N = 3$, W est polyconvexe si et seulement si il existe une fonction convexe $g : \mathbb{M}^{3 \times 3} \times \mathbb{M}^{3 \times 3} \times \mathbb{R} \rightarrow [0, +\infty]$ telle que $W(F) = g(F, \text{cof}F, \det F)$ pour tout $F \in \mathbb{M}^{3 \times 3}$ où $\text{cof}F$ est la matrice des cofacteurs de F . La polyconvexité implique la quasiconvexité mais la réciproque est fautive (voir [2, 45]). On dit que W est rang-1 convexe si (1.5) a lieu pour tout $t \in]0, 1[$ et tous $F, F' \in \mathbb{M}^{m \times N}$ avec $\text{rang}(F - F') \leq 1$. Si W est quasiconvexe et finie alors W est rang-1 convexe. Si $m \geq 3$ et $N \geq 2$, la rang-1 convexité n'implique pas la quasiconvexité (voir [42]). (Le cas $m = 2$ et $N \geq 2$ est encore ouvert.)

À cause du résultat suivant (voir [14, Corollary 3.2]) la quasiconvexité est un concept central du calcul des variations.

Théorème 1.2. *Si I est sfsci dans $W^{1,p}(\Omega; \mathbb{R}^m)$ alors W est quasiconvexe.*

Un problème (ouvert) important est de savoir si la quasiconvexité est aussi une condition suffisante pour que I soit sfsci dans $W^{1,p}(\Omega; \mathbb{R}^m)$. Du point de vue de l'hyperélasticité, la question (ouverte) est de savoir s'il existe une réciproque du théorème 1.2 qui est compatible avec (1.1) et (1.2).

En 1984, Ball et Murat ont démontré le théorème suivant (voir [14, Theorem 4.5(i)] voir aussi [11] pour des résultats plus généraux faisant intervenir la polyconvexité).

Théorème 1.3. *Soit $W : \mathbb{M}^{N \times N} \rightarrow [0, +\infty]$ définie par $W(F) := |F|^p + h(\det F)$ avec $h : \mathbb{R} \rightarrow [0, +\infty]$ et $p \geq N$. Si h est sci et convexe (ce qui implique que W est polyconvexe) alors I est sfsci dans $W^{1,p}(\Omega; \mathbb{R}^m)$.*

Le théorème 1.3 est compatible avec (1.1) et (1.2) (par exemple, on peut l'utiliser avec $h : \mathbb{R} \rightarrow [0, +\infty]$ donnée par $h(t) = 1/t$ si $t > 0$ et $h(t) = +\infty$ si $t \leq 0$). Cependant, il n'est pas complètement satisfaisant puisqu'il fait appel à la polyconvexité qui n'est pas équivalente à la quasiconvexité.

En 1984, Acerbi et Fusco ont prouvé le théorème suivant (voir [1, Theorem II.4]).

Théorème 1.4. *Si W est continue, quasiconvexe et satisfait la condition de croissance d'ordre p suivante*

$$(1.6) \quad W(F) \leq c(1 + |F|^p) \text{ pour tout } F \in \mathbb{M}^{m \times N} \text{ avec } c > 0,$$

alors I est sfsci dans $W^{1,p}(\Omega; \mathbb{R}^m)$.

Ce théorème ne fait pas intervenir la polyconvexité mais n'est pas applicable en hyperélasticité. En effet, il est clair que (1.6) est incompatible avec (1.1) et (1.2). A notre connaissance, du point de vue de l'hyperélasticité, le théorème 1.4 n'a pas encore été dépassé.

1.3. Relaxation. Lorsque I n'est pas sfsci dans $W^{1,p}(\Omega; \mathbb{R}^m)$ (ou bien si on ne sait pas démontrer que I est sfsci dans $W^{1,p}(\Omega; \mathbb{R}^m)$) on ne peut pas, à l'aide de la méthode directe du calcul des variations, résoudre le problème de minimisation suivant

$$(1.7) \quad \inf \left\{ E(\phi) = I(\phi) - J(\phi) : \phi \in \mathcal{A} \right\} =: \alpha$$

où $\mathcal{A} := \{ \phi \in W^{1,p}(\Omega; \mathbb{R}^m) : \phi = \phi_0 \text{ sur } \partial\Omega \}$ avec $\phi_0 \in W^{1,p}(\Omega; \mathbb{R}^m)$ et I, J sont définies en (1.3). On considère alors le problème suivant

$$(1.8) \quad \inf \left\{ \bar{E}(\phi) : \phi \in \mathcal{A} \right\} =: \bar{\alpha}$$

avec $\bar{E} : W^{1,p}(\Omega; \mathbb{R}^m) \rightarrow \mathbb{R} \cup \{+\infty\}$ définie par

$$(1.9) \quad \bar{E}(\phi) := \inf \left\{ \liminf_{n \rightarrow +\infty} E(\phi_n) : \mathcal{A} \ni \phi_n \rightharpoonup \phi \right\}.$$

En fait, \bar{E} est la régularisée sci par rapport à la convergence faible de $W^{1,p}(\Omega; \mathbb{R}^m)$ de la fonctionnelle valant E sur \mathcal{A} et $+\infty$ sinon, et donc \bar{E} est sfsci dans $W^{1,p}(\Omega; \mathbb{R}^m)$. Ainsi (1.8) peut être traité par la méthode directe du calcul des variations. Le passage de (1.7) à (1.8) est appelé *relaxation*. Son intérêt vient des trois propriétés suivantes :

- ◇ $\alpha = \bar{\alpha}$;
- ◇ si $\phi_n \rightharpoonup \bar{\phi}$ dans $W^{1,p}(\Omega; \mathbb{R}^m)$ avec $\{\phi_n\}_{n \geq 1}$ une suite minimisante pour E dans \mathcal{A} alors $\bar{\phi}$ est un minimiseur de \bar{E} dans \mathcal{A} ;
- ◇ si $\bar{\phi}$ est un minimiseur de \bar{E} dans \mathcal{A} alors il existe une suite minimisante $\{\phi_n\}_{n \geq 1}$ pour E dans \mathcal{A} telle que $\phi_n \rightharpoonup \bar{\phi}$ dans $W^{1,p}(\Omega; \mathbb{R}^m)$.

Le problème (1.8) est appelé le problème relaxé de (1.7) et les solutions de (1.8) sont dites solutions généralisées de (1.7). L'inconvénient de la relaxation est que l'expression dans (1.9) de la nouvelle fonctionnelle à minimiser \bar{E} n'est pas une formule explicite. On est ainsi amené à étudier l'existence d'une représentation (plus explicite) pour \bar{E} .

Pour simplifier, dans ce qui suit on supposera qu'il n'y a pas de condition au bord, i.e., $\mathcal{A} = W^{1,p}(\Omega; \mathbb{R}^m)$. Rappelant que J est linéaire et fortement continue dans $W^{1,p}(\Omega; \mathbb{R}^m)$, il est facile de voir que $\bar{E} = \bar{I} - J$ avec $\bar{I} : W^{1,p}(\Omega; \mathbb{R}^m) \rightarrow [0, +\infty]$ donnée par

$$(1.10) \quad \bar{I}(\phi) := \inf \left\{ \liminf_{n \rightarrow +\infty} I(\phi_n) : W^{1,p}(\Omega; \mathbb{R}^m) \ni \phi_n \rightharpoonup \phi \right\}.$$

Du point de vue de l'hyperélasticité, le fait que la fonctionnelle I n'est pas sfsci dans $W^{1,p}(\Omega; \mathbb{R}^m)$ signifie que la densité d'énergie W caractérise le comportement

du matériau à l'échelle microscopique. Le passage de I à \bar{I} s'interprète donc comme un passage "micro-macro". Comme la fonctionnelle \bar{I} est censée représenter le comportement macroscopique d'un matériau hyperélastique, il est naturel de se demander si elle possède une représentation intégrale du type

$$(1.11) \quad \bar{I}(\phi) = \int_{\Omega} \bar{W}(\nabla\phi(x))dx \text{ pour tout } \phi \in W^{1,p}(\Omega; \mathbb{R}^m)$$

avec $\bar{W} : \mathbb{M}^{m \times N} \rightarrow [0, +\infty]$ (qui sera nécessairement quasiconvexe d'après le théorème 1.2). Un bon candidat pour \bar{W} est l'enveloppe quasiconvexe de W .

Définition 1.5. L'enveloppe quasiconvexe de W est l'unique fonction (lorsqu'elle existe) $\mathcal{Q}W : \mathbb{M}^{m \times N} \rightarrow [0, +\infty]$ telle que :

- ◊ $\mathcal{Q}W$ est Borel mesurable et $\mathcal{Q}W \leq W$;
- ◊ pour tout $g : \mathbb{M}^{m \times N} \rightarrow [0, +\infty]$, si g est Borel mesurable, quasiconvexe et $g \leq W$ alors $g \leq \mathcal{Q}W$.

On dit que $\mathcal{Q}W$ est la plus grande fonction quasiconvexe qui est inférieure à W .

Posons $\text{Aff}_0(Y; \mathbb{R}^m) := \{\varphi \in \text{Aff}(Y; \mathbb{R}^m) : \varphi = 0 \text{ sur } \partial Y\}$ (avec $\text{Aff}(Y; \mathbb{R}^m)$ désignant l'ensemble des fonctions continues et affines par morceaux de Y dans \mathbb{R}^m , i.e., $\varphi \in \text{Aff}(Y; \mathbb{R}^m)$ si et seulement si φ est continue et il existe une famille finie $\{V_i\}_{i \in I}$ de sous-ensembles ouverts et disjoints de Y telle que $|Y \setminus \cup_{i \in I} V_i| = 0$ et pour chaque $i \in I$, $|\partial V_i| = 0$ et $\nabla\varphi(x) = F_i$ dans V_i avec $F_i \in \mathbb{M}^{m \times N}$) et définissons $\mathcal{Z}W : \mathbb{M}^{m \times N} \rightarrow [0, +\infty]$ par

$$(1.12) \quad \mathcal{Z}W(F) := \inf \left\{ \int_Y W(F + \nabla\varphi(x))dx : \varphi \in \text{Aff}_0(Y; \mathbb{R}^m) \right\}.$$

En 1982, Dacorogna a démontré le théorème suivant (voir [19, Theorem 5] voir aussi [1, Statement III.7]).

Théorème 1.6. *Si W est continue et satisfait (1.6) alors (1.11) a lieu avec $\bar{W} = \mathcal{Q}W = \mathcal{Z}W$.*

Un problème (ouvert) important (du point de vue de l'hyperélasticité) est de savoir si on a (1.11) avec $\bar{W} = \mathcal{Q}W = \mathcal{Z}W$ lorsque W satisfait (1.1) et (1.2). Dans [8] il a été montré que (1.11) a lieu avec $\bar{W} = \mathcal{Q}W = \mathcal{Z}W$ lorsque W satisfait (1.4) et (1.2) (voir §2).

Remarque 1.7. En 1982, Dacorogna a aussi prouvé le théorème suivant de représentation de la quasiconvexifiée (voir [20, Theorem 6.9 p. 271]).

Théorème 1.8. *Si W est finie alors $\mathcal{Q}W = \mathcal{Z}W$.*

(Une preuve de ce théorème est donnée en §2.1.3.)

1.4. Passage 3D-2D. Considérons un matériau hyperélastique occupant dans une configuration de référence l'ouvert $\Sigma_\varepsilon := \Sigma \times]-\frac{\varepsilon}{2}, \frac{\varepsilon}{2}[\subset \mathbb{R}^3$ où $\Sigma \subset \mathbb{R}^2$ est un ouvert borné et $\varepsilon > 0$ est "très petit" (cela signifie que le matériau (tridimensionnel) a une très petite épaisseur, il est "presque" bidimensionnel). Le passage 3D-2D consiste à trouver une modélisation bidimensionnelle du matériau considéré. Dans notre cas, il s'agit de montrer que $I_\varepsilon : W^{1,p}(\Sigma_\varepsilon; \mathbb{R}^3) \rightarrow [0, +\infty]$ définie par

$$(1.13) \quad I_\varepsilon(\phi) := \frac{1}{\varepsilon} \int_{\Sigma_\varepsilon} W(\nabla\phi(x, x_3))dx dx_3$$

(où $W : \mathbb{M}^{3 \times 3} \rightarrow [0, +\infty]$ est la densité d'énergie du matériau tridimensionnel représenté par Σ_ε et (x, x_3) avec $x \in \Sigma$ et $x_3 \in]-\frac{\varepsilon}{2}, \frac{\varepsilon}{2}[$ désigne un point de Σ_ε) “converge variationnellement” lorsque $\varepsilon \rightarrow 0$ (voir la définition 1.9) vers $I_{\text{mem}} : W^{1,p}(\Sigma; \mathbb{R}^3) \rightarrow [0, +\infty]$ donnée par

$$(1.14) \quad I_{\text{mem}}(\psi) := \int_{\Sigma} W_{\text{mem}}(\nabla \psi(x)) dx$$

avec $W_{\text{mem}} : \mathbb{M}^{3 \times 2} \rightarrow [0, +\infty]$ (qui sera la densité d'énergie du matériau bidimensionnel représenté par Σ), et de donner une formule (qui dépendra de W) pour W_{mem} . La fonctionnelle I_{mem} est appelée l'énergie de membrane non linéaire associée au matériau bidimensionnel modélisé par Σ .

La limite de I_ε lorsque $\varepsilon \rightarrow 0$ est calculée au sens de la $\Gamma(\pi)$ -convergence (une variante de la Γ -convergence de De Giorgi (voir [22, 23], voir aussi la définition 3.3) développée par Anzellotti, Baldo et Percivale (voir [9])). Soit $\pi = \{\pi_\varepsilon\}_\varepsilon$ avec $\pi_\varepsilon : W^{1,p}(\Sigma_\varepsilon; \mathbb{R}^3) \rightarrow W^{1,p}(\Sigma; \mathbb{R}^3)$ définie par

$$(1.15) \quad \pi_\varepsilon(\phi) := \frac{1}{\varepsilon} \int_{-\frac{\varepsilon}{2}}^{\frac{\varepsilon}{2}} \phi(\cdot, x_3) dx_3.$$

Définition 1.9. On dit que I_ε $\Gamma(\pi)$ -converge vers I_{mem} et on écrit

$$I_{\text{mem}} = \Gamma(\pi)\text{-}\lim_{\varepsilon \rightarrow 0} I_\varepsilon$$

si les deux assertions suivantes sont satisfaites :

- ◇ pour tout $\psi \in W^{1,p}(\Sigma; \mathbb{R}^3)$ et tout $\{\phi_\varepsilon\}_\varepsilon \subset W^{1,p}(\Sigma_\varepsilon; \mathbb{R}^3)$,
si $\pi_\varepsilon(\phi_\varepsilon) \rightharpoonup \psi$ dans $W^{1,p}(\Sigma; \mathbb{R}^3)$ alors $I_{\text{mem}}(\psi) \leq \liminf_{\varepsilon \rightarrow 0} I_\varepsilon(\phi_\varepsilon)$;
- ◇ pour tout $\psi \in W^{1,p}(\Sigma; \mathbb{R}^3)$, il existe $\{\phi_\varepsilon\}_\varepsilon \subset W^{1,p}(\Sigma_\varepsilon; \mathbb{R}^3)$ tel que
 $\pi_\varepsilon(\phi_\varepsilon) \rightharpoonup \psi$ dans $W^{1,p}(\Sigma; \mathbb{R}^3)$ et $I_{\text{mem}}(\psi) \geq \limsup_{\varepsilon \rightarrow 0} I_\varepsilon(\phi_\varepsilon)$.

A notre connaissance, la $\Gamma(\pi)$ -convergence de (1.13) vers (1.14) a été étudiée pour la première fois par Percivale en 1991 (voir [40, §3]). Dans son travail, il a essayé de prendre en compte les conditions (1.1) et (1.2). Mais, comme ses résultats contenaient quelques erreurs, il ne les a pas publiés. Malgré tout, Percivale a introduit la “bonne” formule pour W_{mem} , i.e., $W_{\text{mem}} = \mathcal{Q}W_0$ (l'enveloppe quasiconvexe de W_0) avec $W_0 : \mathbb{M}^{3 \times 2} \rightarrow [0, +\infty]$ donnée par

$$(1.16) \quad W_0(\xi) := \inf \left\{ W(\xi | \zeta) : \zeta \in \mathbb{R}^3 \right\}$$

avec $(\xi | \zeta)$ désignant la matrice de $\mathbb{M}^{3 \times 3}$ correspondant à $(\xi, \zeta) \in \mathbb{M}^{3 \times 2} \times \mathbb{R}^3$.

En 1993, indépendamment de Percivale, Le Dret et Raoult ont démontré le théorème suivant (voir [36] et [37, Theorem 2]).

Théorème 1.10. *Si W est continue et satisfait (1.6) alors $I_{\text{mem}} = \Gamma(\pi)\text{-}\lim_{\varepsilon \rightarrow 0} I_\varepsilon$ avec $W_{\text{mem}} = \mathcal{Q}W_0$.*

Bien que ce théorème ne soit pas compatible avec les contraintes de l'hyperélasticité (1.1) et (1.2), il établit un cadre mathématique convenable pour étudier la réduction de dimension d'un point de vue variationnel (ce théorème est en fait le point de départ de beaucoup de travaux sur le sujet).

Après Percivale, en 1996, Ben Belgacem a aussi considéré les conditions (1.1) et (1.2). Dans [16, Theorem 1], il annonçait avoir réussi à traiter la $\Gamma(\pi)$ -convergence

de (1.13) vers (1.14) en présence de (1.1) et (1.2). Dans [17], qui est l'article correspondant à la note [16], l'énoncé [16, Theorem 1] n'est pas complètement démontré (cependant, une preuve plus détaillée, mais pas entièrement complète, peut être trouvée dans sa thèse [15]). De plus, pour Ben Belgacem, $W_{\text{mem}} = \mathcal{QR}W_0$ (l'enveloppe quasiconvexe de l'enveloppe rang-1 convexe de W_0). En fait, il a été montré dans [6, 5] que $\mathcal{QR}W_0 = \mathcal{Q}W_0$ (voir la remarque 3.5). Néanmoins, les travaux de Ben Belgacem apportent des avancées substantielles. En particulier, ils mettent en lumière l'importance des théorèmes d'approximation pour des fonctions de Sobolev par des immersions lisses dans l'étude du passage 3D-2D en présence de (1.1) et (1.2).

Dans [5] nous avons traité la $\Gamma(\pi)$ -convergence de (1.13) vers (1.14) en présence de (1.4) et (1.2) (voir le théorème 3.1 et la remarque 3.13). Utilisant la méthode développée dans [5] et quelques résultats de Ben Belgacem, dans [7] nous avons étudié la $\Gamma(\pi)$ -convergence de (1.13) vers (1.14) sous les contraintes (1.1) et (1.2) (voir le théorème 3.2).

2. RELAXATION AVEC CONTRAINTES DE TYPE DÉTERMINANT

2.1. Théorèmes généraux. Dans [6, 8] nous avons mis au point le théorème de représentation intégrale suivant pour \bar{I} définie en (1.10). Ce théorème contient et dépasse le théorème 1.6 (voir la remarque 2.4). En particulier, il est compatible avec (1.4) et (1.2) (voir §2.3).

Théorème 2.1. *Si $\mathcal{Z}W$ définie en (1.12) satisfait la condition de croissance d'ordre p suivante*

$$(2.1) \quad \mathcal{Z}W(F) \leq c(1 + |F|^p) \text{ pour tout } F \in \mathbb{M}^{m \times N} \text{ avec } c > 0,$$

alors (1.11) a lieu avec $\bar{W} = \mathcal{Q}W = \mathcal{Z}W$.

Démonstration. Soit $\mathcal{Z}I : W^{1,p}(\Omega; \mathbb{R}^m) \rightarrow [0, +\infty]$ définie par

$$\mathcal{Z}I(\phi) := \int_{\Omega} \mathcal{Z}W(\nabla \phi(x)) dx$$

et soient $\bar{I}_{\text{aff}}, \overline{\mathcal{Z}I}_{\text{aff}}, \overline{\mathcal{Z}I} : W^{1,p}(\Omega; \mathbb{R}^m) \rightarrow [0, +\infty]$ données par :

$$\begin{aligned} \diamond \bar{I}_{\text{aff}}(\phi) &:= \inf \left\{ \liminf_{n \rightarrow +\infty} I(\phi_n) : \text{Aff}(\Omega; \mathbb{R}^m) \ni \phi_n \rightharpoonup \phi \right\}; \\ \diamond \overline{\mathcal{Z}I}_{\text{aff}}(\phi) &:= \inf \left\{ \liminf_{n \rightarrow +\infty} \mathcal{Z}I(\phi_n) : \text{Aff}(\Omega; \mathbb{R}^m) \ni \phi_n \rightharpoonup \phi \right\}; \\ \diamond \overline{\mathcal{Z}I}(\phi) &:= \inf \left\{ \liminf_{n \rightarrow +\infty} \mathcal{Z}I(\phi_n) : W^{1,p}(\Omega; \mathbb{R}^m) \ni \phi_n \rightharpoonup \phi \right\}. \end{aligned}$$

On a besoin du lemme suivant qui est valable sans l'hypothèse (2.1).

Lemme 2.2. $\bar{I}_{\text{aff}} = \overline{\mathcal{Z}I}_{\text{aff}}$.

(Pour une preuve du lemme 2.2 voir §2.1.1.) Comme $\mathcal{Z}W$ satisfait (2.1) et $\text{Aff}(\Omega; \mathbb{R}^m)$ est fortement dense dans $W^{1,p}(\Omega; \mathbb{R}^m)$ (voir la remarque 4.16) on a $\overline{\mathcal{Z}I}_{\text{aff}} = \overline{\mathcal{Z}I}$. Donc $\bar{I}_{\text{aff}} = \overline{\mathcal{Z}I}$ par le lemme 2.2. De plus, $\bar{I} \leq \bar{I}_{\text{aff}}$ et $\overline{\mathcal{Z}I} \leq \bar{I}$, d'où $\bar{I} = \bar{I}_{\text{aff}} = \overline{\mathcal{Z}I}$. D'autre part, Fonseca a démontré la proposition suivante (voir [27]).

Proposition 2.3. $\mathcal{Z}W$ satisfait les quatre propriétés qui suivent.

(a) Pour tout ouvert borné $D \subset \mathbb{R}^N$ avec $|\partial D| = 0$ et tout $F \in \mathbb{M}^{m \times N}$,

$$\mathcal{Z}W(F) = \inf \left\{ \frac{1}{|D|} \int_D W(F + \nabla \varphi(x)) dx : \varphi \in \text{Aff}_0(D; \mathbb{R}^m) \right\}.$$

$$\text{Ainsi } \mathcal{Z}W(F) \leq \frac{1}{|D|} \int_D W(F + \nabla \varphi(x)) dx \text{ pour tout } \varphi \in \text{Aff}_0(D; \mathbb{R}^m).$$

(b) Si $\mathcal{Z}W$ est finie alors $\mathcal{Z}W$ est rang-1 convexe.

(c) Si $\mathcal{Z}W$ est finie alors $\mathcal{Z}W$ est continue.

(d) Pour tout ouvert borné $D \subset \mathbb{R}^N$ avec $|\partial D| = 0$, tout $F \in \mathbb{M}^{m \times N}$ et tout $\varphi \in \text{Aff}_0(D; \mathbb{R}^m)$,

$$\mathcal{Z}W(F) \leq \frac{1}{|D|} \int_D \mathcal{Z}W(F + \nabla \varphi(x)) dx.$$

(Pour une preuve de la proposition 2.3 voir §2.1.2.) Ici on utilise seulement la proposition 2.3(c), i.e., $\mathcal{Z}W$ est continue puisque $\mathcal{Z}W$ satisfait (2.1). En fait, on peut montrer le résultat suivant qui est une extension facile du théorème de représentation de la quasiconvexifiée de Dacorogna (voir le théorème 1.8).

Théorème 1.8-bis. Si $\mathcal{Z}W$ est finie alors $\mathcal{Z}W$ est continue et $\mathcal{Q}W = \mathcal{Z}W$.

(Pour une preuve du théorème 1.8-bis voir §2.1.4.) Ainsi, $\mathcal{Z}W$ est continue, quasiconvexe et satisfait (2.1), donc $\overline{\mathcal{Z}I} = \mathcal{Z}I$ par le théorème 1.4, et le théorème 2.1 suit. \square

Remarque 2.4. Si W vérifie (1.6) alors il est clair que $\mathcal{Z}W$ satisfait (2.1). On obtient donc le théorème suivant (qui est un petit peu plus général que le théorème de relaxation de Dacorogna, voir le théorème 1.6).

Théorème 1.6-bis. Si W vérifie (1.6) alors (1.11) a lieu avec $\overline{W} = \mathcal{Q}W = \mathcal{Z}W$.

Remarque 2.5. En analysant la démonstration du théorème 2.1, on voit que l'on a en fait démontré le résultat suivant.

Théorème 2.1-bis. Si $\mathcal{Z}W$ satisfait (2.1) alors $\overline{I}(\phi) = \overline{I}_{\text{aff}}(\phi) = \int_{\Omega} \overline{W}(\nabla \phi(x)) dx$ pour tout $\phi \in W^{1,p}(\Omega; \mathbb{R}^m)$ avec $\overline{W} = \mathcal{Q}W = \mathcal{Z}W$.

Remarque 2.6. En utilisant la même méthode, dans le cas $p = \infty$ on peut montrer le théorème suivant.

Théorème 2.7. Si $\mathcal{Z}W$ est finie alors $\overline{I}(\phi) = \overline{I}_{\text{aff}}(\phi) = \int_{\Omega} \overline{W}(\nabla \phi(x)) dx$ pour tout $\phi \in W^{1,\infty}(\Omega; \mathbb{R}^m)$ avec $\overline{W} = \mathcal{Q}W = \mathcal{Z}W$.

Un résultat analogue au théorème 2.1 a été prouvé par Ben Belgacem (voir [17, Theorem 3.1]). Soit la suite $\{\mathcal{R}_i W\}_{i \geq 0}$ définie par $\mathcal{R}_0 W = W$ et pour tout $i \geq 1$ et tout $F \in \mathbb{M}^{m \times N}$,

$$(2.2) \quad \mathcal{R}_{i+1} W(F) := \inf_{\substack{a \in \mathbb{R}^N \\ b \in \mathbb{R}^m \\ t \in [0,1]}} \left\{ (1-t) \mathcal{R}_i W(F - ta \otimes b) + t \mathcal{R}_i W(F + (1-t)a \otimes b) \right\}$$

avec $a \otimes b \in \mathbb{M}^{m \times N}$ donné par $(a \otimes b)x := \langle a, x \rangle b$ pour tout $x \in \mathbb{R}^N$, où $\langle \cdot, \cdot \rangle$ désigne le produit scalaire dans \mathbb{R}^N . D'après Kohn et Strang, $\mathcal{R}_{i+1} W \leq \mathcal{R}_i W$ pour tout $i \geq 0$ et $\mathcal{R}W = \inf_{i \geq 0} \mathcal{R}_i W$ (voir [35]) où $\mathcal{R}W$ désigne l'enveloppe rang-1 convexe de W , i.e., la plus grande fonction rang-1 convexe qui est inférieure à W . Le théorème de Ben Belgacem s'énonce comme suit.

Théorème 2.8. *Si :*

- ◇ $\mathbb{O}_W := \text{int}\{F \in \mathbb{M}^{m \times N} : \mathcal{Z}\mathcal{R}_i W(F) \leq \mathcal{R}_{i+1} W(F) \text{ pour tout } i \geq 0\}$ est dense dans $\mathbb{M}^{m \times N}$;
- ◇ pour tout $i \geq 1$, tout $F \in \mathbb{M}^{m \times N}$ et tout $\{F_n\}_n \subset \mathbb{O}_W$,
si $F_n \rightarrow F$ alors $\mathcal{R}_i W(F) \geq \limsup_{n \rightarrow +\infty} \mathcal{R}_i W(F_n)$,

et si $\mathcal{R}W$ satisfait la condition de croissance d'ordre p suivante

$$(2.3) \quad \mathcal{R}W(F) \leq c(1 + |F|^p) \text{ pour tout } F \in \mathbb{M}^{m \times N} \text{ avec } c > 0,$$

alors (1.11) a lieu avec $\overline{W} = \mathcal{Q}\mathcal{R}W$.

Le théorème 2.8 est aussi compatible avec (1.4) et (1.2) (voir [17] et [15, Chapitre 1]). Ben Belgacem est le premier à avoir mis au point un théorème de représentation intégrale pour \overline{I} qui contient et dépasse le théorème 1.6. (En fait, la première tentative de dépassement du théorème 1.6 est due à Percivale (voir [40, §2])). De manière générale, comme la rang-1 convexité et la quasiconvexité ne coïncident pas, les théorèmes 2.1 et 2.8 ne sont pas identiques. Cependant, on a la proposition “mixte” suivante.

Proposition 2.9. *Si $\mathcal{R}W$ satisfait (2.3) et si $\mathcal{Z}W$ est finie alors (1.11) a lieu avec $\overline{W} = \mathcal{Q}W$.*

Démonstration. Comme $\mathcal{Z}W$ est finie, de la proposition 2.3(b) on déduit que $\mathcal{Z}W$ est rang-1 convexe, donc $\mathcal{Z}W \leq \mathcal{R}W$. Ainsi $\mathcal{Z}W$ satisfait (2.1) puisque $\mathcal{R}W$ satisfait (2.3) et la proposition 2.9 suit par le théorème 2.1. \square

Remarque 2.10. Si $\mathcal{Z}W$ est finie alors $\mathcal{Q}\mathcal{R}W = \mathcal{Q}W = \mathcal{Z}W$. En effet, du théorème 1.8-bis on déduit que $\mathcal{Z}W$ est continue et $\mathcal{Q}W = \mathcal{Z}W$. Ainsi $\mathcal{Q}W$ est continue et quasiconvexe donc rang-1 convexe, d'où $\mathcal{Q}W \leq \mathcal{R}W$ et par conséquent $\mathcal{Q}W \leq \mathcal{Q}\mathcal{R}W$. D'autre part, $\mathcal{Q}\mathcal{R}W \leq \mathcal{Q}W$ puisque $\mathcal{R}W \leq W$, ce qui donne le résultat.

2.1.1. *Démonstration du lemme 2.2.* Il est facile de voir que $\overline{\mathcal{Z}I}_{\text{aff}} \leq \overline{I}_{\text{aff}}$, donc tout revient à montrer que $\overline{I}_{\text{aff}} \leq \overline{\mathcal{Z}I}_{\text{aff}}$. Pour cela, il suffit de prouver que

$$(2.4) \quad \text{si } \phi \in \text{Aff}(\Omega; \mathbb{R}^m) \text{ alors } \overline{I}_{\text{aff}}(\phi) \leq \int_{\Omega} \mathcal{Z}W(\nabla\phi(x))dx.$$

Soit $\phi \in \text{Aff}(\Omega; \mathbb{R}^m)$. Par définition, il existe une famille finie $\{V_i\}_{i \in I}$ de sous-ensembles ouverts et disjoints de Ω telle que $|\Omega \setminus \cup_{i \in I} V_i| = 0$ et pour chaque $i \in I$, $|\partial V_i| = 0$ et $\nabla\phi(x) = F_i$ dans V_i avec $F_i \in \mathbb{M}^{m \times N}$. Étant donné $\delta > 0$ et $i \in I$, on considère $\varphi_i \in \text{Aff}_0(Y; \mathbb{R}^m)$ tel que

$$(2.5) \quad \int_Y W(F_i + \nabla\varphi_i(y))dy \leq \mathcal{Z}W(F_i) + \frac{\delta}{|\Omega|}.$$

Soit $n \geq 1$. Par le théorème de recouvrement de Vitali, il existe une famille au plus dénombrable $\{a_{i,j} + \alpha_{i,j}Y\}_{j \in J_i}$ de sous-ensembles disjoints de V_i , où $a_{i,j} \in \mathbb{R}^N$ et $0 < \alpha_{i,j} < \frac{1}{n}$, telle que $|V_i \setminus \cup_{j \in J_i} (a_{i,j} + \alpha_{i,j}Y)| = 0$ (donc $\sum_{j \in J_i} \alpha_{i,j}^N = |V_i|$). Définissons $\phi_n : \Omega \rightarrow \mathbb{R}^m$ par

$$\phi_n(x) := \alpha_{i,j}\varphi_i\left(\frac{x - a_{i,j}}{\alpha_{i,j}}\right) \text{ si } x \in a_{i,j} + \alpha_{i,j}Y.$$

Puisque $\varphi_i \in \text{Aff}_0(Y; \mathbb{R}^m)$, il existe une famille finie $\{Y_{i,l}\}_{l \in L_i}$ de sous-ensembles ouverts et disjoints de Y telle que $|Y \setminus \cup_{l \in L_i} Y_{i,l}| = 0$ et pour chaque $l \in L_i$, $|\partial Y_{i,l}| =$

0 et $\nabla\varphi_i(y) = G_{i,l}$ dans $Y_{i,l}$ avec $G_{i,l} \in \mathbb{M}^{m \times N}$. Posons $U_{i,l,n} := \cup_{j \in J_i} a_{i,j} + \alpha_{i,j} Y_{i,l}$. Alors $|\Omega \setminus \cup_{i \in I} \cup_{l \in L_i} U_{i,l,n}| = 0$ et pour chaque $i \in I$ et chaque $l \in L_i$, $|\partial U_{i,l,n}| = 0$ et $\nabla\phi_n(x) = G_{i,l}$ dans $U_{i,l,n}$. D'où $\phi_n \in \text{Aff}_0(\Omega; \mathbb{R}^m)$. D'autre part, $\|\phi_n\|_{L^\infty(\Omega; \mathbb{R}^m)} \leq \frac{1}{n} \max_{i \in I} \|\varphi_i\|_{L^\infty(Y; \mathbb{R}^m)}$ et $\|\nabla\phi_n\|_{L^\infty(\Omega; \mathbb{M}^{m \times N})} \leq \max_{i \in I} \|\nabla\varphi_i\|_{L^\infty(Y; \mathbb{M}^{m \times N})}$, donc (à une sous-suite près) $\phi_n \xrightarrow{*} 0$ dans $W^{1,\infty}(\Omega; \mathbb{R}^m)$, où " $*$ " désigne la convergence $*$ -faible dans $W^{1,\infty}(\Omega; \mathbb{R}^m)$. D'où $\phi_n \rightharpoonup 0$ dans $W^{1,p}(\Omega; \mathbb{R}^m)$. De plus, on a

$$\begin{aligned} \int_{\Omega} W(\nabla\phi(x) + \nabla\phi_n(x)) dx &= \sum_{i \in I} \int_{V_i} W(F_i + \nabla\phi_n(x)) dx \\ &= \sum_{i \in I} \sum_{j \in J_i} \alpha_{i,j}^N \int_Y W(F_i + \nabla\varphi_i(y)) dy \\ &= \sum_{i \in I} |V_i| \int_Y W(F_i + \nabla\varphi_i(y)) dy. \end{aligned}$$

Comme $\phi + \phi_n \in \text{Aff}(\Omega; \mathbb{R}^m)$ et $\phi + \phi_n \rightharpoonup \phi$ dans $W^{1,p}(\Omega; \mathbb{R}^m)$, utilisant (2.5) on déduit que

$$\begin{aligned} \bar{I}_{\text{aff}}(\phi) &\leq \liminf_{n \rightarrow +\infty} \int_{\Omega} W(\nabla\phi(x) + \nabla\phi_n(x)) dx \leq \sum_{i \in I} |V_i| \mathcal{Z}W(F_i) + \delta \\ &= \int_{\Omega} \mathcal{Z}W(\nabla\phi(x)) dx + \delta, \end{aligned}$$

et (2.4) suit. \square

2.1.2. *Démonstration de la proposition 2.3.* Dans ce qui suit on démontre la proposition 2.3.

Définition 2.11. Soit $U \subset \mathbb{M}^{m \times N}$ un ouvert.

- ◊ On dit que W est rang-1 convexe en F dans U si pour chaque $\theta \in [0, 1[$, chaque $a \in \mathbb{R}^N$ et chaque $b \in \mathbb{R}^m$ tels que $F + \mu a \otimes b \in U$ pour tout $\mu \in [-\frac{\theta}{1-\theta}, 1]$, on a

$$W(F) \leq \theta W(F + a \otimes b) + (1 - \theta) W(F - \frac{\theta}{1-\theta} a \otimes b)$$

(avec $a \otimes b \in \mathbb{R}^N \otimes \mathbb{R}^m \subset \mathbb{M}^{m \times N}$ donné par $(a \otimes b)x = \langle a, x \rangle b$ pour tout $x \in \mathbb{R}^N$, où $\langle \cdot, \cdot \rangle$ désigne le produit scalaire dans \mathbb{R}^N).

- ◊ On dit que W est rang-1 convexe dans U si W est rang-1 convexe en F dans U pour tout $F \in U$.

Remarque 2.12. Lorsque $U = \mathbb{M}^{m \times N}$ la définition 2.11 coïncide avec la définition classique, i.e., W est rang-1 convexe si (1.5) a lieu pour tout $F, F' \in \mathbb{M}^{m \times N}$ avec $\text{rang}(F - F') \leq 1$.

La proposition 2.3(b) se déduit de la proposition suivante.

Proposition 2.13. *La fonction $\mathcal{Z}W$ est rang-1 convexe dans $\text{int}(\text{dom}\mathcal{Z}W)$.*

Pour montrer la proposition 2.13 nous aurons besoin de la proposition 2.3(a) et (d).

Démonstration de la proposition 2.3(a). Soient $D \subset \mathbb{R}^N$ un ouvert borné tel que $|\partial D| = 0$, $F \in \mathbb{M}^{m \times N}$ et $\varphi \in \text{Aff}_0(D; \mathbb{R}^m)$. Par le théorème de recouvrement de Vitali, il existe une famille au plus dénombrable $\{a_i + \varepsilon_i D\}_{i \in I}$ de sous-ensembles

ouverts et disjoints de Y , où $a_i \in \mathbb{R}^N$ et $0 < \varepsilon_i < 1$, telle que $|Y \setminus \cup_{i \in I} (a_i + \varepsilon_i D)| = 0$ (donc $\sum_{i \in I} \varepsilon_i^N = \frac{1}{|D|}$). Définissons $\phi \in \text{Aff}_0(Y; \mathbb{R}^m)$ par

$$\phi(x) = \varepsilon_i \varphi \left(\frac{x - a_i}{\varepsilon_i} \right) \text{ si } x \in a_i + \varepsilon_i D.$$

Alors

$$\begin{aligned} \mathcal{Z}W(F) &\leq \int_Y W(F + \nabla \phi(x)) dx = \sum_{i \in I} \int_{a_i + \varepsilon_i D} W \left(F + \nabla \varphi \left(\frac{x - a_i}{\varepsilon_i} \right) \right) dx \\ &= \sum_{i \in I} \varepsilon_i^N \int_D W(F + \nabla \varphi(x)) dx \\ &= \frac{1}{|D|} \int_D W(F + \nabla \varphi(x)) dx. \end{aligned}$$

Il suit que

$$\mathcal{Z}W(F) \leq \inf \left\{ \frac{1}{|D|} \int_D W(F + \nabla \varphi(x)) dx : \varphi \in \text{Aff}_0(D; \mathbb{R}^m) \right\}.$$

En échangeant le rôle de D et Y on obtient l'inégalité opposée, ce qui termine la preuve. \square

Démonstration de la proposition 2.3(d). Soient $D \subset \mathbb{R}^N$ un ouvert borné tel que $|\partial D| = 0$, $F \in \mathbb{M}^{m \times N}$ et $\varphi \in \text{Aff}_0(D; \mathbb{R}^m)$. Par définition, il existe une famille finie $\{V_i\}_{i \in I}$ de sous-ensembles ouverts et disjoints de D telle que $|D \setminus \cup_{i \in I} V_i| = 0$ et pour chaque $i \in I$, $|\partial V_i| = 0$ et $\nabla \varphi(x) = F_i$ dans V_i avec $F_i \in \mathbb{M}^{m \times N}$. Étant donné $\varepsilon > 0$ et $i \in I$, par la proposition 2.3(a), il existe $\varphi_{\varepsilon, i} \in \text{Aff}_0(V_i; \mathbb{R}^m)$ tel que

$$(2.6) \quad \frac{1}{|V_i|} \int_{V_i} W(F + F_i + \nabla \varphi_{\varepsilon, i}(x)) dx \leq \mathcal{Z}W(F + F_i) + \varepsilon.$$

Définissons $\varphi_\varepsilon \in \text{Aff}_0(D; \mathbb{R}^m)$ par $\varphi_\varepsilon(x) = \varphi(x) + \varphi_{\varepsilon, i}(x)$ si $x \in V_i$. Utilisant à nouveau la proposition 2.3(a) et (2.6) on déduit que

$$\begin{aligned} \mathcal{Z}W(F) &\leq \frac{1}{|D|} \int_D W(F + \nabla \varphi_\varepsilon(x)) dx = \frac{1}{|V_i|} \sum_{i \in I} \int_{V_i} W(F + F_i + \nabla \varphi_{\varepsilon, i}(x)) dx \\ &\leq \frac{1}{|D|} \int_D \mathcal{Z}W(F + \nabla \varphi(x)) dx + \varepsilon \end{aligned}$$

et le résultat suit en faisant $\varepsilon \rightarrow 0$. \square

La démonstration suivante est dû à Fonseca (voir [27]) : elle repose sur la construction d'une certaine fonction continue et affine par morceaux (pour des constructions similaires voir Ball [11] et Morrey [39]).

Démonstration de la Proposition 2.13. Pour simplifier on suppose que $N = 3$ (la généralisation à N quelconque est aisée). Soient $F \in \text{int}(\text{dom } \mathcal{Z}W)$, $\theta \in [0, 1]$, $a \in \mathbb{R}^3$ et $b \in \mathbb{R}^m$ tels que $F + \mu a \otimes b \in \text{int}(\text{dom } \mathcal{Z}W)$ pour tout $\mu \in [-\frac{\theta}{1-\theta}, 1]$. Sans perdre de généralité on peut supposer que $|a| = 1$. Soient (τ, η, a) une base orthonormée de \mathbb{R}^3 et $k_0 \in \mathbb{N}$ tels que

$$(2.7) \quad F + \frac{2\theta}{k} \rho \otimes b \in \text{int}(\text{dom } \mathcal{Z}W)$$

pour tout $k \geq k_0$ et tout $\rho \in \mathbb{R}^3$ satisfaisant $|\rho| = 1$. Étant donné $k > k_0$ on définit le parallépipède $P_k \subset \mathbb{R}^3$ et le rectangle $R_k \subset P_k$ par :

$$P_k := \{x \in \mathbb{R}^3 : |\langle \tau, x \rangle| \leq \frac{k}{2}, |\langle \eta, x \rangle| \leq \frac{k}{2}, -(1-\theta) \leq \langle a, x \rangle \leq \theta\};$$

$$R_k := \{x \in P_k : |\langle \tau, x \rangle| \leq \frac{k-k_0}{2}, |\langle \eta, x \rangle| \leq \frac{k-k_0}{2}, \langle a, x \rangle = 0\},$$

(où $\langle \cdot, \cdot \rangle$ est le produit scalaire dans \mathbb{R}^3) et on considère $P_k^+, P_k^-, T_k^1, T_k^2, T_k^3, T_k^4 \subset P_k$ (voir la figure 1) donnés par :

$$P_k^+ := \text{co}(\{A_1, A_2, A_3, A_4, B_1, B_2, B_3, B_4\});$$

$$P_k^- := \text{co}(\{A_5, A_6, A_7, A_8, B_1, B_2, B_3, B_4\});$$

$$T_k^1 := \text{co}(\{A_1, A_4, A_5, A_8, B_1, B_4\});$$

$$T_k^2 := \text{co}(\{A_1, A_2, A_5, A_6, B_1, B_2\});$$

$$T_k^3 := \text{co}(\{A_2, A_3, A_6, A_7, B_2, B_3\});$$

$$T_k^4 := \text{co}(\{A_3, A_4, A_7, A_8, B_3, B_4\}),$$

où $A_1, A_2, A_3, A_4, A_5, A_6, A_7, A_8$ (resp. B_1, B_2, B_3, B_4) sont les sommets de P_k (resp. R_k) et $\text{co}(X)$ désigne l'enveloppe convexe de l'ensemble $X \subset \mathbb{M}^{m \times N}$.

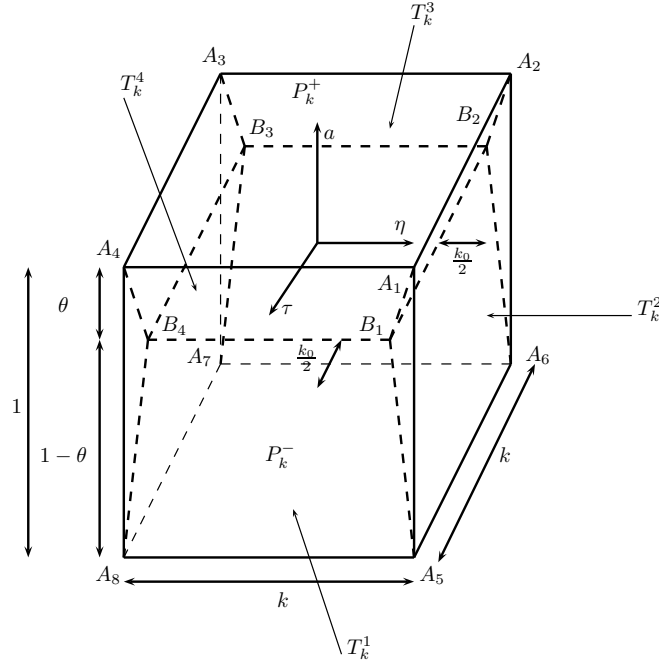


FIGURE 1. Les ensembles $P_k^+, P_k^-, T_k^1, T_k^2, T_k^3, T_k^4$.

Définissons $\phi_k \in \text{Aff}_0(P_k; \mathbb{R})$ par

$$\phi_k(x) := \begin{cases} \langle a, x \rangle - \theta & \text{si } x \in P_k^+ \\ \langle -\frac{\theta}{1-\theta} a, x \rangle - \theta & \text{si } x \in P_k^- \\ \langle \frac{2\theta}{k_0} \tau, x \rangle - \frac{k}{k_0} \theta & \text{si } x \in T_k^1 \\ \langle \frac{2\theta}{k_0} \eta, x \rangle - \frac{k}{k_0} \theta & \text{si } x \in T_k^2 \\ \langle -\frac{2\theta}{k_0} \tau, x \rangle - \frac{k}{k_0} \theta & \text{si } x \in T_k^3 \\ \langle -\frac{2\theta}{k_0} \eta, x \rangle - \frac{k}{k_0} \theta & \text{si } x \in T_k^4, \end{cases}$$

et posons $\varphi_k := \phi_k b \in \text{Aff}_0(P_k; \mathbb{R}^m)$. Utilisant la proposition 2.3(d) on voit que

$$\begin{aligned} \mathcal{Z}W(F) &\leq \frac{1}{|P_k|} \int_{P_k} \mathcal{Z}W(F + \nabla\varphi_k(x)) dx \\ &= \frac{1}{k^2} \left(\mathcal{Z}W(F + a \otimes b) |P_k^+| + \mathcal{Z}W\left(F - \frac{\theta}{1-\theta} a \otimes b\right) |P_k^-| \right. \\ &\quad \left. + \sum_{i=1}^4 \int_{T_k^i} \mathcal{Z}W(F + \nabla\varphi_k(x)) dx \right), \end{aligned}$$

d'où

$$(2.8) \quad \mathcal{Z}W(F) \leq \mathcal{Z}W(F + a \otimes b) \frac{|P_k^+|}{k^2} + \mathcal{Z}W\left(F - \frac{\theta}{1-\theta} a \otimes b\right) \frac{|P_k^-|}{k^2} + 4C \frac{|T_k^1|}{k^2}$$

avec $C := \max\{|\mathcal{Z}W(F + \nabla\varphi_k(x))| : x \in \cup_{i=1}^4 T_k^i\}$ ($C < +\infty$ grace à (2.7)). Posons $T_k^{1,+} := T_k^1 \cap \{x \in \mathbb{R}^3 : \langle a, x \rangle \geq 0\}$ et $T_k^{1,-} := T_k^1 \cap \{x \in \mathbb{R}^3 : \langle a, x \rangle \leq 0\}$. Alors :

- ◇ $\max\{|T_k^{1,+}|, |T_k^{1,-}|\} \leq \max\left\{\frac{\theta k k_0}{2}, \frac{(1-\theta) k k_0}{2}\right\}$;
- ◇ $|P_k^+| = \theta k^2 - 4|T_k^{1,+}|$;
- ◇ $|P_k^-| = (1-\theta)k^2 - 4|T_k^{1,-}|$,

donc $\frac{|P_k^+|}{k^2} \rightarrow \theta$, $\frac{|P_k^-|}{k^2} \rightarrow 1-\theta$ et $\frac{|T_k^1|}{k^2} \rightarrow 0$ lorsque $k \rightarrow +\infty$, et le résultat suit en faisant $k \rightarrow +\infty$ dans (2.8). \square

Définition 2.14. On dit que $U \subset \mathbb{M}^{m \times N}$ est lamination-convexe si pour tout $F, G \in U$ satisfaisant $\text{rg}(F - G) \leq 1$ on a $[F, G] = \{\lambda F + (1-\lambda)G : \lambda \in [0, 1]\} \subset U$.

La proposition 2.3(c) est une conséquence immédiate du résultat suivant qui se déduit aisément de la proposition 2.13 et de [20, Theorem 2.31 p. 47] (en remarquant qu'une fonction rang-1 convexe est séparément convexe).

Corollaire 2.15. Si $\text{dom } \mathcal{Z}W$ est ouvert et lamination-convexe alors $\mathcal{Z}W$ est rang-1 convexe et continue sur $\text{dom } \mathcal{Z}W$.

2.1.3. *Démonstration du théorème 1.8.* Puisque $\mathcal{Z}W \geq \mathcal{Q}W$ il suffit de montrer que $\mathcal{Z}W$ est quasiconvexe. Soient $F \in \mathbb{M}^{m \times N}$ et $\phi \in W_0^{1,\infty}(Y; \mathbb{R}^m)$ tels que $\int_Y W(F + \nabla\phi(x)) dx < +\infty$. Par la remarque 4.16, il existe $\{\phi_n\}_{n \geq 1} \subset \text{Aff}_0(Y; \mathbb{R}^m)$ tel que $\nabla\phi_n(x) \rightarrow \nabla\phi(x)$ p.p. dans Y et $\sup_{n \geq 1} \|\nabla\phi_n\|_{L^\infty(Y; \mathbb{M}^{m \times N})} =: C < +\infty$. Puisque W est finie, $\mathcal{Z}W$ l'est aussi, et donc $\mathcal{Z}W$ est continue par la proposition 2.3(c). D'où :

- ◇ pour chaque $n \geq 1$, $\mathcal{Z}W(F + \nabla\phi_n(x)) \leq \sup_{|\zeta| \leq C} \mathcal{Z}W(F + \zeta) < +\infty$ p.p. dans Y ;
- ◇ $\mathcal{Z}W(F + \nabla\phi_n(x)) \rightarrow \mathcal{Z}W(F + \nabla\phi(x))$ p.p. dans Y .

Il suit que

$$\lim_{n \rightarrow +\infty} \int_Y \mathcal{Z}W(F + \nabla\phi_n(x)) dx = \int_Y \mathcal{Z}W(F + \nabla\phi(x)) dx.$$

par le théorème de convergence dominée de Lebesgue. Étant donné $\varepsilon > 0$, considérons $n \geq 1$ tel que

$$(2.9) \quad \int_Y \mathcal{Z}W(F + \nabla\phi(x)) dx + \varepsilon \geq \int_Y \mathcal{Z}W(F + \nabla\phi_n(x)) dx = \sum_{i \in I} |V_i| \mathcal{Z}W(F + F_i),$$

où $\{V_i\}_{i \in I}$ est une famille finie de sous-ensembles ouverts et disjoints de Y telle que $|Y \setminus \cup_{i \in I} V_i| = 0$ et pour chaque $i \in I$, $|\partial V_i| = 0$ et $\nabla \phi_n(x) = F_i$ dans V_i avec $F_i \in \mathbb{M}^{m \times N}$. Par la proposition 2.3(a), pour chaque $i \in I$, il existe $\varphi_i \in \text{Aff}_0(V_i; \mathbb{R}^m)$ tel que

$$(2.10) \quad \mathcal{Z}W(F + F_i) \geq \frac{1}{|V_i|} \int_{V_i} W(F + \nabla \phi_n(x) + \nabla \varphi_i(x)) dx - \varepsilon.$$

Définissons $\varphi_n \in \text{Aff}_0(Y; \mathbb{R}^m)$ par $\varphi_n(x) = \phi_n(x) + \varphi_i(x)$ si $x \in V_i$. Utilisant (2.9) et (2.10) on déduit que

$$\int_Y \mathcal{Z}W(F + \nabla \phi(x)) dx + 2\varepsilon \geq \int_Y W(F + \nabla \varphi_n(x)) dx \geq \mathcal{Z}W(F),$$

et le résultat suit en faisant $\varepsilon \rightarrow 0$. \square

2.1.4. *Démonstration du théorème 1.8-bis.* On a toujours $\mathcal{Z}W \geq \mathcal{Q}W$. D'autre part, puisque $\mathcal{Z}W$ est finie, $\mathcal{Z}W$ est continue par la proposition 2.3(c). Utilisant le théorème 1.8 on déduit que $\mathcal{Q}\mathcal{Z}W = \mathcal{Z}\mathcal{Z}W$. Or $\mathcal{Z}\mathcal{Z}W = \mathcal{Z}W$ par la proposition 2.3(d), donc $\mathcal{Q}\mathcal{Z}W = \mathcal{Z}W$, i.e., $\mathcal{Z}W$ est quasiconvexe, d'où $\mathcal{Z}W \leq \mathcal{Q}W$. \square

Remarque 2.16. Définissons $\hat{\mathcal{Z}}W : \mathbb{M}^{m \times N} \rightarrow [0, +\infty]$ par

$$\hat{\mathcal{Z}}W(F) := \inf \left\{ \int_Y W(F + \nabla \varphi(x)) : \varphi \in W_0^{1, \infty}(Y; \mathbb{R}^m) \right\}$$

(on a toujours $W \geq \mathcal{Z}W \geq \hat{\mathcal{Z}}W \geq \mathcal{Q}W$). Le résultat suivant est une conséquence immédiate du théorème 1.8-bis.

Corollaire 2.17. *Si $\mathcal{Z}W$ est finie alors $\mathcal{Q}W = \mathcal{Z}W = \hat{\mathcal{Z}}W$.*

Voici deux exemples qui montrent que le théorème 2.1 peut être appliqué à des W qui ne satisfont pas (1.6) (voir §2.2 et §2.3).

2.2. **Contrainte produit vectoriel non nul.** On suppose que $W : \mathbb{M}^{3 \times 2} \rightarrow [0, +\infty]$ satisfait la condition suivante

$$(2.11) \quad \begin{aligned} &\text{il existe } \alpha, \beta > 0 \text{ tels que pour tout } F = (F_1 \mid F_2) \in \mathbb{M}^{3 \times 2}, \\ &\text{si } |F_1 \wedge F_2| \geq \alpha \text{ alors } W(F) \leq \beta(1 + |F|^p), \end{aligned}$$

avec $F_1 \wedge F_2$ désigne le produit vectoriel de F_1 par F_2 . (Par exemple, on peut prendre W donnée par $W(F) := |F|^p + h(|F_1 \wedge F_2|)$ avec $h : [0, +\infty[\rightarrow [0, +\infty]$ une fonction Borel mesurable satisfaisant la propriété suivante

$$(2.12) \quad \text{pour tout } \delta > 0 \text{ il existe } r_\delta > 0 \text{ tel que } h(t) \leq r_\delta \text{ pour tout } t \geq \delta$$

(par exemple, $h(0) = +\infty$ et $h(t) = \frac{1}{t^\alpha}$ si $t > 0$ avec $\alpha > 0$). Il est clair que W ainsi définie ne satisfait pas (1.6). Le résultat suivant a été démontré dans [6] (voir aussi [8]).

Théorème 2.18. *Si W vérifie (2.11) alors $\mathcal{Z}W$ satisfait (2.1).*

Schéma de démonstration. Utilisant la proposition 2.3(a) avec $D \subset \mathbb{R}^2$ et $\varphi \in \text{Aff}_0(D; \mathbb{R}^3)$ bien choisis, on montre d'abord que si W vérifie (2.11) alors $\mathcal{Z}W$ satisfait la condition suivante

$$(2.13) \quad \begin{aligned} &\text{il existe } \gamma > 0 \text{ tel que pour tout } F = (F_1 \mid F_2) \in \mathbb{M}^{3 \times 2}, \\ &\text{si } \min\{|F_1 + F_2|, |F_1 - F_2|\} \geq \alpha \text{ alors } \mathcal{Z}W(F) \leq \gamma(1 + |F|^p) \end{aligned}$$

avec $\alpha > 0$ donné par (2.11). On prouve ensuite, en utilisant la proposition 2.3(d) avec $D \subset \mathbb{R}^2$ et $\varphi \in \text{Aff}_0(D; \mathbb{R}^3)$ bien choisis, que si $\mathcal{Z}W$ vérifie (2.13) alors $\mathcal{Z}W$ satisfait (2.1). \square

Le corollaire suivant est une conséquence immédiate des théorèmes 2.18 et 2.1.

Corollaire 2.19. *Si W satisfait (2.11) alors (1.11) a lieu avec $\overline{W} = \mathcal{Q}W = \mathcal{Z}W$.*

Démonstration du théorème 2.18. On procède en deux étapes.

Étape 1. Montrons que $\mathcal{Z}W$ satisfait (2.13). Soit $F = (F_1 \mid F_2) \in \mathbb{M}^{3 \times 2}$ tel que $\min\{|F_1 + F_2|, |F_1 - F_2|\} \geq \alpha$. Alors, l'une des trois possibilités suivantes a lieu :

$$(2.14) \quad |F_1 \wedge F_2| \neq 0 ;$$

$$(2.15) \quad |F_1 \wedge F_2| = 0 \text{ avec } F_1 \neq 0 ;$$

$$(2.16) \quad |F_1 \wedge F_2| = 0 \text{ avec } F_2 \neq 0.$$

Posons $D := \{(x_1, x_2) \in \mathbb{R}^2 : x_1 - 1 < x_2 < x_1 + 1 \text{ et } -x_1 - 1 < x_2 < 1 - x_1\}$ et définissons $\psi \in \text{Aff}_0(D; \mathbb{R})$ par

$$\psi(x_1, x_2) := \begin{cases} -x_1 + (x_2 + 1) & \text{si } (x_1, x_2) \in \Delta_1 \\ (1 - x_1) - x_2 & \text{si } (x_1, x_2) \in \Delta_2 \\ x_1 + (1 - x_2) & \text{si } (x_1, x_2) \in \Delta_3 \\ (x_1 + 1) + x_2 & \text{si } (x_1, x_2) \in \Delta_4 \end{cases}$$

avec :

$$\begin{aligned} \Delta_1 &:= \{(x_1, x_2) \in D : x_1 \geq 0 \text{ et } x_2 \leq 0\} ; \\ \Delta_2 &:= \{(x_1, x_2) \in D : x_1 \geq 0 \text{ et } x_2 \geq 0\} ; \\ \Delta_3 &:= \{(x_1, x_2) \in D : x_1 \leq 0 \text{ et } x_2 \geq 0\} ; \\ \Delta_4 &:= \{(x_1, x_2) \in D : x_1 \leq 0 \text{ et } x_2 \leq 0\}. \end{aligned}$$

Considérons $\varphi \in \text{Aff}_0(D; \mathbb{R}^3)$ donnée par

$$\varphi(x) := \psi(x)\nu \text{ avec } \begin{cases} \nu = \frac{F_1 \wedge F_2}{|F_1 \wedge F_2|} & \text{si on a (2.14)} \\ |\nu| = 1 \text{ et } \langle F_1, \nu \rangle = 0 & \text{si on a (2.15)} \\ |\nu| = 1 \text{ et } \langle F_2, \nu \rangle = 0 & \text{si on a (2.16)}. \end{cases}$$

Alors

$$F + \nabla\varphi(x) = \begin{cases} (F_1 - \nu \mid F_2 + \nu) & \text{si } x \in \text{int}(\Delta_1) \\ (F_1 - \nu \mid F_2 - \nu) & \text{si } x \in \text{int}(\Delta_2) \\ (F_1 + \nu \mid F_2 - \nu) & \text{si } x \in \text{int}(\Delta_3) \\ (F_1 + \nu \mid F_2 + \nu) & \text{si } x \in \text{int}(\Delta_4) \end{cases}$$

(où $\text{int}(E)$ désigne l'intérieur de l'ensemble E). Utilisant la proposition 2.3(a) on déduit que

$$(2.17) \quad \mathcal{Z}W(F) \leq \frac{1}{4} (W(F_1 - \nu \mid F_2 + \nu) + W(F_1 - \nu \mid F_2 - \nu) \\ + W(F_1 + \nu \mid F_2 - \nu) + W(F_1 + \nu \mid F_2 + \nu)).$$

Or $|(F_1 - \nu) \wedge (F_2 + \nu)|^2 = |F_1 \wedge F_2 + (F_1 + F_2) \wedge \nu|^2 = |F_1 \wedge F_2|^2 + |(F_1 + F_2) \wedge \nu|^2 \geq |(F_1 + F_2) \wedge \nu|^2$, donc

$$|(F_1 + \nu) \wedge (F_2 - \nu)| \geq |(F_1 + F_2) \wedge \nu| = |F_1 + F_2|.$$

De la même façon, on obtient :

$$\begin{aligned} |(F_1 - \nu) \wedge (F_2 - \nu)| &\geq |F_1 - F_2| ; \\ |(F_1 + \nu) \wedge (F_2 - \nu)| &\geq |F_1 + F_2| ; \end{aligned}$$

$$|(F_1 + \nu) \wedge (F_2 + \nu)| \geq |F_1 - F_2|.$$

Ainsi $|(F_1 - \nu) \wedge (F_2 + \nu)| \geq \alpha$, $|(F_1 - \nu) \wedge (F_2 - \nu)| \geq \alpha$, $|(F_1 + \nu) \wedge (F_2 - \nu)| \geq \alpha$ et $|(F_1 + \nu) \wedge (F_2 + \nu)| \geq \alpha$ car $\min\{|F_1 + F_2|, |F_1 - F_2|\} \geq \alpha$. Utilisant (2.11) il suit que

$$\begin{aligned} W(F_1 - \nu \mid F_2 + \nu) &\leq \beta(1 + |(F_1 - \nu \mid F_2 + \nu)|^p) \\ &\leq \beta 2^p(1 + |(F_1 \mid F_2)|^p + |(-\nu \mid \nu)|^p) \\ &\leq \beta 2^{2p+1}(1 + |F|^p). \end{aligned}$$

De la même manière, on a :

$$\begin{aligned} W(F_1 - \nu \mid F_2 - \nu) &\leq \beta 2^{2p+1}(1 + |F|^p); \\ W(F_1 + \nu \mid F_2 - \nu) &\leq \beta 2^{2p+1}(1 + |F|^p); \\ W(F_1 + \nu \mid F_2 + \nu) &\leq \beta 2^{2p+1}(1 + |F|^p), \end{aligned}$$

et utilisant (2.17) on conclut que $\mathcal{Z}W(F) \leq \beta 2^{2p+1}(1 + |F|^p)$.

Étape 2. Montrons que $\mathcal{Z}W$ vérifie (2.1). Soit $F = (F_1 \mid F_2) \in \mathbb{M}^{3 \times 2}$. Alors, l'une des quatre possibilités suivantes a lieu :

$$(2.18) \quad |F_1 \wedge F_2| \neq 0;$$

$$(2.19) \quad |F_1 \wedge F_2| = 0 \text{ avec } F_1 = F_2 = 0;$$

$$(2.20) \quad |F_1 \wedge F_2| = 0 \text{ avec } F_1 \neq 0;$$

$$(2.21) \quad |F_1 \wedge F_2| = 0 \text{ avec } F_2 \neq 0.$$

Définissons $\psi \in \text{Aff}_0(Y; \mathbb{R})$ par

$$\psi(x_1, x_2) := \begin{cases} x_2 & \text{si } (x_1, x_2) \in \Delta_1 \\ (1 - x_1) & \text{si } (x_1, x_2) \in \Delta_2 \\ (1 - x_2) & \text{si } (x_1, x_2) \in \Delta_3 \\ x_1 & \text{si } (x_1, x_2) \in \Delta_4 \end{cases}$$

avec :

$$\Delta_1 := \{(x_1, x_2) \in Y : x_2 \leq x_1 \leq -x_2 + 1\};$$

$$\Delta_2 := \{(x_1, x_2) \in Y : -x_1 + 1 \leq x_2 \leq x_1\};$$

$$\Delta_3 := \{(x_1, x_2) \in Y : -x_2 + 1 \leq x_1 \leq x_2\};$$

$$\Delta_4 := \{(x_1, x_2) \in Y : x_1 \leq x_2 \leq -x_1 + 1\}.$$

Considérons $\varphi \in \text{Aff}_0(Y; \mathbb{R}^3)$ donnée par

$$\varphi(x) := \psi(x)\nu \text{ avec } \begin{cases} \nu = \frac{\alpha(F_1 \wedge F_2)}{|F_1 \wedge F_2|} & \text{si on a (2.18)} \\ |\nu| = \alpha & \text{si on a (2.19)} \\ |\nu| = \alpha \text{ et } \langle F_1, \nu \rangle = 0 & \text{si on a (2.20)} \\ |\nu| = \alpha \text{ et } \langle F_2, \nu \rangle = 0 & \text{si on a (2.21)}. \end{cases}$$

Alors

$$F + \nabla \varphi(x) = \begin{cases} (F_1 \mid F_2 + \nu) & \text{si } x \in \text{int}(\Delta_1) \\ (F_1 - \nu \mid F_2) & \text{si } x \in \text{int}(\Delta_2) \\ (F_1 \mid F_2 - \nu) & \text{si } x \in \text{int}(\Delta_3) \\ (F_1 + \nu \mid F_2) & \text{si } x \in \text{int}(\Delta_4). \end{cases}$$

Utilisant la proposition 2.3(d) on déduit que

$$(2.22) \quad \begin{aligned} \mathcal{Z}W(F) &\leq \frac{1}{4}(\mathcal{Z}W(F_1 \mid F_2 + \nu) + \mathcal{Z}W(F_1 - \nu \mid F_2) \\ &\quad + \mathcal{Z}W(F_1 \mid F_2 - \nu) + \mathcal{Z}W(F_1 + \nu \mid F_2)). \end{aligned}$$

Or $|F_1 + (F_2 + \nu)|^2 = |(F_1 + F_2) + \nu|^2 = |F_1 + F_2|^2 + |\nu|^2 = |F_1 + F_2|^2 + \alpha^2 \geq \alpha^2$,
d'où $|F_1 + (F_2 + \nu)| \geq \alpha$. De la même façon, on obtient $|F_1 - (F_2 + \nu)| \geq \alpha$, donc :

$$\min\{|F_1 + (F_2 + \nu)|, |F_1 - (F_2 + \nu)|\} \geq \alpha.$$

De la même manière, on a :

$$\begin{aligned} \min\{|(F_1 - \nu) + F_2|, |(F_1 - \nu) - F_2|\} &\geq \alpha ; \\ \min\{|F_1 + (F_2 - \nu)|, |F_1 - (F_2 - \nu)|\} &\geq \alpha ; \\ \min\{|(F_1 + \nu) + F_2|, |(F_1 + \nu) - F_2|\} &\geq \alpha. \end{aligned}$$

Comme $\mathcal{Z}W$ satisfait (2.13) il suit que

$$\begin{aligned} \mathcal{Z}W(F_1 | F_2 + \nu) &\leq \gamma(1 + |(F_1 | F_2 + \nu)|^p) \\ &\leq \gamma 2^p(1 + |(F_1 | F_2)|^p + |(0 | \nu)|^p) \\ &\leq \max\{1, \alpha^p\} \gamma 2^{p+1}(1 + |F|^p). \end{aligned}$$

De la même façon, on obtient :

$$\begin{aligned} \mathcal{Z}W(F_1 - \nu | F_2) &\leq \max\{1, \alpha^p\} \gamma 2^{p+1}(1 + |F|^p) ; \\ \mathcal{Z}W(F_1 | F_2 - \nu) &\leq \max\{1, \alpha^p\} \gamma 2^{p+1}(1 + |F|^p) ; \\ \mathcal{Z}W(F_1 + \nu | F_2) &\leq \max\{1, \alpha^p\} \gamma 2^{p+1}(1 + |F|^p), \end{aligned}$$

et utilisant (2.22) on conclut que $\mathcal{Z}W(F) \leq \max\{1, \alpha^p\} \gamma 2^{p+1}(1 + |F|^p)$. \square

2.3. Contrainte déterminant non nul. On suppose que $W : \mathbb{M}^{3 \times 3} \rightarrow [0, +\infty]$ satisfait les deux conditions suivantes :

$$(2.23) \quad \text{pour tout } \delta > 0 \text{ il existe } c_\delta > 0 \text{ tel que pour tout } F \in \mathbb{M}^{3 \times 3}, \\ \text{si } |\det F| \geq \delta \text{ alors } W(F) \leq c_\delta(1 + |F|^p) ;$$

$$(2.24) \quad W(PFQ) = W(F) \text{ pour tout } F \in \mathbb{M}^{3 \times 3} \text{ et tout } P, Q \in \mathbb{SO}(3)$$

avec $\mathbb{SO}(3) := \{Q \in \mathbb{M}^{3 \times 3} : Q^T Q = Q Q^T = I_3 \text{ et } \det Q = 1\}$, où I_3 désigne la matrice identité de $\mathbb{M}^{3 \times 3}$ et Q^T est la matrice transposée de Q . (Par exemple, on peut prendre W donnée par $W(F) := |F|^p + h(|\det F|)$ avec $h : [0, +\infty[\rightarrow [0, +\infty]$ vérifiant (2.12). Noter que W ainsi définie ne satisfait pas (1.6) et est compatible avec (1.4) et (1.2).) Le résultat suivant a été démontré dans [8].

Théorème 2.20. *Si W vérifie (2.23) et (2.24) alors $\mathcal{Z}W$ satisfait (2.1).*

Schéma de démonstration. Utilisant successivement la proposition 2.3(a) et la proposition 2.3(d) avec $D \subset \mathbb{R}^3$ et $\varphi \in \text{Aff}_0(D; \mathbb{R}^3)$ bien choisis, on montre que si W vérifie (2.23) alors $\mathcal{Z}W$ est finie. De la proposition 2.3(c) on déduit que $\mathcal{Z}W$ est continue. Il suit que

$$(2.25) \quad \mathcal{Z}W(F) \leq c' \text{ pour tout } F \in \mathbb{M}^{3 \times 3} \text{ tel que } |F|^2 \leq 3 \text{ avec } c' > 0.$$

De plus (par (2.23) avec $\delta = 1$) il est clair que

$$(2.26) \quad \mathcal{Z}W(F) \leq c_1(1 + |F|^p) \text{ pour tout } F \in \mathbb{M}^{3 \times 3} \text{ tel que } |\det F| \geq 1 \\ \text{avec } c_1 > 0.$$

Utilisant à nouveau la proposition 2.3(a) (avec $D \subset \mathbb{R}^3$ et $\varphi \in \text{Aff}_0(D; \mathbb{R}^3)$ bien choisis) et la rang-1 convexité de $\mathcal{Z}W$ ($\mathcal{Z}W$ est rang-1 convexe par la proposition 2.3(b) puisque $\mathcal{Z}W$ est finie), on prouve que sous (2.23) on a

$$(2.27) \quad \mathcal{Z}W(F) \leq c''(1 + |F|^p) \text{ pour tout } F \in \mathbb{M}^{3 \times 3} \text{ tel que } F \text{ est diagonale,} \\ |\det F| \leq 1 \text{ et } |F|^2 \geq 3 \text{ avec } c'' > 0.$$

Combinant (2.25), (2.26) et (2.27), on voit que l'on a démontré que si W vérifie (2.23) alors $\mathcal{Z}W$ satisfait la condition suivante

$$(2.28) \quad \begin{aligned} & \text{il existe } c > 0 \text{ tel que pour tout } F \in \mathbb{M}^{3 \times 3}, \\ & \text{si } F \text{ est diagonale alors } \mathcal{Z}W(F) \leq c(1 + |F|^p). \end{aligned}$$

D'autre part, $\mathcal{Z}W(PFQ) = \mathcal{Z}W(F)$ pour tout $F \in \mathbb{M}^{3 \times 3}$ et tous $P, Q \in \mathbb{SO}(3)$ puisque W vérifie (2.24) et, lorsque F est inversible, $F = PQ^T \hat{F} Q$ avec $P, Q \in \mathbb{SO}(3)$ et \hat{F} diagonale, donc pour toute matrice inversible F il existe une matrice diagonale \hat{F} telle que $\mathcal{Z}W(F) = \mathcal{Z}W(\hat{F})$. Notant que $|F| = |\hat{F}|$ et utilisant (2.28) on déduit que pour toute matrice inversible F , $\mathcal{Z}W(F) \leq c(1 + |F|^p)$. Comme $\mathcal{Z}W$ est continue et l'ensemble des matrices inversibles est dense dans $\mathbb{M}^{3 \times 3}$, il suit que $\mathcal{Z}W$ satisfait (2.1). \square

Le corollaire suivant est une conséquence immédiate des théorèmes 2.20 et 2.1.

Corollaire 2.21. *Si W satisfait (2.23) et (2.24) alors (1.11) a lieu avec $\overline{W} = \mathcal{Q}W = \mathcal{Z}W$.*

Démonstration du théorème 2.20. On procède en quatre étapes.

Étape 1. Montrons que $\mathcal{Z}W$ est finie. Il est clair que $\mathcal{Z}W(F) < +\infty$ pour tout $F \in \mathbb{M}_*^{3 \times 3}$ avec $\mathbb{M}_*^{3 \times 3} := \{F \in \mathbb{M}^{3 \times 3} : \det F \neq 0\}$. Donc, tout revient à prouver que $\mathcal{Z}W(F) < +\infty$ pour tout $F \in \mathbb{M}^{3 \times 3} \setminus \mathbb{M}_*^{3 \times 3}$. Fixons $F = (F_1 \mid F_2 \mid F_3) \in \mathbb{M}^{3 \times 3} \setminus \mathbb{M}_*^{3 \times 3}$ où $F_1, F_2, F_3 \in \mathbb{R}^3$ sont les colonnes de la matrice F . Alors, $\text{rang}(F) \in \{0, 1, 2\}$ (où $\text{rang}(F)$ désigne le rang de la matrice F).

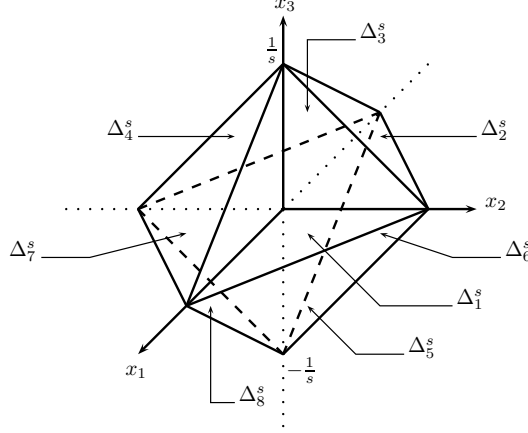
Étape 1.1. Montrons que si $\text{rang}(F) = 2$ alors $\mathcal{Z}W(F) < +\infty$. Sans perdre de généralité on peut supposer qu'il existe $\lambda, \mu \in \mathbb{R}$ tels que $F_3 = \lambda F_1 + \mu F_2$. Étant donné $s \in \mathbb{R}^*$, considérons $D \subset \mathbb{R}^3$ (voir la figure 2) donné par

$$(2.29) \quad D := \text{int}(\cup_{i=1}^8 \Delta_i^s)$$

(où $\text{int}(E)$ désigne l'intérieur de l'ensemble E) avec :

$$\begin{aligned} \Delta_1^s &:= \{(x_1, x_2, x_3) \in \mathbb{R}^3 : x_1 \geq 0, x_2 \geq 0, x_3 \geq 0 \text{ et } x_1 + x_2 + sx_3 \leq 1\}; \\ \Delta_2^s &:= \{(x_1, x_2, x_3) \in \mathbb{R}^3 : x_1 \leq 0, x_2 \geq 0, x_3 \geq 0 \text{ et } -x_1 + x_2 + sx_3 \leq 1\}; \\ \Delta_3^s &:= \{(x_1, x_2, x_3) \in \mathbb{R}^3 : x_1 \leq 0, x_2 \leq 0, x_3 \geq 0 \text{ et } -x_1 - x_2 + sx_3 \leq 1\}; \\ \Delta_4^s &:= \{(x_1, x_2, x_3) \in \mathbb{R}^3 : x_1 \geq 0, x_2 \leq 0, x_3 \geq 0 \text{ et } x_1 - x_2 + sx_3 \leq 1\}; \\ \Delta_5^s &:= \{(x_1, x_2, x_3) \in \mathbb{R}^3 : x_1 \geq 0, x_2 \geq 0, x_3 \leq 0 \text{ et } x_1 + x_2 - sx_3 \leq 1\}; \\ \Delta_6^s &:= \{(x_1, x_2, x_3) \in \mathbb{R}^3 : x_1 \leq 0, x_2 \geq 0, x_3 \leq 0 \text{ et } -x_1 + x_2 - sx_3 \leq 1\}; \\ \Delta_7^s &:= \{(x_1, x_2, x_3) \in \mathbb{R}^3 : x_1 \leq 0, x_2 \leq 0, x_3 \leq 0 \text{ et } -x_1 - x_2 - sx_3 \leq 1\}; \\ \Delta_8^s &:= \{(x_1, x_2, x_3) \in \mathbb{R}^3 : x_1 \geq 0, x_2 \leq 0, x_3 \leq 0 \text{ et } x_1 - x_2 - sx_3 \leq 1\}. \end{aligned}$$

(Il est clair que D est ouvert, borné et $|\partial D| = 0$.)

FIGURE 2. Les ensembles $\Delta_1^s, \Delta_2^s, \Delta_3^s, \Delta_4^s, \Delta_5^s, \Delta_6^s, \Delta_7^s, \Delta_8^s$.

Définissons $\psi_s \in \text{Aff}_0(D; \mathbb{R})$ par

$$(2.30) \quad \psi_s(x_1, x_2, x_3) := \begin{cases} -(x_1 - 1) - x_2 - sx_3 & \text{si } (x_1, x_2, x_3) \in \Delta_1^s \\ x_1 - (x_2 - 1) - sx_3 & \text{si } (x_1, x_2, x_3) \in \Delta_2^s \\ (x_1 + 1) + x_2 - sx_3 & \text{si } (x_1, x_2, x_3) \in \Delta_3^s \\ -x_1 + (x_2 + 1) - sx_3 & \text{si } (x_1, x_2, x_3) \in \Delta_4^s \\ -(x_1 - 1) - x_2 + sx_3 & \text{si } (x_1, x_2, x_3) \in \Delta_5^s \\ x_1 - (x_2 - 1) + sx_3 & \text{si } (x_1, x_2, x_3) \in \Delta_6^s \\ (x_1 + 1) + x_2 + sx_3 & \text{si } (x_1, x_2, x_3) \in \Delta_7^s \\ -x_1 + (x_2 + 1) + sx_3 & \text{si } (x_1, x_2, x_3) \in \Delta_8^s. \end{cases}$$

(Noter que ψ_s est l'unique fonction continue, affine sur chaque Δ_i^s et nulle sur ∂D telle que $\psi_s(0) = 1$.) Fixons $s \in \mathbb{R}^* \setminus \{\lambda - \mu, -(\lambda - \mu), \lambda + \mu, -(\lambda + \mu)\}$ et considérons $\varphi \in \text{Aff}_0(D; \mathbb{R}^3)$ donnée par

$$\varphi(x) := \psi_s(x)\nu \text{ avec } \nu := \frac{F_1 \wedge F_2}{|F_1 \wedge F_2|^2}.$$

Alors

$$F + \nabla\varphi(x) = \begin{cases} (F_1 - \nu \mid F_2 - \nu \mid F_3 - s\nu) & \text{si } x \in \text{int}(\Delta_1^s) \\ (F_1 + \nu \mid F_2 - \nu \mid F_3 - s\nu) & \text{si } x \in \text{int}(\Delta_2^s) \\ (F_1 + \nu \mid F_2 + \nu \mid F_3 - s\nu) & \text{si } x \in \text{int}(\Delta_3^s) \\ (F_1 - \nu \mid F_2 + \nu \mid F_3 - s\nu) & \text{si } x \in \text{int}(\Delta_4^s) \\ (F_1 - \nu \mid F_2 - \nu \mid F_3 + s\nu) & \text{si } x \in \text{int}(\Delta_5^s) \\ (F_1 + \nu \mid F_2 - \nu \mid F_3 + s\nu) & \text{si } x \in \text{int}(\Delta_6^s) \\ (F_1 + \nu \mid F_2 + \nu \mid F_3 + s\nu) & \text{si } x \in \text{int}(\Delta_7^s) \\ (F_1 - \nu \mid F_2 + \nu \mid F_3 + s\nu) & \text{si } x \in \text{int}(\Delta_8^s). \end{cases}$$

Comme $\det F = 0$, $F_1 \wedge F_3 = \mu(F_1 \wedge F_2)$ et $F_2 \wedge F_3 = \lambda(F_2 \wedge F_1)$ on a

$$|\det(F + \nabla\varphi(x))| = \begin{cases} |s - (\lambda + \mu)| & \text{si } x \in \text{int}(\Delta_1^s) \cup \text{int}(\Delta_7^s) \\ |s + (\lambda - \mu)| & \text{si } x \in \text{int}(\Delta_2^s) \cup \text{int}(\Delta_8^s) \\ |s + (\lambda + \mu)| & \text{si } x \in \text{int}(\Delta_3^s) \cup \text{int}(\Delta_5^s) \\ |s - (\lambda - \mu)| & \text{si } x \in \text{int}(\Delta_4^s) \cup \text{int}(\Delta_6^s). \end{cases}$$

(Pour les calculs noter que $\det(F_1 + \alpha\nu \mid F_2 + \beta\nu \mid F_3 + \gamma\nu) = \gamma - \alpha\lambda - \beta\mu$ avec $\alpha \in \{-1, 1\}$, $\beta \in \{-1, 1\}$ et $\gamma \in \{-s, s\}$.) Il suit que pour presque tout $x \in D$, $|\det(F + \nabla\varphi(x))| \geq \min\{|s - (\lambda + \mu)|, |s + (\lambda - \mu)|, |s + (\lambda + \mu)|, |s - (\lambda - \mu)|\} =: \delta$ ($\delta > 0$). Utilisant la proposition 2.3(a) et (2.23) on déduit qu'il existe $c_\delta > 0$ tel que

$$\mathcal{Z}W(F) \leq \frac{1}{|D|} \int_D W(F + \nabla\varphi(x)) \leq c_\delta + \frac{c_\delta}{|D|} \|F + \nabla\varphi\|_{L^p(D; \mathbb{R}^3)}^p,$$

d'où $\mathcal{Z}W(F) < +\infty$.

Étape 1.2. Montrons que si $\text{rang}(F) = 1$ alors $\mathcal{Z}W(F) < +\infty$. Sans perdre de généralité on peut supposer qu'il existe $\lambda, \mu \in \mathbb{R}$ tels que $F_2 = \lambda F_1$ and $F_3 = \mu F_1$. Considérons $D \subset \mathbb{R}^3$ donné par (2.29) avec $s \in \mathbb{R}^* \setminus \{-\mu, \mu\}$ et définissons $\varphi \in \text{Aff}_0(D; \mathbb{R}^3)$ par $\varphi(x) := \psi_s(x)\nu$ avec $\nu \in \mathbb{R}^3 \setminus \{0\}$ tel que $\langle \nu, F_1 \rangle = 0$, où ψ_s est définie par (2.30). Utilisant la proposition 2.3(d) on a

$$\begin{aligned} \mathcal{Z}W(F) &\leq \frac{1}{8} (\mathcal{Z}W(F_1 - \nu \mid F_2 - \nu \mid F_3 - s\nu) + \mathcal{Z}W(F_1 + \nu \mid F_2 - \nu \mid F_3 - s\nu) \\ &\quad + \mathcal{Z}W(F_1 + \nu \mid F_2 + \nu \mid F_3 - s\nu) + \mathcal{Z}W(F_1 - \nu \mid F_2 + \nu \mid F_3 - s\nu) \\ &\quad + \mathcal{Z}W(F_1 - \nu \mid F_2 - \nu \mid F_3 + s\nu) + \mathcal{Z}W(F_1 + \nu \mid F_2 - \nu \mid F_3 + s\nu) \\ &\quad + \mathcal{Z}W(F_1 + \nu \mid F_2 + \nu \mid F_3 + s\nu) + \mathcal{Z}W(F_1 - \nu \mid F_2 + \nu \mid F_3 + s\nu)). \end{aligned}$$

Notant que $s \in \mathbb{R}^* \setminus \{-\mu, \mu\}$ il est facile de voir que :

$$\begin{aligned} \text{rang}(F_1 - \nu \mid F_2 - \nu \mid F_3 - s\nu) &= 2 ; \\ \text{rang}(F_1 + \nu \mid F_2 - \nu \mid F_3 - s\nu) &= 2 ; \\ \text{rang}(F_1 + \nu \mid F_2 + \nu \mid F_3 - s\nu) &= 2 ; \\ \text{rang}(F_1 - \nu \mid F_2 + \nu \mid F_3 - s\nu) &= 2 ; \\ \text{rang}(F_1 - \nu \mid F_2 - \nu \mid F_3 + s\nu) &= 2 ; \\ \text{rang}(F_1 + \nu \mid F_2 - \nu \mid F_3 + s\nu) &= 2 ; \\ \text{rang}(F_1 + \nu \mid F_2 + \nu \mid F_3 + s\nu) &= 2 ; \\ \text{rang}(F_1 - \nu \mid F_2 + \nu \mid F_3 + s\nu) &= 2, \end{aligned}$$

et utilisant l'étape 1.1 on déduit que $\mathcal{Z}W(F) < +\infty$.

Étape 1.3. Montrons que $\mathcal{Z}W(0) < +\infty$. Utilisant la proposition 2.3(d) avec $D \subset \mathbb{R}^3$ donné par (2.29) avec $s \in \mathbb{R}^*$ et $\varphi \in \text{Aff}_0(D; \mathbb{R}^3)$ définie par $\varphi(x) := \psi_s(x)\nu$ avec $\nu \in \mathbb{R}^3 \setminus \{0\}$, où ψ_s est définie par (2.30), on a

$$\begin{aligned} \mathcal{Z}W(0) &\leq \frac{1}{8} (\mathcal{Z}W(-\nu \mid -\nu \mid -s\nu) + \mathcal{Z}W(\nu \mid -\nu \mid -s\nu) + \mathcal{Z}W(\nu \mid \nu \mid -s\nu) \\ &\quad + \mathcal{Z}W(-\nu \mid \nu \mid -s\nu) + \mathcal{Z}W(-\nu \mid -\nu \mid s\nu) + \mathcal{Z}W(\nu \mid -\nu \mid s\nu) \\ &\quad + \mathcal{Z}W(\nu \mid \nu \mid s\nu) + \mathcal{Z}W(-\nu \mid \nu \mid s\nu)). \end{aligned}$$

De plus, $\text{rang}(-\nu \mid -\nu \mid -s\nu) = \text{rang}(\nu \mid -\nu \mid -s\nu) = \text{rang}(\nu \mid \nu \mid -s\nu) = \text{rang}(-\nu \mid \nu \mid -s\nu) = \text{rang}(-\nu \mid -\nu \mid s\nu) = \text{rang}(\nu \mid -\nu \mid s\nu) = \text{rang}(\nu \mid \nu \mid s\nu) = \text{rang}(-\nu \mid \nu \mid s\nu) = 1$, d'où $\mathcal{Z}W(0) < +\infty$ par l'étape 1.2.

Étape 2. Montrons que $\mathcal{Z}W$ satisfait (2.28). Par l'étape 1 et la proposition 2.3(b) on déduit que $\mathcal{Z}W$ est continue, donc $\mathcal{Z}W$ satisfait (2.25). De plus, il est clair que $\mathcal{Z}W$ vérifie (2.26). Considérons donc $F \in \mathbb{M}^{3 \times 3}$ tel que F est diagonale,

$|\det F| \leq 1$ et $|F|^2 \geq 3$, i.e., $F = (F_{ij})$ avec $F_{ij} = 0$ si $i \neq j$, $|F_{11}F_{22}F_{33}| \leq 1$ et $|F_{11}|^2 + |F_{22}|^2 + |F_{33}|^2 \geq 3$. Alors, l'une des six possibilités suivantes a lieu :

$$(2.31) \quad |F_{11}| \leq 1, |F_{22}| \geq 1 \text{ et } |F_{33}| \geq 1 ;$$

$$(2.32) \quad |F_{22}| \leq 1, |F_{33}| \geq 1 \text{ et } |F_{11}| \geq 1 ;$$

$$(2.33) \quad |F_{33}| \leq 1, |F_{11}| \geq 1 \text{ et } |F_{22}| \geq 1 ;$$

$$(2.34) \quad |F_{11}| \geq 1, |F_{22}| \leq 1 \text{ et } |F_{33}| \leq 1 ;$$

$$(2.35) \quad |F_{22}| \geq 1, |F_{33}| \leq 1 \text{ et } |F_{11}| \leq 1 ;$$

$$(2.36) \quad |F_{33}| \geq 1, |F_{11}| \leq 1 \text{ et } |F_{22}| \leq 1.$$

Étape 2.1. Montrons qu'il existe $c_2 > 0$ tel que si F est diagonale avec $|\det F| \leq 1$ et satisfait (2.31), (2.32) ou (2.33) alors $\mathcal{Z}W(F) \leq c_2(1 + |F|^p)$. Soient $D \subset \mathbb{R}^3$ donné par (2.29) avec $s = 1$ et $\varphi \in \text{Aff}_0(D; \mathbb{R}^3)$ définie par $\varphi(x) := \psi_1(x)\nu$, où

$$\nu = \begin{cases} (2, 0, 0) & \text{si on a (2.31)} \\ (0, 2, 0) & \text{si on a (2.32)} \\ (0, 0, 2) & \text{si on a (2.33)} \end{cases}$$

et ψ_1 est définie par (2.30) avec $s = 1$. Il est facile de voir que pour presque tout $x \in D$,

$$|\det(F + \nabla\varphi(x))| \geq \begin{cases} |2|F_{22}||F_{33}| - |\det F| & \text{si on a (2.31)} \\ |2|F_{11}||F_{33}| - |\det F| & \text{si on a (2.32)} \\ |2|F_{11}||F_{22}| - |\det F| & \text{si on a (2.33)}, \end{cases}$$

donc $|\det(F + \nabla\varphi(x))| \geq 1$ p.p. dans D . Utilisant la proposition 2.3(a) et (2.23) et notant que $|\nabla\varphi(x)| = 2\sqrt{3}$ pour presque tout $x \in D$, on déduit que $\mathcal{Z}W(F) \leq c_2(1 + |F|^p)$ avec $c_2 := c_1 2^p(1 + (2\sqrt{3})^p)$.

Étape 2.2. Montrons qu'il existe $c_3 > 0$ tel que si F est diagonale et satisfait (2.34), (2.35) ou (2.36), alors $\mathcal{Z}W(F) \leq c_3(1 + |F|^p)$. Soit $G \in \mathbb{M}^{3 \times 3}$ la matrice diagonale donnée par :

$$G_{11} := \begin{cases} F_{22} + \text{sign}(F_{22}) & \text{si on a (2.34)} \\ 0 & \text{si on a (2.35) ou (2.36)} ; \end{cases}$$

$$G_{22} := \begin{cases} F_{33} + \text{sign}(F_{33}) & \text{si on a (2.35)} \\ 0 & \text{si on a (2.34) ou (2.36)} ; \end{cases}$$

$$G_{33} := \begin{cases} F_{11} + \text{sign}(F_{11}) & \text{si on a (2.36)} \\ 0 & \text{si on a (2.34) ou (2.35)}, \end{cases}$$

où $\text{sign}(r) = 1$ si $r \geq 0$ et $\text{sign}(r) = -1$ si $r < 0$. (Il est clair que $\text{rang}(G) = 1$.) Alors, $F^+ := F + G$ et $F^- := F - G$ sont des matrices diagonales telles que :

$$(2.37) \quad \begin{cases} |F_{11}^+| \geq 1, |F_{22}^+| \geq 1, |F_{33}^+| \leq 1 \\ |F_{11}^-| \geq 1, |F_{22}^-| \geq 1, |F_{33}^-| \leq 1 \end{cases} \quad \text{si on a (2.34)} ;$$

$$(2.38) \quad \begin{cases} |F_{11}^+| \leq 1, |F_{22}^+| \geq 1, |F_{33}^+| \geq 1 \\ |F_{11}^-| \leq 1, |F_{22}^-| \geq 1, |F_{33}^-| \geq 1 \end{cases} \quad \text{si on a (2.35)} ;$$

$$(2.39) \quad \begin{cases} |F_{11}^+| \geq 1, |F_{22}^+| \leq 1, |F_{33}^+| \geq 1 \\ |F_{11}^-| \geq 1, |F_{22}^-| \leq 1, |F_{33}^-| \geq 1 \end{cases} \quad \text{si on a (2.36)}.$$

Comme $\mathcal{Z}W$ est finie (voir l'étape 1), de la proposition 2.3(b) on déduit que $\mathcal{Z}W$ est rang-1 convexe, d'où

$$(2.40) \quad \mathcal{Z}W(F) \leq \frac{1}{2} (\mathcal{Z}W(F^+) + \mathcal{Z}W(F^-)).$$

Prenant en compte (2.37), (2.38) et (2.39) et utilisant l'étape 2.1 on voit que $\mathcal{Z}W(F^+) \leq c_2(1 + |F^+|^p)$ si $|\det F^+| \leq 1$ (resp. $\mathcal{Z}W(F^-) \leq c_2(1 + |F^-|^p)$ si $|\det F^-| \leq 1$). D'autre part, par (2.23) on a $\mathcal{Z}W(F^+) \leq c_1(1 + |F^+|^p)$ si $|\det F^+| \geq 1$ (resp. $\mathcal{Z}W(F^-) \leq c_1(1 + |F^-|^p)$ si $|\det F^-| \geq 1$). Notant que $|F^+|^p \leq 2^{2p}(1 + |F|^p)$ (resp. $|F^-|^p \leq 2^{2p}(1 + |F|^p)$) et utilisant (2.40) on déduit que $\mathcal{Z}W(F) \leq c_3(1 + |F|^p)$ avec $c_3 := 2^{2p} \max\{c_1, c_2\}$.

Étape 2.3. Des étapes 2.1 et 2.2, il suit que pour chaque $F \in \mathbb{M}^{3 \times 3}$, si F est diagonale avec $|F|^2 \geq 3$ et $|\det F| \leq 1$ alors $\mathcal{Z}W(F) \leq c_4(1 + |F|^p)$ avec $c_4 := \max\{c_2, c_3\}$. D'où (2.28) a lieu avec $c := \max\{c_0, c_4\}$.

Étape 3. Montrons que $\mathcal{Z}W(PFQ) = \mathcal{Z}W(F)$ pour tout $F \in \mathbb{M}^{3 \times 3}$ et tout $P, Q \in \mathbb{S}\mathbb{O}(3)$. Il suffit de prouver que

$$(2.41) \quad \mathcal{Z}W(PFQ) \leq \mathcal{Z}W(F) \text{ pour tout } F \in \mathbb{M}^{3 \times 3} \text{ et tout } P, Q \in \mathbb{S}\mathbb{O}(3).$$

En effet, étant donnés $F \in \mathbb{M}^{3 \times 3}$ et $P, Q \in \mathbb{S}\mathbb{O}(3)$, on a $F = P^T(PFQ)Q^T$ (avec M^T désignant la matrice transposée de M) et utilisant (2.41) on obtient $\mathcal{Z}W(F) \leq \mathcal{Z}W(PFQ)$. De plus, (2.41) est équivalent aux deux assertions suivantes :

$$(2.42) \quad \mathcal{Z}W(PF) \leq \mathcal{Z}W(F) \text{ pour tout } F \in \mathbb{M}^{3 \times 3} \text{ et tout } P \in \mathbb{S}\mathbb{O}(3);$$

$$(2.43) \quad \mathcal{Z}W(FQ) \leq \mathcal{Z}W(F) \text{ pour tout } F \in \mathbb{M}^{3 \times 3} \text{ et tout } Q \in \mathbb{S}\mathbb{O}(3).$$

En effet, (2.42) (resp. (2.43)) suit de (2.41) en prenant $Q = I_3$ (resp. $P = I_3$) (où I_3 est la matrice identité dans $\mathbb{M}^{3 \times 3}$). D'autre part, étant donnés $F \in \mathbb{M}^{3 \times 3}$ et $P, Q \in \mathbb{S}\mathbb{O}(3)$, par (2.42) (resp. (2.43)) on a $\mathcal{Z}W(P(FQ)) \leq \mathcal{Z}W(FQ)$ (resp. $\mathcal{Z}W(FQ) \leq \mathcal{Z}W(F)$), d'où $\mathcal{Z}W(PFQ) \leq \mathcal{Z}W(F)$. Tout revient donc à prouver (2.42) et (2.43).

Étape 3.1. Montrons (2.42). Soient $F \in \mathbb{M}^{3 \times 3}$ et $P \in \mathbb{S}\mathbb{O}(3)$. Considérons $\varphi \in \text{Aff}_0(Y; \mathbb{R}^3)$ et posons $\phi := P\varphi$. Alors $\phi \in \text{Aff}_0(Y; \mathbb{R}^3)$ et $\nabla\phi = P\nabla\varphi$, donc

$$\begin{aligned} \mathcal{Z}W(PF) &\leq \int_Y W(PF + \nabla\phi(x)) dx = \int_Y W(P(F + P^T\nabla\varphi(x))) dx \\ &= \int_Y W(P(F + \nabla\varphi(x))) dx. \end{aligned}$$

De (2.24) on déduit que $\mathcal{Z}W(PF) \leq \int_Y W(F + \nabla\varphi(x)) dx$ pour tout $\varphi \in \text{Aff}_0(Y; \mathbb{R}^3)$, d'où $\mathcal{Z}W(PF) \leq \mathcal{Z}W(F)$.

Étape 3.2. Montrons (2.43). Soient $F \in \mathbb{M}^{3 \times 3}$ et $Q \in \mathbb{S}\mathbb{O}(3)$. Par le théorème de recouvrement de Vitali, il existe une famille au plus dénombrable $\{a_i + \varepsilon_i Q^T Y\}_{i \in I}$ de sous-ensembles disjoints de Y , où $a_i \in \mathbb{R}^3$ et $0 < \varepsilon_i < 1$, telle que $|Y \setminus \cup_{i \in I} (a_i + \varepsilon_i Q^T Y)| = 0$ (donc $\sum_{i \in I} \varepsilon_i^3 = 1$). Considérons $\varphi \in \text{Aff}_0(Y; \mathbb{R}^3)$ et définissons $\phi \in \text{Aff}_0(Y; \mathbb{R}^3)$ par

$$\phi(x) = \varepsilon_i \varphi \left(Q \frac{x - a_i}{\varepsilon_i} \right) \text{ si } x \in a_i + \varepsilon_i Q^T Y.$$

Alors

$$\begin{aligned} \mathcal{Z}W(FQ) &\leq \int_Y W(FQ + \nabla\phi(x))dx = \sum_{i \in I} \varepsilon_i^3 \int_Y W(FQ + \nabla\varphi(x)Q)dx \\ &= \int_Y W((F + \nabla\varphi(x))Q)dx. \end{aligned}$$

De (2.24) on déduit que $\mathcal{Z}W(FQ) \leq \int_Y W(F + \nabla\varphi(x))dx$ pour tout $\varphi \in \text{Aff}_0(Y; \mathbb{R}^3)$, d'où $\mathcal{Z}W(FQ) \leq \mathcal{Z}W(F)$.

Étape 4. Montrons que $\mathcal{Z}W$ satisfait (2.1). Soient $F \in \mathbb{M}_*^{3 \times 3}$ (avec $\mathbb{M}_*^{3 \times 3} := \{F \in \mathbb{M}^{3 \times 3} : \det F \neq 0\}$) et $P \in \mathbb{S}\mathbb{O}(3)$ donné par $P := FM^{-1}$ avec

$$M := \begin{cases} \sqrt{F^T F} & \text{si } \det F > 0 \\ -\sqrt{F^T F} & \text{si } \det F < 0. \end{cases}$$

Comme M est symétrique, il existe $Q \in \mathbb{S}\mathbb{O}(3)$ et $G \in \mathbb{M}^{3 \times 3}$ tels que G est diagonale et $M = Q^T G Q$, donc $F = P Q^T G Q$. D'où $\mathcal{Z}W(F) = \mathcal{Z}W(G)$ par l'étape 3. Notant que $|G| = |F|$ et utilisant (2.28) (voir l'étape 2) on déduit que $\mathcal{Z}W(F) \leq c(1 + |F|^p)$ pour tout $F \in \mathbb{M}_*^{3 \times 3}$. Comme $\mathcal{Z}W$ est continue (par l'étape 1 et la proposition 2.3(c)) et $\mathbb{M}_*^{3 \times 3}$ est dense dans $\mathbb{M}^{3 \times 3}$, il suit que $\mathcal{Z}W$ vérifie (2.1). \square

On peut généraliser le corollaire 2.21 comme suit. (En fait, on peut supprimer la condition (2.24) dans le corollaire 2.21.)

Corollaire 2.22. *Si $W : \mathbb{M}^{N \times N} \rightarrow [0, +\infty]$ satisfait (2.23) alors (1.11) a lieu avec $\overline{W} = \mathcal{Q}W = \mathcal{Z}W$.*

Démonstration. De l'étape 1 de la démonstration du théorème 2.20 on voit $\mathcal{Z}W$ est finie, donc $\mathcal{Z}W$ est rang-1 convexe par la proposition 2.3(b), d'où $\mathcal{Z}W \leq \mathcal{R}W$. D'autre part, du théorème 3.25 on déduit que $\mathcal{R}W$ satisfait (2.3). En effet, comme W satisfait (2.23) et $|\det F| = v(F)$ pour tout $F \in \mathbb{M}^{N \times N}$, où $v(F)$ est le produit des valeurs singulières de F , alors W vérifie (3.52). Par conséquent, $\mathcal{Z}W$ satisfait (2.1), et le résultat suit par le théorème 2.1. \square

2.4. Contrainte déterminant strictement positif. Étant donné $n \geq 1$ quelconque, on définit $W_n : \mathbb{M}^{N \times N} \rightarrow [0, +\infty]$ par

$$W_n(F) := \begin{cases} W(F) & \text{si } \det F > 0 \\ h_n(F) & \text{si } \det F \leq 0, \end{cases}$$

où $h_n : \mathbb{M}^{N \times N} \rightarrow [0, +\infty]$ est Borel mesurable, vérifie $h_n(F) \leq c_n(1 + |F|^p)$ pour tout $F \in \mathbb{M}^{N \times N}$ avec $c_n > 0$ et, pour chaque $F \in \mathbb{M}^{N \times N}$ tel que $\det F \leq 0$, $\{h_n(F)\}_{n \geq 1}$ est croissante et $\sup_{n \geq 1} h_n(F) = +\infty$. La suite $\{W_n\}_{n \geq 1}$ est donc croissante et, lorsque W satisfait (1.1), $\sup_{n \geq 1} W_n = W$. Pour plus de détails sur la question suivante voir Ball [13, §2.2 p. 7].

Question 2.23. *Peut-on choisir $\{h_n\}_{n \geq 1}$ de manière à avoir le résultat qui suit. Si W satisfait (1.1) et la condition suivante*

$$(2.44) \quad \begin{aligned} &\text{pour tout } \delta > 0 \text{ il existe } c_\delta > 0 \text{ tel que pour tout } F \in \mathbb{M}^{N \times N}, \\ &\text{si } \det F \geq \delta \text{ alors } W(F) \leq c_\delta(1 + |F|^p), \end{aligned}$$

alors (1.11) a lieu avec $\overline{W} = \sup_{n \geq 1} \mathcal{Q}W_n = \sup_{n \geq 1} \mathcal{Z}W_n$?

Remarque 2.24. Si W satisfait (1.1) et (2.44) on a

$$(2.45) \quad \int_{\Omega} \sup_{n \geq 1} \mathcal{Q}W_n(\nabla\phi(x))dx = \int_{\Omega} \sup_{n \geq 1} \mathcal{Z}W_n(\nabla\phi(x))dx \leq \bar{I}(\phi)$$

pour tout $\phi \in W^{1,p}(\Omega; \mathbb{R}^N)$.

En effet, définissons $I_n : W^{1,p}(\Omega; \mathbb{R}^N) \rightarrow [0, +\infty]$ par

$$I_n(\phi) := \int_{\Omega} W_n(\nabla\phi(x))dx$$

et notons \bar{I}_n la régularisée sci de I_n par rapport à la topologie faible de $W^{1,p}(\Omega; \mathbb{R}^N)$. Comme W vérifie (1.1), il est clair que $\sup_{n \geq 1} \bar{I}_n \leq \bar{I}$. De plus, chaque W_n vérifie (2.23) puisque W satisfait (2.44), donc, par le corollaire 2.22, $\bar{I}_n(\phi) = \int_{\Omega} \mathcal{Z}W_n(\nabla\phi(x))dx = \int_{\Omega} \mathcal{Q}W_n(\nabla\phi(x))dx$ pour tout $n \geq 1$ et tout $\phi \in W^{1,p}(\Omega; \mathbb{R}^N)$, et (2.45) suit.

3. PASSAGE 3D-2D AVEC CONTRAINTES DE TYPE DÉTERMINANT

3.1. Généralités. Dans [5, 7] nous avons montré les deux théorèmes suivants (voir aussi le théorème 3.16).

Théorème 3.1. *Si W est continue et satisfait (1.4), (2.23) et*

$$(3.1) \quad W(\xi | \zeta) = W(\xi | -\zeta) \text{ pour tout } \xi \in \mathbb{M}^{3 \times 2} \text{ et tout } \zeta \in \mathbb{R}^3,$$

alors $I_{\text{mem}} = \Gamma(\pi)$ -lim $_{\varepsilon \rightarrow 0} I_{\varepsilon}$ avec $W_{\text{mem}} = \mathcal{Q}W_0 = \mathcal{Z}W_0$.

(Les fonctionnelles $I_{\varepsilon} : W^{1,p}(\Sigma_{\varepsilon}; \mathbb{R}^3) \rightarrow [0, +\infty]$ et $I_{\text{mem}} : W^{1,p}(\Sigma; \mathbb{R}^3) \rightarrow [0, +\infty]$, avec $\Sigma_{\varepsilon} := \Sigma \times]-\frac{\varepsilon}{2}, \frac{\varepsilon}{2}[\subset \mathbb{R}^3$ où $\Sigma \subset \mathbb{R}^2$ est un ouvert borné et $\varepsilon > 0$, sont respectivement définies en (1.13) et (1.14). La fonction $W_0 : \mathbb{M}^{3 \times 2} \rightarrow [0, +\infty]$ est donnée par (1.16).)

Théorème 3.2. *Si W est continue et vérifie les conditions (1.1) et (2.44) alors $I_{\text{mem}} = \Gamma(\pi)$ -lim $_{\varepsilon \rightarrow 0} I_{\varepsilon}$ avec $W_{\text{mem}} = \mathcal{Q}W_0 = \mathcal{Z}W_0$.*

Ces théorèmes étendent le théorème 1.10. Ils sont plus réalistes du point de vue de l'hyperélasticité : le théorème 3.1 (resp. 3.2) est compatible avec (1.4) (resp. (1.1)) et (1.2).

Dans ce qui suit nous donnons les preuves des théorèmes 3.1 et 3.2 (voir §3.1.1-3.1.3 pour la structure générale et §3.2-3.3 pour les détails). Les démonstrations des théorèmes 3.1 et 3.2 ont la même structure que l'on peut décomposer en trois points (voir §3.1.1-3.1.3).

3.1.1. Préliminaires. Pour chaque $\varepsilon > 0$, on considère $\mathcal{I}_{\varepsilon} : W^{1,p}(\Sigma; \mathbb{R}^3) \rightarrow [0, +\infty]$ définie par

$$\mathcal{I}_{\varepsilon}(\psi) := \inf \{ I_{\varepsilon}(\phi) : \pi_{\varepsilon}(\phi) = \psi \}.$$

Définition 3.3. On dit que $\mathcal{I}_{\varepsilon}$ Γ -converge vers I_{mem} et on écrit

$$I_{\text{mem}} = \Gamma\text{-lim}_{\varepsilon \rightarrow 0} \mathcal{I}_{\varepsilon}$$

si

$$\Gamma\text{-lim inf}_{\varepsilon \rightarrow 0} \mathcal{I}_{\varepsilon} = \Gamma\text{-lim sup}_{\varepsilon \rightarrow 0} \mathcal{I}_{\varepsilon} = I_{\text{mem}}$$

avec $\Gamma\text{-lim inf}_{\varepsilon \rightarrow 0} \mathcal{I}_{\varepsilon}, \Gamma\text{-lim sup}_{\varepsilon \rightarrow 0} \mathcal{I}_{\varepsilon} : W^{1,p}(\Sigma; \mathbb{R}^3) \rightarrow [0, +\infty]$ définies par :

$$\begin{aligned} (\Gamma\text{-}\liminf_{\varepsilon \rightarrow 0} \mathcal{I}_\varepsilon)(\psi) &:= \inf \left\{ \liminf_{\varepsilon \rightarrow 0} \mathcal{I}_\varepsilon(\psi_\varepsilon) : W^{1,p}(\Sigma; \mathbb{R}^3) \ni \psi_\varepsilon \rightharpoonup \psi \right\}; \\ (\Gamma\text{-}\limsup_{\varepsilon \rightarrow 0} \mathcal{I}_\varepsilon)(\psi) &:= \inf \left\{ \limsup_{\varepsilon \rightarrow 0} \mathcal{I}_\varepsilon(\psi_\varepsilon) : W^{1,p}(\Sigma; \mathbb{R}^3) \ni \psi_\varepsilon \rightharpoonup \psi \right\}. \end{aligned}$$

La définition 3.3 est équivalente à la définition 1.9 où “ $\psi_\varepsilon \rightharpoonup \psi$ ” est substitué par “ $\pi_\varepsilon(\phi_\varepsilon) \rightharpoonup \psi$ ”. Il est alors facile de voir que

$$(3.2) \quad I_{\text{mem}} = \Gamma(\pi)\text{-}\lim_{\varepsilon \rightarrow 0} I_\varepsilon \text{ si et seulement si } I_{\text{mem}} = \Gamma\text{-}\lim_{\varepsilon \rightarrow 0} \mathcal{I}_\varepsilon.$$

Tout revient donc à “calculer” la Γ -limite de \mathcal{I}_ε lorsque $\varepsilon \rightarrow 0$. Pour cela, on étudie d’abord la Γ -convergence de \mathcal{I}_ε lorsque $\varepsilon \rightarrow 0$ (voir §3.1.2) et on établit ensuite une représentation intégrale de la Γ -limite (voir §3.1.3). (Cette procédure générale a été initiée dans [3], voir aussi [9]).

Le lemme suivant sera utilisé dans la suite (rappelons que W est supposée coercive).

Lemme 3.4. *Si W est continue et vérifie (1.4) et (2.23) ou (1.1) et (2.44) alors W_0 satisfait les propriétés suivantes :*

W_0 est continue (et coercive) ;

$$(3.3) \quad W_0(\xi_1 \mid \xi_2) = +\infty \text{ si et seulement si } \xi_1 \wedge \xi_2 = 0 ;$$

$$(3.4) \quad \text{pour tout } \delta > 0 \text{ il existe } c_\delta > 0 \text{ tel que pour tout } \xi = (\xi_1 \mid \xi_2) \in \mathbb{M}^{3 \times 2}, \\ \text{si } |\xi_1 \wedge \xi_2| \geq \delta \text{ alors } W_0(\xi) \leq c_\delta(1 + |\xi|^p).$$

Plus précisément, W_0 est continue (et coercive) dès que W est continue (et coercive), (3.3) a lieu dès que W vérifie (1.4) ou (1.1) et (3.4) a lieu dès que W vérifie (2.23) ou (2.44).

Démonstration. Comme W est coercive, on a

$$(3.5) \quad W(\xi \mid \zeta) \geq C(|\xi|^p + |\zeta|^p) \text{ pour tout } (\xi, \zeta) \in \mathbb{M}^{3 \times 2} \times \mathbb{R}^3$$

avec $C > 0$ (qui ne dépend que de p). Donc $W_0(\xi) \geq C|\xi|^p$ pour tout $\xi \in \mathbb{M}^{3 \times 2}$, i.e., W_0 est coercive. Puisque W est continue, $W(\cdot \mid \zeta)$ est continue pour chaque $\zeta \in \mathbb{R}^3$, d’où W_0 est semi-continue supérieurement. Donc, pour montrer que W_0 est continue, il suffit de prouver que W_0 est sci. Pour cela, considérons $\xi \in \mathbb{M}^{3 \times 2}$ et $\{\xi_n\}_{n \geq 1} \subset \mathbb{M}^{3 \times 2}$ tels que $\xi_n \rightarrow \xi$, $\sup_{n \geq 1} W_0(\xi_n) < +\infty$ et $\lim_{n \rightarrow +\infty} W_0(\xi_n) = \liminf_{n \rightarrow +\infty} W_0(\xi_n)$. Pour chaque $n \geq 1$, il existe $\zeta_n \in \mathbb{R}^3$ tel que

$$(3.6) \quad W_0(\xi_n) < W(\xi_n \mid \zeta_n) \leq W_0(\xi_n) + \frac{1}{n}.$$

Alors $\sup_{n \geq 1} W(\xi_n \mid \zeta_n) < +\infty$ (puisque $\sup_{n \geq 1} W_0(\xi_n) < +\infty$). Or, par (3.5), $|\zeta_n|^p \leq \frac{1}{C}W(\xi_n \mid \zeta_n)$ pour tout $n \geq 1$, donc $\sup_{n \geq 1} |\zeta_n|^p < +\infty$. Il suit qu’il existe $\zeta \in \mathbb{R}^3$ tel que $\zeta_n \rightarrow \zeta$ (à une sous-suite près). D’où $\lim_{n \rightarrow +\infty} W(\xi_n \mid \zeta_n) = W(\xi \mid \zeta)$ (puisque W est continue). De (3.6) on déduit que $\lim_{n \rightarrow +\infty} W_0(\xi_n) = W(\xi \mid \zeta) \geq W_0(\xi)$.

Montrons (3.3). Étant donné $\xi = (\xi_1 \mid \xi_2)$, si $W_0(\xi_1 \mid \xi_2) < +\infty$ (resp. $W_0(\xi_1 \mid \xi_2) = +\infty$) alors $W(\xi \mid \zeta) < +\infty$ (resp. $W(\xi \mid \zeta) = +\infty$) avec $\zeta \in \mathbb{R}^3$ (resp. pour tout $\zeta \in \mathbb{R}^3$), donc $\xi_1 \wedge \xi_2 \neq 0$ (resp. $\xi_1 \wedge \xi_2 = 0$) par (1.4) ou (1.1).

Montrons (3.4). Soient $\delta > 0$ et $\xi = (\xi_1 \mid \xi_2)$ tels que $|\xi_1 \wedge \xi_2| \geq \delta$. Posant $\zeta := \frac{\xi_1 \wedge \xi_2}{|\xi_1 \wedge \xi_2|}$ on a $\det(\xi \mid \zeta) \geq \delta$, et utilisant (2.23) ou (2.44) on déduit qu’il existe $c_\delta > 0$ (qui ne dépend pas de ξ) tel que $W_0(\xi) \leq c_\delta(1 + |\xi|^p)$. \square

Remarque 3.5. Pour Ben Belgacem $W_{\text{mem}} = \mathcal{QR}W_0$ (voir [15, 16, 17]). En fait, lorsque W satisfait (2.44), on a $\mathcal{QR}W_0 = \mathcal{Q}W_0 = \mathcal{Z}W_0$. En effet, du lemme 3.4 on voit que W_0 satisfait (3.4) donc (2.11). Du théorème 2.18 on déduit que $\mathcal{Z}W_0$ vérifie (2.1) (donc $\mathcal{Z}W_0$ est finie), et le résultat suit de la remarque 2.10.

On définit $\mathcal{I} : W^{1,p}(\Sigma; \mathbb{R}^3) \rightarrow [0, +\infty]$ par

$$\mathcal{I}(\psi) := \int_{\Sigma} W_0(\nabla\psi(x))dx,$$

et on considère $\overline{\mathcal{I}}, \overline{\mathcal{I}}_{\text{aff}}, \overline{\mathcal{I}}_{\text{diff}_*} : W^{1,p}(\Sigma; \mathbb{R}^3) \rightarrow [0, +\infty]$ données par :

$$\begin{aligned} \diamond \overline{\mathcal{I}}(\psi) &:= \inf \left\{ \liminf_{n \rightarrow +\infty} \mathcal{I}(\psi_n) : W^{1,p}(\Sigma; \mathbb{R}^3) \ni \psi_n \rightharpoonup \psi \right\}; \\ \diamond \overline{\mathcal{I}}_{\text{aff}}(\psi) &:= \inf \left\{ \liminf_{n \rightarrow +\infty} \mathcal{I}(\psi_n) : \text{Aff}(\Sigma; \mathbb{R}^3) \ni \psi_n \rightharpoonup \psi \right\}; \\ \diamond \overline{\mathcal{I}}_{\text{diff}_*}(\psi) &:= \inf \left\{ \liminf_{n \rightarrow +\infty} \mathcal{I}(\psi_n) : C_*^1(\overline{\Sigma}; \mathbb{R}^3) \ni \psi_n \rightharpoonup \psi \right\} \end{aligned}$$

avec $C_*^1(\overline{\Sigma}; \mathbb{R}^3) := \{\psi \in C^1(\overline{\Sigma}; \mathbb{R}^3) : \partial_1\psi(x) \wedge \partial_2\psi(x) \neq 0 \text{ pour tout } x \in \overline{\Sigma}\}$ où $\partial_1\psi(x)$ (resp. $\partial_2\psi(x)$) désigne la dérivée partielle de ψ en $x = (x_1, x_2)$ par rapport à x_1 (resp. x_2). (En fait, $C_*^1(\overline{\Sigma}; \mathbb{R}^3)$ est l'ensemble des C^1 -immersions de $\overline{\Sigma}$ dans \mathbb{R}^3 .)

Remarque 3.6. Lorsque W_0 vérifie (3.3) on a

$$\diamond \overline{\mathcal{I}}_{\text{aff}}(\psi) := \inf \left\{ \liminf_{n \rightarrow +\infty} \mathcal{I}(\psi_n) : \text{Aff}_*(\Sigma; \mathbb{R}^3) \ni \psi_n \rightharpoonup \psi \right\}$$

avec $\text{Aff}_*(\Sigma; \mathbb{R}^3) := \{\psi \in \text{Aff}(\Sigma; \mathbb{R}^3) : \partial_1\psi(x) \wedge \partial_2\psi(x) \neq 0 \text{ p.p. dans } \overline{\Sigma}\}$.

3.1.2. *Existence de la Γ -limite de \mathcal{I}_ε .* On démontre les trois propositions suivantes.

Proposition 3.7. $\Gamma\text{-lim inf}_{\varepsilon \rightarrow 0} \mathcal{I}_\varepsilon \geq \overline{\mathcal{I}}$.

Proposition 3.8. Si W est continue et satisfait (1.4), (2.23) et (3.1) alors

$$\Gamma\text{-lim sup}_{\varepsilon \rightarrow 0} \mathcal{I}_\varepsilon \leq \overline{\mathcal{I}}_{\text{aff}}.$$

Proposition 3.9. Si W est continue et satisfait (1.1) et (2.44) alors

$$\Gamma\text{-lim sup}_{\varepsilon \rightarrow 0} \mathcal{I}_\varepsilon \leq \overline{\mathcal{I}}_{\text{diff}_*}.$$

La proposition 3.7 se démontre assez facilement (voir ci-dessous). Les propositions 3.8 et 3.9 sont plus difficiles à prouver (voir §3.2 et §3.3).

Démonstration de la proposition 3.7. Considérons $\psi \in W^{1,p}(\Sigma; \mathbb{R}^3)$ et $\{\psi_\varepsilon\}_\varepsilon \subset W^{1,p}(\Sigma; \mathbb{R}^3)$ tels que $\psi_\varepsilon \rightharpoonup \psi$ dans $W^{1,p}(\Sigma; \mathbb{R}^3)$. On doit prouver que

$$(3.7) \quad \liminf_{\varepsilon \rightarrow 0} \mathcal{I}_\varepsilon(\psi_\varepsilon) \geq \overline{\mathcal{I}}(\psi).$$

Sans perdre de généralité on peut supposer que $\sup_{\varepsilon > 0} \mathcal{I}_\varepsilon(\psi_\varepsilon) < +\infty$ and $\psi_\varepsilon \rightarrow \psi$ dans $L^p(\Sigma; \mathbb{R}^3)$. Pour chaque $\varepsilon > 0$, il existe $\phi_\varepsilon \in \pi_\varepsilon^{-1}(\psi_\varepsilon)$ tel que

$$(3.8) \quad \mathcal{I}_\varepsilon(\psi_\varepsilon) \geq \mathcal{I}_\varepsilon(\phi_\varepsilon) - \varepsilon.$$

Définissons $\hat{\phi}_\varepsilon : \Sigma_1 \rightarrow \mathbb{R}^3$ par $\hat{\phi}_\varepsilon(x, x_3) := \phi_\varepsilon(x, \varepsilon x_3)$ (avec $\Sigma_1 = \Sigma \times]-\frac{1}{2}, \frac{1}{2}[$). On a alors

$$(3.9) \quad \mathcal{I}_\varepsilon(\phi_\varepsilon) = \int_{\Sigma_1} W \left(\partial_1 \hat{\phi}_\varepsilon(x, x_3) \mid \partial_2 \hat{\phi}_\varepsilon(x, x_3) \mid \frac{1}{\varepsilon} \partial_3 \hat{\phi}_\varepsilon(x, x_3) \right) dx dx_3.$$

Utilisant la coercivité de W on déduit qu'il existe $c > 0$ tel que $\|\partial_3 \hat{\phi}_\varepsilon\|_{L^p(\Sigma_1; \mathbb{R}^3)} \leq c\varepsilon^p$ pour tout $\varepsilon > 0$, donc $\|\hat{\phi}_\varepsilon - \psi_\varepsilon\|_{L^p(\Sigma_1; \mathbb{R}^3)} \leq c'\varepsilon^p$ par l'inégalité de Poincaré-Wirtinger, où $c' > 0$ est une constante indépendante de ε . Il suit que $\hat{\phi}_\varepsilon \rightarrow \psi$ dans $L^p(\Sigma_1; \mathbb{R}^3)$. Soit $\varphi_\varepsilon^{x_3} \in W^{1,p}(\Sigma; \mathbb{R}^3)$ définie par $\varphi_\varepsilon^{x_3}(x) := \hat{\phi}_\varepsilon(x, x_3)$ avec $x_3 \in]-\frac{1}{2}, \frac{1}{2}[$. Alors (à une sous-suite près) $\varphi_\varepsilon^{x_3} \rightarrow \psi$ dans $L^p(\Sigma; \mathbb{R}^3)$ pour presque tout $x_3 \in]-\frac{1}{2}, \frac{1}{2}[$. Prenant en compte (3.8) et (3.9) et utilisant le lemme de Fatou, on obtient

$$\liminf_{\varepsilon \rightarrow 0} \mathcal{I}_\varepsilon(\psi_\varepsilon) \geq \int_{-\frac{1}{2}}^{\frac{1}{2}} \left(\liminf_{\varepsilon \rightarrow 0} \int_{\Sigma} W_0(\nabla \varphi_\varepsilon^{x_3}(x)) dx \right) dx_3,$$

donc $\liminf_{\varepsilon \rightarrow 0} \mathcal{I}_\varepsilon(\psi_\varepsilon) \geq \overline{\mathcal{J}}(\psi)$ avec $\overline{\mathcal{J}} : W^{1,p}(\Sigma; \mathbb{R}^3) \rightarrow [0, +\infty]$ donnée par

$$\overline{\mathcal{J}}(\varphi) := \inf \left\{ \liminf_{n \rightarrow +\infty} \int_{\Sigma} W_0(\nabla \varphi_n(x)) dx : W^{1,p}(\Sigma; \mathbb{R}^3) \ni \varphi_n \rightarrow \varphi \text{ dans } L^p(\Sigma; \mathbb{R}^3) \right\}.$$

Comme W_0 est coercive (voir le lemme 3.4) on a $\overline{\mathcal{J}} = \overline{\mathcal{I}}$, et (3.7) suit. \square

La proposition suivante est une conséquence immédiate des propositions 3.7, 3.8 et 3.9.

Proposition 3.10. $\Gamma\text{-}\lim_{\varepsilon \rightarrow 0} \mathcal{I}_\varepsilon = \overline{\mathcal{I}}$ dans les deux cas suivants :

- (a) W est continue (coercive), satisfait (1.4), (2.23) et (3.1) et $\overline{\mathcal{I}} = \overline{\mathcal{I}}_{\text{aff}}$;
- (b) W est continue (coercive), satisfait (1.1) et (2.44) et $\overline{\mathcal{I}} = \overline{\mathcal{I}}_{\text{diff}_*}$.

3.1.3. *Représentation intégrale de la Γ -limite de \mathcal{I}_ε .* D'après les théorèmes 2.1 et 2.18, si W_0 satisfait (3.4) (donc (2.11)) alors $\overline{\mathcal{I}} = I_{\text{mem}}$ avec $W_{\text{mem}} = \mathcal{Q}W_0 = \mathcal{Z}W_0$. Donc, prenant en compte (3.2) et la proposition 3.10(a), le théorème 3.1 est démontré si on prouve que $\overline{\mathcal{I}} = \overline{\mathcal{I}}_{\text{aff}}$ ce qui est vraie grâce au théorème 2.1-bis.

De même, prenant en compte (3.2) et la proposition 3.10(b), le théorème 3.2 est démontré si on prouve que

$$(3.10) \quad \overline{\mathcal{I}} = \overline{\mathcal{I}}_{\text{diff}_*}.$$

Cette dernière égalité est plus difficile à démontrer (voir le théorème 3.19). Sa preuve utilise deux théorèmes d'approximation par Ben Belgacem-Bennequin (voir le théorème 4.17) et Gromov-Eliashberg (voir le théorème 4.3) ainsi que deux lemmes de Ben Belgacem (voir les lemmes 3.20 et 3.21). (Pour la démonstration de (3.10) voir §3.3.3.)

3.2. Contrainte déterminant non nul. Dans ce paragraphe on démontre la proposition 3.8.

3.2.1. *Préliminaires.* Étant donné $\psi \in \text{Aff}_*(\Sigma; \mathbb{R}^3)$, il existe une famille finie $\{V_i\}_{i \in I}$ de sous-ensembles ouverts et disjoints de Σ telle que $|\Sigma \setminus \cup_{i \in I} V_i| = 0$, $|\partial V_i| = 0$ et $\nabla \psi(x) = \xi_i$ dans V_i pour tout $i \in I$ avec $\xi_i = (\xi_{i,1} \mid \xi_{i,2}) \in \mathbb{M}^{3 \times 2}$ et $\xi_{i,1} \wedge \xi_{i,2} \neq 0$. Pour chaque $i \in I$ et chaque $j \geq 1$, on définit $U_{i,j}^-, U_{i,j}^+ \subset \mathbb{R}^3$ par

$$U_{i,j}^- := \left\{ \zeta \in \mathbb{R}^3 : \det(\xi_i \mid \zeta) \leq -\frac{1}{j} \right\} \text{ et } U_{i,j}^+ := \left\{ \zeta \in \mathbb{R}^3 : \det(\xi_i \mid \zeta) \geq \frac{1}{j} \right\}.$$

Il est facile de voir que :

$$(3.11) \quad U_{i,j}^- \text{ et } U_{i,j}^+ \text{ sont non vides et convexes ;}$$

$$(3.12) \quad U_{i,j}^- \cup U_{i,j}^+ = \left\{ \zeta \in \mathbb{R}^3 : |\det(\xi \mid \zeta)| \geq \frac{1}{j} \right\};$$

$$(3.13) \quad U_{i,1}^- \subset U_{i,2}^- \subset U_{i,3}^- \subset \cdots \subset \bigcup_{j \geq 1} U_{i,j}^- = \{ \zeta \in \mathbb{R}^3 : \det(\xi \mid \zeta) < 0 \};$$

$$(3.14) \quad U_{i,1}^+ \subset U_{i,2}^+ \subset U_{i,3}^+ \subset \cdots \subset \bigcup_{j \geq 1} U_{i,j}^+ = \{ \zeta \in \mathbb{R}^3 : \det(\xi \mid \zeta) > 0 \}.$$

De plus, on a

$$(3.15) \quad \begin{aligned} &\text{il existe } j_\psi \geq 1 \text{ et une partition } (I^-, I^+) \text{ de } I \text{ telle que} \\ &(\bigcap_{i \in I^-} U_{i,j}^-) \cap (\bigcap_{i \in I^+} U_{i,j}^+) \neq \emptyset \text{ pour tout } j \geq j_\psi. \end{aligned}$$

Preuve de (3.15). Pour chaque $i \in I$, considérons l'hyperplan $H_i \subset \mathbb{R}^3$ défini par $H_i := \{ \zeta \in \mathbb{R}^3 : \det(\xi_i \mid \zeta) = 0 \}$. Il est clair que $\bigcup_{i \in I} H_i \neq \mathbb{R}^3$ et qu'il existe $\zeta \in \mathbb{R}^3$ tel que $\det(\xi_i \mid \zeta) \neq 0$ pour tout $i \in I$. Utilisant (3.12) on déduit qu'il existe $j_\psi \geq 1$ tel que $\zeta \in \bigcap_{i \in I} (U_{i,j_\psi}^- \cup U_{i,j_\psi}^+)$. On peut donc trouver une partition (I^-, I^+) de I telle que $(\bigcap_{i \in I^-} U_{i,j_\psi}^-) \cap (\bigcap_{i \in I^+} U_{i,j_\psi}^+) \neq \emptyset$, et (3.15) suit en utilisant (3.13) et (3.14). \square

On pose $V = \bigcup_{i \in I} V_i$ et, pour chaque $j \geq j_\psi$, on définit $\Gamma_\psi^j : \overline{\Sigma} \rightrightarrows \mathbb{R}^3$ par

$$\Gamma_\psi^j(x) := \begin{cases} U_{i,j}^- & \text{si } x \in V_i \text{ avec } i \in I^- \\ U_{i,j}^+ & \text{si } x \in V_i \text{ avec } i \in I^+ \\ \left(\bigcap_{i \in I^-} U_{i,j}^- \right) \cap \left(\bigcap_{i \in I^+} U_{i,j}^+ \right) & \text{si } x \in \overline{\Sigma} \setminus V. \end{cases}$$

Le lemme suivant est une conséquence du théorème 5.8. (Dans ce qui suit, étant donné $\Gamma : \overline{\Sigma} \rightrightarrows \mathbb{R}^3$, on pose $C(\overline{\Sigma}; \Gamma) := \{ \varphi \in C(\overline{\Sigma}; \mathbb{R}^3) : \varphi(x) \in \Gamma(x) \text{ p.p. dans } \overline{\Sigma} \}$ avec $C(\overline{\Sigma}; \mathbb{R}^3)$ désignant l'espace des fonctions continues de $\overline{\Sigma}$ dans \mathbb{R}^3 .)

Lemme 3.11. *Soient $\psi \in \text{Aff}_*(\Sigma; \mathbb{R}^3)$ et $j \geq j_\psi$. Si W est continue et satisfait (2.23) alors*

$$(3.16) \quad \inf_{\varphi \in C(\overline{\Sigma}; \Gamma_\psi^j)} \int_{\Sigma} W(\nabla \psi(x) \mid \varphi(x)) dx = \int_{\Sigma} \inf_{\zeta \in \Gamma_\psi^j(x)} W(\nabla \psi(x) \mid \zeta) dx.$$

Démonstration. (On utilise la notation $\text{Det}(\xi \mid \zeta) = |\det(\xi \mid \zeta)|$.) Puisque W est continue, (5.5) a lieu avec $f(x, \zeta) = W(\nabla \psi(x) \mid \zeta)$. Prenant en compte (3.11) et (3.15), on voit que Γ_ψ^j est une multifonction sci à valeurs convexes fermées non vides et par conséquent (5.6) a lieu avec $\Gamma = \Gamma_\psi^j$. Étant donné $\varphi, \hat{\varphi} \in C(\overline{\Sigma}; \Gamma_\psi^j)$, il est clair que $\text{Det}(\nabla \psi(x) \mid \alpha \varphi(x) + (1 - \alpha) \hat{\varphi}(x)) \geq \frac{1}{j}$ pour tout $\alpha \in [0, 1]$ et presque tout $x \in \Sigma$. De (2.23) on déduit qu'il existe $c > 0$ (dépendant seulement de j, ψ, φ et $\hat{\varphi}$) tel que $W(\nabla \psi(x) \mid \alpha \varphi(x) + (1 - \alpha) \hat{\varphi}(x)) \leq c$ pour tout $\alpha \in [0, 1]$ et presque tout $x \in \Sigma$. Ainsi (5.7) a lieu avec $f(x, \zeta) = W(\nabla \psi(x) \mid \zeta)$ et $\Gamma = \Gamma_\psi^j$. On applique le théorème 5.8 et on obtient (3.16). \square

Une autre démonstration du lemme 3.11. Il est clair que

$$\inf_{\varphi \in C(\overline{\Sigma}; \Gamma_\psi^j)} \int_{\Sigma} W(\nabla \psi(x) \mid \varphi(x)) dx \geq \int_{\Sigma} \inf_{\zeta \in \Gamma_\psi^j(x)} W(\nabla \psi(x) \mid \zeta) dx.$$

Prouvons donc l'autre inégalité. Par (3.15) on a $(\cap_{i \in I^-} U_{i,j}^-) \cap (\cap_{i \in I^+} U_{i,j}^+) \neq \emptyset$, donc il existe $\bar{\zeta} \in (\cap_{i \in I^-} U_{i,j}^-) \cap (\cap_{i \in I^+} U_{i,j}^+)$. Comme chaque $U_{i,j}^-$ (resp. $U_{i,j}^+$) est fermé, chaque $W(\xi_i | \cdot)$ est continue et W est coercive, pour tout $i \in I^-$ (resp. $i \in I^+$) il existe $\zeta_i \in U_{i,j}^-$ (resp. $\zeta_i \in U_{i,j}^+$) tel que

$$(3.17) \quad W(\xi_i | \zeta_i) = \inf_{\zeta \in U_{i,j}^-} W(\xi_i | \zeta) \quad (\text{resp. } W(\xi_i | \zeta_i) = \inf_{\zeta \in U_{i,j}^+} W(\xi_i | \zeta)).$$

Soit $n \geq 1$. Considérons $\alpha_n : \bar{\Sigma} \rightarrow \mathbb{R}$ donnée par $\alpha_n(x) := h(n \text{dist}(x, \bar{\Sigma} \setminus V))$, où $\text{dist}(x, \bar{\Sigma} \setminus V) := \inf\{|x - y| : y \in \bar{\Sigma} \setminus V\}$ et $h : [0, +\infty[\rightarrow [0, 1]$ est une fonction continue telle que $h(0) = 0$ et $h(t) = 1$ pour tout $t \geq 1$. Définissons $\varphi_n : \bar{\Sigma} \rightarrow \mathbb{R}$ par

$$\varphi_n(x) := (1 - \alpha_n(x))\bar{\zeta} + \alpha_n(x)\zeta_i.$$

Il est clair que φ_n est continue et puisque $\Gamma_\psi^j(x)$ est convexe, $\varphi_n(x) \in \Gamma_\psi^j(x)$ pour tout $x \in \bar{\Sigma}$, d'où $\varphi_n \in C(\bar{\Sigma}; \Gamma_\psi^j)$. Utilisant (2.23) on déduit que $\sup_{n \geq 1} W(\nabla\psi(\cdot) | \varphi_n(\cdot)) \in L^1(\Sigma)$. Rappelant que W est continue et prenant en compte (3.17), on voit que $\lim_{n \rightarrow +\infty} W(\nabla\psi(x) | \varphi_n(x)) = \inf_{\zeta \in \Gamma_\psi^j(x)} W(\nabla\psi(x) | \zeta)$ pour presque tout $x \in \Sigma$. D'où

$$\begin{aligned} \inf_{\varphi \in C(\bar{\Sigma}; \Gamma_\psi^j)} \int_{\Sigma} W(\nabla\psi(x) | \varphi(x)) dx &\leq \lim_{n \rightarrow +\infty} \int_{\Sigma} W(\nabla\psi(x) | \varphi_n(x)) dx \\ &= \int_{\Sigma} \inf_{\zeta \in \Gamma_\psi^j(x)} W(\nabla\psi(x) | \zeta) dx \end{aligned}$$

par le théorème de la convergence dominée de Lebesgue. \square

Pour chaque $j \geq j_\psi$, on définit $\hat{\Gamma}_\psi^j : \bar{\Sigma} \rightrightarrows \mathbb{R}^3$ (la multifonction ‘‘symétrisée’’ de Γ_ψ^j) par

$$\hat{\Gamma}_\psi^j(x) := \begin{cases} U_{i,j}^- \cup U_{i,j}^+ & \text{si } x \in V_i \\ \Gamma_\psi^j(x) & \text{si } x \in \bar{\Sigma} \setminus V. \end{cases}$$

Noter que $\hat{\Gamma}_\psi^j$ n'est pas à valeurs convexes. C'est pour cela que l'on n'utilise pas cette multifonction dans le lemme 3.11 et que l'on aura besoin de l'hypothèse de ‘‘symétrie’’ (3.1). Le théorème suivant donne une représentation ‘‘non intégrale’’ de \mathcal{I} sur $\text{Aff}_*(\Sigma; \mathbb{R}^3)$.

Théorème 3.12. *Si W est continue et vérifie (1.4), (2.23) et (3.1) et si $\psi \in \text{Aff}_*(\Sigma; \mathbb{R}^3)$ alors*

$$\mathcal{I}(\psi) = \inf_{j \geq j_\psi} \inf_{\varphi \in C(\bar{\Sigma}; \hat{\Gamma}_\psi^j)} \int_{\Sigma} W(\nabla\psi(x) | \varphi(x)) dx.$$

Démonstration. Il suffit de prouver que

$$(3.18) \quad \mathcal{I}(\psi) \geq \inf_{j \geq j_\psi} \inf_{\varphi \in C(\bar{\Sigma}; \hat{\Gamma}_\psi^j)} \int_{\Sigma} W(\nabla\psi(x) | \varphi(x)) dx.$$

Par (3.1) on a

$$(3.19) \quad \inf_{\zeta \in \Gamma_\psi^j(x)} W(\nabla\psi(x) | \zeta) = \inf_{\zeta \in \hat{\Gamma}_\psi^j(x)} W(\nabla\psi(x) | \zeta)$$

pour tout $j \geq j_\psi$ and tout $x \in \Sigma$. Utilisant (3.19), le lemme 3.11 et le fait que $\Gamma_\psi^j \subset \hat{\Gamma}_\psi^j$, on obtient

$$(3.20) \quad \inf_{j \geq j_\psi} \int_{\Sigma} \inf_{\zeta \in \hat{\Gamma}_\psi^j(x)} W(\nabla\psi(x) \mid \zeta) dx \geq \inf_{j \geq j_\psi} \inf_{\varphi \in C(\bar{\Sigma}; \hat{\Gamma}_\psi^j)} \int_{\Sigma} W(\nabla\psi(x) \mid \varphi(x)) dx.$$

D'autre part, on a :

$$\begin{aligned} & \diamond \quad \inf_{\zeta \in \hat{\Gamma}_\psi^j(\cdot)} W(\nabla\psi(\cdot) \mid \zeta) \in L^1(\Sigma) \text{ par (2.23) ;} \\ & \diamond \quad \left\{ \inf_{\zeta \in \hat{\Gamma}_\psi^j(\cdot)} W(\nabla\psi(\cdot) \mid \zeta) \right\}_{j \geq j_\psi} \text{ est une suite décroissante par (3.13) et (3.14).} \end{aligned}$$

De plus, on a

$$(3.21) \quad \inf_{j \geq j_\psi} \inf_{\zeta \in \hat{\Gamma}_\psi^j(\cdot)} W(\nabla\psi(\cdot) \mid \zeta) = \inf_{\zeta \in \bigcup_{j \geq j_\psi} \hat{\Gamma}_\psi^j(\cdot)} W(\nabla\psi(\cdot) \mid \zeta) = W_0(\nabla\psi(\cdot))$$

grâce à (1.4) et au fait que $\bigcup_{j \geq j_\psi} \hat{\Gamma}_\psi^j(\cdot) = \{\zeta \in \mathbb{R}^3 : \det(\nabla\psi(\cdot) \mid \zeta) \neq 0\}$. D'où (3.18) suit de (3.20) et (3.21) en utilisant le théorème de la convergence monotone. \square

3.2.2. *Démonstration de la proposition 3.8.* (On utilise les notations $\text{Det}(\xi \mid \zeta) = |\det(\xi \mid \zeta)|$ et $\mathcal{F} = \text{Aff}_*(\Sigma; \mathbb{R}^3)$. On peut travailler avec $\text{Aff}_*(\Sigma; \mathbb{R}^3)$ au lieu de $\text{Aff}(\Sigma; \mathbb{R}^3)$ grâce à la remarque 3.6.) Il suffit de prouver que

$$(3.22) \quad \limsup_{\varepsilon \rightarrow 0} \mathcal{I}_\varepsilon(\psi) \leq \mathcal{I}(\psi)$$

pour tout $\psi \in \mathcal{F}$ (puisque $\Gamma\text{-lim sup}_{\varepsilon \rightarrow 0} \mathcal{I}_\varepsilon$ est sfsci dans $W^{1,p}(\Sigma; \mathbb{R}^3)$, voir [21]). Étant donné $\psi \in \mathcal{F}$, considérons $j \geq j_\psi$ (avec j_ψ donné par (3.15)) et $n \geq 1$. Utilisant le théorème 3.12 on obtient l'existence de $\varphi \in C(\bar{\Sigma}; \hat{\Gamma}_\psi^j)$ tel que

$$(3.23) \quad \int_{\Sigma} W(\nabla\psi(x) \mid \varphi(x)) dx \leq \mathcal{I}(\psi) + \frac{1}{n}.$$

Soit $\{\varphi_k\}_{k \geq 1} \subset C^\infty(\bar{\Sigma}; \mathbb{R}^3)$ tel que

$$(3.24) \quad \varphi_k \rightarrow \varphi \text{ uniformément.}$$

On affirme que :

$$(3.25) \quad \text{Det}(\nabla\psi(x) \mid \varphi_k(x)) \geq \frac{1}{2j} \text{ pour tout } x \in V \text{ et tout } k \geq k_\psi \text{ avec } k_\psi \geq 1 ;$$

$$(3.26) \quad \lim_{k \rightarrow +\infty} \int_{\Sigma} W(\nabla\psi(x) \mid \varphi_k(x)) dx = \int_{\Sigma} W(\nabla\psi(x) \mid \varphi(x)) dx.$$

En effet, posant $\mu_\psi := \sup_{x \in V} |\partial_1\psi(x) \wedge \partial_2\psi(x)| = \max_{i \in I} |\xi_{i,1} \wedge \xi_{i,2}|$ ($\mu_\psi > 0$) et utilisant (3.24), on déduit qu'il existe $k_\psi \geq 1$ tel que

$$(3.27) \quad \sup_{x \in \Sigma} |\varphi_k(x) - \varphi(x)| < \frac{1}{2j\mu_\psi}$$

pour tout $k \geq k_\psi$. Soient $x \in V$ et $k \geq k_\psi$. Comme $\varphi \in C(\bar{\Sigma}; \hat{\Gamma}_\psi^j)$ on a :

$$(3.28) \quad \text{Det}(\nabla\psi(x) \mid \varphi_k(x)) \geq \frac{1}{j} - \text{Det}(\nabla\psi(x) \mid \varphi_k(x) - \varphi(x)).$$

Remarquant que $\text{Det}(\nabla\psi(x) \mid \varphi_k(x) - \varphi(x)) \leq |\partial_1\psi(x) \wedge \partial_2\psi(x)| |\varphi_k(x) - \varphi(x)|$, de (3.27) et (3.28) on déduit que $\text{Det}(\nabla\psi(x) \mid \varphi_k(x)) \geq \frac{1}{2j}$ et (3.25) est prouvée.

Combinant (3.25) et (2.23) on voit que $\sup_{k \geq k_\psi} W(\nabla\psi(\cdot) \mid \varphi_k(\cdot)) \in L^1(\Sigma)$. Comme W est continue on a $\lim_{k \rightarrow +\infty} W(\nabla\psi(x) \mid \varphi_k(x)) = W(\nabla\psi(x) \mid \varphi(x))$ pour tout $x \in V$ et (3.26) suit par le théorème de la convergence dominée de Lebesgue.

Considérons $k \geq k_\psi$ et définissons la fonction continue $\theta :]-\frac{1}{2}, \frac{1}{2}[\rightarrow \mathbb{R}$ par $\theta(x_3) := \min_{i \in I} \inf_{x \in \nabla_i} \text{Det}(\xi_i + x_3 \nabla \varphi_k(x) \mid \varphi_k(x))$. Par (3.25) on a $\theta(0) \geq \frac{1}{2j}$ et par conséquent il existe $\eta_\psi \in]0, \frac{1}{2}[$ tel que $\theta(x_3) \geq \frac{1}{4j}$ pour tout $x_3 \in]-\eta_\psi, \eta_\psi[$. Soit $\phi_k : \Sigma_1 \rightarrow \mathbb{R}$ donnée par $\phi_k(x, x_3) := \psi(x) + x_3 \varphi_k(x)$. Il suit que

$$(3.29) \quad \text{Det}(\nabla\phi_k(x, \varepsilon x_3)) \geq \frac{1}{4j} \text{ pour tout } \varepsilon \in]0, \eta_\psi[\text{ et tout } (x, x_3) \in V \times]-\frac{1}{2}, \frac{1}{2}[.$$

De la même façon que dans la preuve de (3.26), combinant (3.29) et (2.23) et utilisant la continuité de W , on obtient

$$(3.30) \quad \lim_{\varepsilon \rightarrow 0} I_\varepsilon(\phi_k) = \lim_{\varepsilon \rightarrow 0} \int_{\Sigma_1} W(\nabla\phi_k(x, \varepsilon x_3)) dx dx_3 = \int_{\Sigma} W(\nabla\psi(x) \mid \varphi_k(x)) dx.$$

Puisque $\pi_\varepsilon(\phi_k) = \psi$ on a $\mathcal{I}_\varepsilon(\psi) \leq I_\varepsilon(\phi_k)$ pour tout $\varepsilon > 0$ et tout $k \geq k_\psi$. Utilisant (3.30), (3.26) et (3.23), on déduit que $\limsup_{\varepsilon \rightarrow 0} \mathcal{I}_\varepsilon(\psi) \leq \mathcal{I}(\psi) + \frac{1}{n}$, et (3.22) suit en faisant $n \rightarrow +\infty$. \square

Remarque 3.13. Étant donné $\varepsilon > 0$, on considère $W_\varepsilon : \mathbb{M}^{m \times N} \rightarrow [0, +\infty]$ Borel mesurable et on introduit la définition suivante.

Définition 3.14. Soit $p > 1$. On dit que $W_\varepsilon : \mathbb{M}^{m \times N} \rightarrow [0, +\infty]$ est p -ample si $\mathcal{Z}W_\varepsilon(F) \leq c_\varepsilon(1 + |F|^p)$ pour tout $F \in \mathbb{M}^{m \times N}$ avec $c_\varepsilon > 0$.

(Pour tout $F \in \mathbb{M}^{m \times N}$, $\mathcal{Z}W_\varepsilon(F) := \inf\{\int_Y W_\varepsilon(F + \nabla\varphi(y)) dy : \varphi \in \text{Aff}_0(Y; \mathbb{R}^m)\}$.)
On définit $I_\varepsilon, \mathcal{Z}I_\varepsilon : W^{1,p}(\Sigma_\varepsilon; \mathbb{R}^m) \rightarrow [0, +\infty]$ par :

$$\begin{aligned} \diamond I_\varepsilon(\phi) &:= \int_{\Sigma_\varepsilon} W_\varepsilon(\nabla\phi(y)) dy ; \\ \diamond \mathcal{Z}I_\varepsilon(\phi) &:= \int_{\Sigma_\varepsilon} \mathcal{Z}W_\varepsilon(\nabla\phi_\varepsilon(y)) dy, \end{aligned}$$

où $\Sigma_\varepsilon \subset \mathbb{R}^N$ est un ouvert borné, et on considère $\pi = \{\pi_\varepsilon\}_\varepsilon$ une famille d'applications de $W^{1,p}(\Sigma_\varepsilon; \mathbb{R}^m)$ dans $W^{1,p}(\Sigma; \mathbb{R}^m)$ avec $\Sigma \subset \mathbb{R}^k$ un ouvert borné. Le théorème suivant justifie la définition 3.14. La famille $\{W_\varepsilon\}_\varepsilon$ est supposée uniformément coercive, i.e., $W_\varepsilon(F) \geq C|F|^p$ pour tout $F \in \mathbb{M}^{m \times N}$ et tout $\varepsilon > 0$ avec $C > 0$.

Théorème 3.15. Supposons que :

- ◊ pour chaque $\varepsilon > 0$, W_ε est p -ample ;
- ◊ il existe $I_0 : W^{1,p}(\Sigma; \mathbb{R}^m) \rightarrow [0, +\infty]$ telle que $I_0 = \Gamma(\pi)\text{-}\lim_{\varepsilon \rightarrow 0} \mathcal{Z}I_\varepsilon$.

Alors $I_0 = \Gamma(\pi)\text{-}\lim_{\varepsilon \rightarrow 0} I_\varepsilon$.

Démonstration. On a $\Gamma(\pi)\text{-}\lim_{\varepsilon \rightarrow 0} I_\varepsilon = \Gamma(\pi)\text{-}\lim_{\varepsilon \rightarrow 0} \bar{I}_\varepsilon$, où $\bar{I}_\varepsilon : W^{1,p}(\Sigma_\varepsilon; \mathbb{R}^m) \rightarrow [0, +\infty]$ est la régularisée sci par rapport à la convergence faible de $W^{1,p}(\Sigma_\varepsilon; \mathbb{R}^m)$. Or, pour chaque $\varepsilon > 0$, W_ε est p -ample, donc, par le théorème 2.1, $\bar{I}_\varepsilon = \mathcal{Z}I_\varepsilon$ pour tout $\varepsilon > 0$. D'où $\Gamma(\pi)\text{-}\lim_{\varepsilon \rightarrow 0} I_\varepsilon = \Gamma(\pi)\text{-}\lim_{\varepsilon \rightarrow 0} \mathcal{Z}I_\varepsilon$, et le résultat suit. \square

Le résultat suivant est une conséquence du théorème 3.15 (rappelons que la fonction W est supposée coercive).

Théorème 3.16. *Si $W_\varepsilon = \frac{1}{\varepsilon}W$ pour tout $\varepsilon > 0$ et si $W : \mathbb{M}^{3 \times 3} \rightarrow [0, +\infty]$ satisfait (2.23) alors $I_{\text{mem}} = \Gamma(\pi)\text{-}\lim_{\varepsilon \rightarrow 0} I_\varepsilon$ avec $W_{\text{mem}} = \mathcal{Q}W_0 = \mathcal{Z}W_0$.*

Démonstration. Puisque W est coercive, la famille $\{W_\varepsilon\}_\varepsilon$ est uniformément coercive. Ici $m = N = 3$, $k = 2$, $\Sigma_\varepsilon = \Sigma \times]-\frac{\varepsilon}{2}, \frac{\varepsilon}{2}[$ avec $\Sigma \subset \mathbb{R}^2$ un ouvert borné et $\pi = \{\pi_\varepsilon\}_\varepsilon$ avec $\pi_\varepsilon : W^{1,p}(\Sigma_\varepsilon; \mathbb{R}^3) \rightarrow W^{1,p}(\Sigma; \mathbb{R}^3)$ définie par (1.15). Comme W satisfait (2.23), par le corollaire 2.22, on a $\mathcal{Z}W(F) \leq c(1 + |F|^p)$ pour tout $F \in \mathbb{M}^{3 \times 3}$ avec $c > 0$ (donc $\mathcal{Z}W$ est finie). Or pour chaque $\varepsilon > 0$, $\mathcal{Z}W_\varepsilon = \frac{1}{\varepsilon}\mathcal{Z}W$, donc $\mathcal{Z}W_\varepsilon(F) \leq \frac{c}{\varepsilon}(1 + |F|^p)$ pour tout $F \in \mathbb{M}^{3 \times 3}$ et tout $\varepsilon > 0$, i.e., pour chaque $\varepsilon > 0$, W_ε est p -amplé. D'autre part, $\mathcal{Z}W$ est continue d'après la proposition 2.3(c), donc, par le théorème 1.10, on a $I_0 = \Gamma(\pi)\text{-}\lim_{\varepsilon \rightarrow 0} \mathcal{Z}I_\varepsilon$ avec $I_0 : W^{1,p}(\Sigma; \mathbb{R}^3) \rightarrow [0, +\infty]$ définie par $I_0(\psi) := \int_\Sigma \mathcal{Z}[\mathcal{Z}W]_0(\nabla\psi(x))dx$, où $[\mathcal{Z}W]_0 : \mathbb{M}^{3 \times 2} \rightarrow [0, +\infty]$ est donnée par $[\mathcal{Z}W]_0(\xi) := \inf\{\mathcal{Z}W(\xi | \zeta) : \zeta \in \mathbb{R}^3\}$, et le théorème suit du théorème 3.15 en montrant que

$$(3.31) \quad \mathcal{Z}[\mathcal{Z}W]_0 = \mathcal{Z}W_0.$$

(Puisque $\mathcal{Z}W$ est finie, $\mathcal{Z}W_0$ l'est aussi par (3.31), donc $\mathcal{Q}W_0 = \mathcal{Z}W_0$ par le théorème 1.8-bis.)

Prouvons (3.31). Pour chaque $\xi \in \mathbb{M}^{3 \times 2}$, on a $\mathcal{Z}[\mathcal{Z}W]_0(\xi) \leq [\mathcal{Z}W]_0(\xi) \leq \mathcal{Z}W(\xi | \zeta) \leq W(\xi | \zeta)$ pour tout $\zeta \in \mathbb{R}^3$, donc $\mathcal{Z}[\mathcal{Z}W]_0(\xi) \leq W_0(\xi)$ pour tout $\xi \in \mathbb{M}^{3 \times 2}$, i.e., $\mathcal{Z}[\mathcal{Z}W]_0 \leq \mathcal{Z}W_0$. Il suit que $\mathcal{Z}[\mathcal{Z}W]_0 \leq \mathcal{Z}W_0$. D'autre part, étant donné $\varepsilon > 0$ et $\xi \in \mathbb{M}^{3 \times 2}$, il existe $\zeta \in \mathbb{R}^3$ et $\varphi \in \text{Aff}_0(Y; \mathbb{R}^3)$ (avec $Y :=]0, 1[$) tels que

$$[\mathcal{Z}W]_0(\xi) + \varepsilon \geq \int_Y W(\xi + \nabla\varphi_{x_3}(x) | \zeta + \partial_3\varphi(x, x_3))dx dx_3$$

avec $\varphi_{x_3} \in \text{Aff}_0(]0, 1[^2; \mathbb{R}^3)$ définie par $\varphi_{x_3}(x) := \varphi(x, x_3)$. Or

$$\begin{aligned} \int_Y W(\xi + \nabla\varphi_{x_3}(x) | \zeta + \partial_3\varphi(x, x_3))dx dx_3 &\geq \int_0^1 \int_{]0, 1[^2} W_0(\xi + \nabla\varphi_{x_3}(x))dx dx_3 \\ &\geq \int_0^1 \mathcal{Z}W_0(\xi)dx_3 = \mathcal{Z}W_0(\xi), \end{aligned}$$

donc $[\mathcal{Z}W]_0(\xi) + \varepsilon \geq \mathcal{Z}W_0(\xi)$, d'où $[\mathcal{Z}W]_0(\xi) \geq \mathcal{Z}W_0(\xi)$ en faisant $\varepsilon \rightarrow 0$. Il suit que $[\mathcal{Z}W]_0 \geq \mathcal{Z}W_0$ et par conséquent $\mathcal{Z}[\mathcal{Z}W]_0 \geq \mathcal{Z}W_0$. \square

Le théorème 3.16 est "meilleur" que le théorème 3.1 car on n'a besoin ni de la continuité de W , ni de l'hypothèse de "symétrie" (3.1), ni même de la condition (1.4). Cependant, on ne peut pas appliquer le théorème 3.15 pour traiter la contrainte déterminant strictement positif puisque lorsque W satisfait (1.1) et (2.44), les $W_\varepsilon = \frac{1}{\varepsilon}W$ ne sont pas p -amplés.

3.3. Contrainte déterminant strictement positif. Dans ce paragraphe on démontre la proposition 3.9 et l'égalité (3.10).

3.3.1. Préliminaires. Étant donné $\psi \in C_*^1(\overline{\Sigma}; \mathbb{R}^3)$ et $j \geq 1$, on définit $\Lambda_\psi^j : \overline{\Sigma} \rightrightarrows \mathbb{R}^3$ par

$$\Lambda_\psi^j(x) := \left\{ \zeta \in \mathbb{R}^3 : \det(\nabla\psi(x) | \zeta) \geq \frac{1}{j} \right\}.$$

On peut voir que :

$$(3.32) \quad \Lambda_\psi^1(x) \subset \Lambda_\psi^2(x) \subset \dots \subset \bigcup_{j \geq 1} \Lambda_\psi^j(x) = \{\zeta \in \mathbb{R}^3 : \det(\nabla\psi(x) | \zeta) > 0\};$$

$$(3.33) \quad \Lambda_\psi^j \text{ est une multifonction sci à valeurs convexes fermées non vides.}$$

(Ici, on ne peut pas prendre ψ dans $\text{Aff}_*(\Sigma; \mathbb{R}^3)$. En effet, on serait amené à considérer seulement $U_{i,j}^+$, ce qui ne permettrait pas de reproduire la démarche développée en §3.2.1.)

Preuve de (3.33). Il est facile de voir que pour chaque $x \in \overline{\Sigma}$, $\Lambda_\psi^j(x)$ est à valeurs convexes fermes non vides. Montrons que Λ_ψ^j est sci (voir la définition 5.7). Soient F un fermé de \mathbb{R}^3 , $x \in \overline{\Sigma}$ et $\{x_n\}_{n \geq 1} \subset \overline{\Sigma}$ tels que $x_n \rightarrow x$ et $\Lambda_\psi^j(x_n) \subset F$ pour tout $n \geq 1$. Soient $\zeta \in \Lambda_\psi^j(x)$ et $\{\zeta_m\}_{m \geq 1} \subset \mathbb{R}^3$ donnés par $\zeta_m := \zeta + \frac{1}{m}\zeta$. Alors

$$(3.34) \quad \det(\nabla\psi(x) \mid \zeta_m) = \det(\nabla\psi(x) \mid \zeta) + \frac{1}{m}\det(\nabla\psi(x) \mid \zeta) \geq \frac{1}{j} + \frac{1}{mj}$$

pour tout $m \geq 1$. Étant donné $m \geq 1$, puisque $\det(\nabla\psi(x_n) \mid \zeta_m) \rightarrow \det(\nabla\psi(x) \mid \zeta_m)$, utilisant (3.34) on voit qu'il existe $n_0 \geq 1$ tel que $\det(\nabla\psi(x_{n_0}) \mid \zeta_m) > \frac{1}{j}$, donc $\zeta_m \in \Lambda_\psi^j(x_{n_0})$. D'où $\zeta_m \in F$ pour tout $m \geq 1$. Comme F est fermé on a $\zeta = \lim_{m \rightarrow +\infty} \zeta_m \in F$. \square

Le lemme suivant est une conséquence du théorème 5.8. (Il se prouve de la même façon que le lemme 3.11.)

Lemme 3.17. *Soient $\psi \in C_*^1(\overline{\Sigma}; \mathbb{R}^3)$ et $j \geq 1$. Si W est continue et satisfait (2.44) alors*

$$(3.35) \quad \inf_{\varphi \in C(\overline{\Sigma}; \Lambda_\psi^j)} \int_{\Sigma} W(\nabla\psi(x) \mid \varphi(x)) dx = \int_{\Sigma} \inf_{\zeta \in \Lambda_\psi^j(x)} W(\nabla\psi(x) \mid \zeta) dx.$$

Démonstration. On récrit la preuve du lemme 3.17 en prenant $\Gamma_\psi^j = \Lambda_\psi^j$ (Λ_ψ^j est une multifonction sci à valeurs convexes fermées non vides), $\text{Det}(\xi \mid \zeta) = \det(\xi \mid \zeta)$ et en utilisant (2.44) à la place de (2.23). On peut ainsi appliquer le théorème 5.8 avec $f(x, \zeta) = W(\nabla\psi(x) \mid \zeta)$ et $\Gamma = \Lambda_\psi^j$ et on obtient (3.35). \square

Le théorème suivant donne une représentation “non intégrale” de \mathcal{I} sur $C_*^1(\overline{\Sigma}; \mathbb{R}^3)$ (voir [7, Theorem 3.4]). (Il se démontre de la même façon que le théorème 3.12.)

Théorème 3.18. *Si W est continue et vérifie (1.1) et (2.44) et si $\psi \in C_*^1(\overline{\Sigma}; \mathbb{R}^3)$ alors*

$$\mathcal{I}(\psi) = \inf_{j \geq 1} \inf_{\varphi \in C(\overline{\Sigma}; \Lambda_\psi^j)} \int_{\Sigma} W(\nabla\psi(x) \mid \varphi(x)) dx.$$

Démonstration. On récrit la preuve du théorème 3.12 en prenant $j_\psi = 1$, $\Gamma_\psi^j = \hat{\Gamma}_\psi^j = \Lambda_\psi^j$ (donc $\cup_{j \geq j_\psi} \hat{\Gamma}_\psi^j(\cdot) = \cup_{j \geq j_\psi} \Lambda_\psi^j(\cdot) = \{\zeta \in \mathbb{R}^3 : \det(\nabla\psi(\cdot) \mid \zeta) > 0\}$ dans (3.21)) et en utilisant le lemme 3.17 à la place du lemme 3.11, (2.44) à la place de (2.23), (3.32) à la place de (3.13)-(3.14) et (1.1) à la place de (1.4). \square

3.3.2. Démonstration de la proposition 3.9. On récrit la preuve de la proposition 3.8 en prenant $\text{Det}(\xi \mid \zeta) = \det(\xi \mid \zeta)$, $\mathcal{F} = C_*^1(\overline{\Sigma}; \mathbb{R}^3)$, $j_\psi = 1$, $\hat{\Gamma}_\psi^j = \Lambda_\psi^j$, $V = V_i = \overline{\Sigma}$ et en utilisant (2.44) à la place de (2.23). \square

3.3.3. *Preuve de (3.10).* On termine la démonstration du théorème 3.2 (voir §3.1.3) en utilisant le théorème suivant.

Théorème 3.19. *Si W_0 est continue (voir le lemme 3.4) et satisfait (3.4) alors (3.10) a lieu, i.e., $\bar{\mathcal{I}} = \bar{\mathcal{I}}_{\text{diff}_*}$.*

Démonstration. Soient $\bar{\mathcal{I}}_{\text{Aff}_{\text{li}}^{\text{reg}}}, \overline{\mathcal{R}\mathcal{I}}_{\text{Aff}_{\text{li}}^{\text{reg}}}, \overline{\mathcal{R}\mathcal{I}} : W^{1,p}(\Sigma; \mathbb{R}^3) \rightarrow [0, +\infty]$ définies par :

$$\begin{aligned} \diamond \bar{\mathcal{I}}_{\text{Aff}_{\text{li}}^{\text{reg}}}(\psi) &:= \inf \left\{ \liminf_{n \rightarrow +\infty} \int_{\Sigma} W_0(\nabla \psi_n(x)) dx : \text{Aff}_{\text{li}}^{\text{reg}}(\Sigma; \mathbb{R}^3) \ni \psi_n \rightharpoonup \psi \right\}; \\ \diamond \overline{\mathcal{R}\mathcal{I}}_{\text{Aff}_{\text{li}}^{\text{reg}}}(\psi) &:= \inf \left\{ \liminf_{n \rightarrow +\infty} \int_{\Sigma} \mathcal{R}W_0(\nabla \psi_n(x)) dx : \text{Aff}_{\text{li}}^{\text{reg}}(\Sigma; \mathbb{R}^3) \ni \psi_n \rightharpoonup \psi \right\}; \\ \diamond \overline{\mathcal{R}\mathcal{I}}(\psi) &:= \inf \left\{ \liminf_{n \rightarrow +\infty} \int_{\Sigma} \mathcal{R}W_0(\nabla \psi_n(x)) dx : W^{1,p}(\Sigma; \mathbb{R}^3) \ni \psi_n \rightharpoonup \psi \right\} \end{aligned}$$

avec $\text{Aff}_{\text{li}}^{\text{reg}}(\Sigma; \mathbb{R}^3)$ défini en §4.1.4 et $\mathcal{R}W_0$ désignant la rang-1 convexifié de W_0 (la plus grande fonction rang-1 convexe qui est inférieure à W_0). Il est clair que $\overline{\mathcal{R}\mathcal{I}}_{\text{Aff}_{\text{li}}^{\text{reg}}} \leq \bar{\mathcal{I}}_{\text{Aff}_{\text{li}}^{\text{reg}}}$. De plus, d'après Ben Belgacem (voir [15]) on a

Lemme 3.20. $\bar{\mathcal{I}}_{\text{Aff}_{\text{li}}^{\text{reg}}}(\psi) \leq \int_{\Sigma} \mathcal{R}W_0(\nabla \psi(x)) dx$ pour tout $\psi \in \text{Aff}_{\text{li}}^{\text{reg}}(\Sigma; \mathbb{R}^3)$.

(Pour une preuve du lemme 3.20 voir §3.3.4-3.3.5.) Donc $\bar{\mathcal{I}}_{\text{Aff}_{\text{li}}^{\text{reg}}} \leq \overline{\mathcal{R}\mathcal{I}}_{\text{Aff}_{\text{li}}^{\text{reg}}}$, d'où $\bar{\mathcal{I}}_{\text{Aff}_{\text{li}}^{\text{reg}}} = \overline{\mathcal{R}\mathcal{I}}_{\text{Aff}_{\text{li}}^{\text{reg}}}$. D'autre part, $\bar{\mathcal{I}} \leq \bar{\mathcal{I}}_{\text{diff}_*}$ et $\overline{\mathcal{R}\mathcal{I}} \leq \bar{\mathcal{I}}$. Donc, pour avoir (3.10) il suffit de prouver les deux inégalités suivantes :

$$(3.36) \quad \bar{\mathcal{I}}_{\text{diff}_*} \leq \bar{\mathcal{I}}_{\text{Aff}_{\text{li}}^{\text{reg}}};$$

$$(3.37) \quad \overline{\mathcal{R}\mathcal{I}}_{\text{Aff}_{\text{li}}^{\text{reg}}} \leq \overline{\mathcal{R}\mathcal{I}}.$$

Preuve de (3.36). Il suffit de prouver que

$$(3.38) \quad \bar{\mathcal{I}}_{\text{diff}_*}(\psi) \leq \int_{\Sigma} W_0(\nabla \psi(x)) dx$$

pour tout $\psi \in \text{Aff}_{\text{li}}^{\text{reg}}(\Sigma; \mathbb{R}^3)$. Soit $\psi \in \text{Aff}_{\text{li}}^{\text{reg}}(\Sigma; \mathbb{R}^3)$. Par le théorème 4.17 il existe $\{\psi_n\}_{n \geq 1} \subset C_*^1(\bar{\Sigma}; \mathbb{R}^3)$ tel que (4.15) et (4.16) sont satisfaites et $\nabla \psi_n(x) \rightarrow \nabla \psi(x)$ p.p. dans Σ . Comme W_0 est continue on a

$$\lim_{n \rightarrow +\infty} W_0(\nabla \psi_n(x)) = W_0(\nabla \psi(x)) \quad \text{p.p. dans } \Sigma.$$

Utilisant (3.4) et (4.16) on déduit qu'il existe $c > 0$ tel que pour chaque $n \geq 1$ et chaque ensemble mesurable $A \subset \Sigma$,

$$\int_A W_0(\nabla \psi_n(x)) dx \leq c \left(|A| + \int_A |\nabla \psi_n(x) - \nabla \psi(x)|^p dx + \int_A |\nabla \psi(x)|^p dx \right).$$

Or $\nabla \psi_n \rightarrow \nabla \psi$ dans $L^p(\Sigma; \mathbb{M}^{3 \times 2})$ par (4.15), donc $\{W_0(\nabla \psi_n(\cdot))\}_{n \geq 1}$ est uniformément absolument intégrable. Utilisant le théorème de Vitali on obtient

$$\lim_{n \rightarrow +\infty} \int_{\Sigma} W_0(\nabla \psi_n(x)) dx = \int_{\Sigma} W_0(\nabla \psi(x)) dx,$$

et (3.38) suit. \square

Preuve de (3.37). Il suffit de prouver que

$$(3.39) \quad \overline{\mathcal{R}\mathcal{I}}_{\text{Aff}_{\text{li}}^{\text{reg}}}(\psi) \leq \int_{\Sigma} \mathcal{R}W_0(\nabla \psi(x)) dx$$

pour tout $\psi \in W^{1,p}(\Sigma; \mathbb{R}^3)$. Soit $\psi \in W^{1,p}(\Sigma; \mathbb{R}^3)$. Par le théorème 4.3 il existe $\{\psi_n\}_{n \geq 1} \subset \text{Aff}_{\text{li}}^{\text{reg}}(\Sigma; \mathbb{R}^3)$ tel que $\nabla \psi_n \rightarrow \nabla \psi$ dans $L^p(\Sigma; \mathbb{R}^3)$ et $\nabla \psi_n(x) \rightarrow \nabla \psi(x)$ p.p. dans Σ . Or, d'après Ben Belgacem (voir [15, 17]) on a

Lemme 3.21. *Si W_0 satisfait (3.4) alors :*

- ◊ $\mathcal{R}W_0(\xi) \leq c(1 + |\xi|^p)$ pour tout $\xi \in \mathbb{M}^{3 \times 2}$ avec $c > 0$;
- ◊ $\mathcal{R}W_0$ est continue.

(Pour une preuve du lemme 3.21 voir §3.3.7). D'où, utilisant le théorème de Vitali, on déduit que

$$\lim_{n \rightarrow +\infty} \int_{\Sigma} \mathcal{R}W_0(\nabla \psi_n(x)) dx = \int_{\Sigma} \mathcal{R}W_0(\nabla \psi(x)) dx,$$

et (3.39) suit. □

Ce qui termine la démonstration du théorème 3.19. □

3.3.4. Préliminaires pour la démonstration du lemme 3.20. (Pour la démonstration du lemme 3.20 voir §4.3.5.) Soit la suite $\{\mathcal{R}_i W_0\}_{i \geq 0}$ par $\mathcal{R}_0 W_0 = W_0$ et pour tout $i \geq 1$, $\mathcal{R}_{i+1} W_0$ est définie par (2.2) (avec $W = W_0$, $m = 3$ et $N = 2$). Rappelons que W_0 est continue et coercive (voir le lemme 3.4) et d'après Kohn et Strang (voir [35]) on a

$$(3.40) \quad \mathcal{R}_{i+1} W_0 \leq \mathcal{R}_i W_0 \text{ pour tout } i \geq 0 \text{ et } \mathcal{R}W_0 = \inf_{i \geq 0} \mathcal{R}_i W_0.$$

Soient $i \geq 0$ et $\psi \in \text{Aff}_{\text{li}}^{\text{reg}}(\Sigma; \mathbb{R}^3)$ (pour la définition de $\text{Aff}_{\text{li}}^{\text{reg}}(\Sigma; \mathbb{R}^3)$ voir §4.1.4). Alors, il existe une famille finie de sous-ensembles ouverts et disjoints de Σ telle que $|\Sigma \setminus \cup_{j \in J} V_j| = 0$ et pour chaque $j \in J$, $|\partial V_j| = 0$ et $\nabla \psi(x) = \xi_j$ dans V_j avec $\xi_j \in \mathbb{M}^{3 \times 2}$. (Comme ψ est localement injective on a $\text{rang}(\xi_j) = 2$ pour tout $j \in J$.) Soit $j \in J$. On peut montrer que :

$$(3.41) \quad \mathcal{R}_i W_0 \text{ est continue ;}$$

$$(3.42) \quad \mathcal{R}_{i+1} W_0(\xi_j) = (1-t)\mathcal{R}_i W_0(\xi_j - ta \otimes b) + t\mathcal{R}_i W_0(\xi_j + (1-t)a \otimes b)$$

avec $a \in \mathbb{R}^2$, $b \in \mathbb{R}^3$ et $t \in [0, 1]$

avec $a \otimes b \in \mathbb{R}^2 \otimes \mathbb{R}^3 \subset \mathbb{M}^{3 \times 2}$ donné par $(a \otimes b)x := \langle a, x \rangle b$ pour tout $x \in \mathbb{R}^2$, où $\langle \cdot, \cdot \rangle$ désigne le produit scalaire dans \mathbb{R}^2 . (Pour une preuve de (3.41) et (3.42) voir §3.3.6.)

Sans perdre de généralité on peut supposer que $a = (1, 0)$. Pour chaque $n \geq 1$ et chaque $k \in \{0, \dots, n-1\}$, considérons $A_{k,n}^-, A_{k,n}^+, B_{k,n}^-, B_{k,n}^+, C_{k,n}^-, C_{k,n}^+$, $C_{k,n}^+ \subset Y$ (voir la figure 3) donnés par :

$$\begin{aligned} A_{k,n}^- &:= \{(x_1, x_2) \in Y : \frac{k}{n} \leq x_1 \leq \frac{k}{n} + \frac{1-t}{n} \text{ et } \frac{1}{n} \leq x_2 \leq 1 - \frac{1}{n}\}; \\ A_{k,n}^+ &:= \{(x_1, x_2) \in Y : \frac{k}{n} + \frac{1-t}{n} \leq x_1 \leq \frac{k+1}{n} \text{ et } \frac{1}{n} \leq x_2 \leq 1 - \frac{1}{n}\}; \\ B_{k,n}^- &:= \{(x_1, x_2) \in Y : \frac{k}{n} \leq x_1 \leq \frac{k+1}{n} \text{ et } 0 \leq x_2 \leq -x_1 + \frac{k+1}{n}\}; \\ B_{k,n}^+ &:= \{(x_1, x_2) \in Y : -x_2 + \frac{k+1}{n} \leq x_1 \leq -tx_2 + \frac{k+1}{n} \text{ et } 0 \leq x_2 \leq \frac{1}{n}\}; \\ B_{k,n}^- &:= \{(x_1, x_2) \in Y : -tx_2 + \frac{k+1}{n} \leq x_1 \leq \frac{k+1}{n} \text{ et } 0 \leq x_2 \leq \frac{1}{n}\}; \\ C_{k,n}^- &:= \{(x_1, x_2) \in Y : \frac{k}{n} \leq x_1 \leq \frac{k+1}{n} \text{ et } x_1 + 1 - \frac{k+1}{n} \leq x_2 \leq 1\}; \\ C_{k,n}^+ &:= \{(x_1, x_2) \in Y : x_2 - 1 + \frac{k+1}{n} \leq x_1 \leq t(x_2 - 1) + \frac{k+1}{n} \text{ et } \frac{n-1}{n} \leq x_2 \leq 1\}; \\ C_{k,n}^- &:= \{(x_1, x_2) \in Y : t(x_2 - 1) + \frac{k+1}{n} \leq x_1 \leq \frac{k+1}{n} \text{ et } \frac{n-1}{n} \leq x_2 \leq 1\} \end{aligned}$$

et définissons $\{\sigma_n\}_{n \geq 1} \subset \text{Aff}_0^{\text{reg}}(Y; \mathbb{R})$ par

$$\sigma_n(x_1, x_2) := \begin{cases} -t(x_1 - \frac{k}{n}) & \text{si } (x_1, x_2) \in A_{k,n}^- \\ (1-t)(x_1 - \frac{k+1}{n}) & \text{si } (x_1, x_2) \in A_{k,n}^+ \cup B_{k,n}^+ \cup C_{k,n}^+ \\ -t(x_1 + x_2 - \frac{k+1}{n}) & \text{si } (x_1, x_2) \in B_{k,n}^- \\ -t(x_1 - x_2 + 1 - \frac{k+1}{n}) & \text{si } (x_1, x_2) \in C_{k,n}^- \\ 0 & \text{si } (x_1, x_2) \in B_{k,n} \cup C_{k,n}. \end{cases}$$

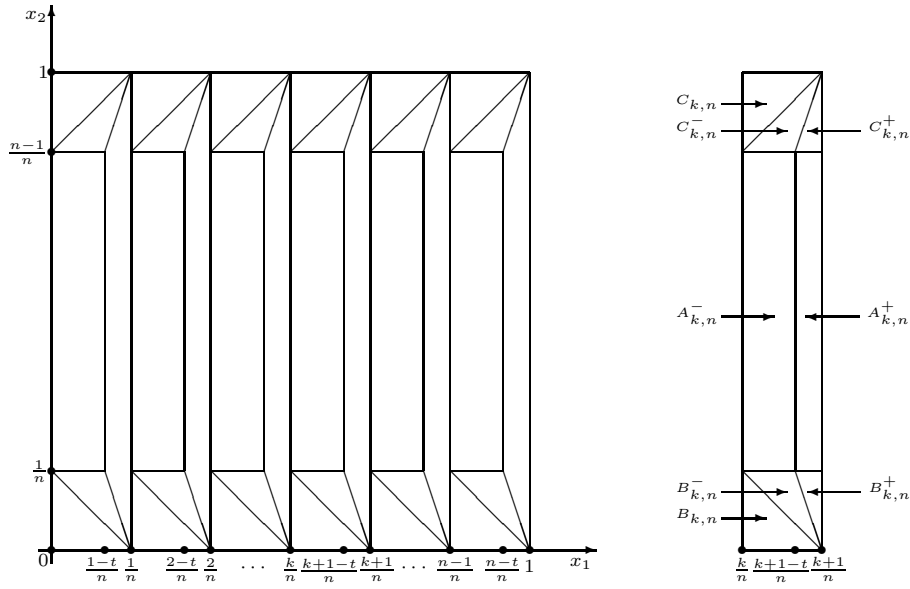


FIGURE 3. Les ensembles $\Delta_1^s, \Delta_2^s, \Delta_3^s, \Delta_4^s, \Delta_5^s, \Delta_6^s, \Delta_7^s, \Delta_8^s$.

Posons

$$b_l := \begin{cases} b & \text{si } b \notin \text{Im} \xi_j \\ b + \frac{1}{l} \nu & \text{si } b \in \text{Im} \xi_j \end{cases}$$

(avec $\text{Im} \xi_j := \{\xi_j \cdot x : x \in \mathbb{R}^2\} \subset \mathbb{R}^3$) où $l \geq 1$ et $\nu \in \mathbb{R}^3$ est orthogonal à $\text{Im} \xi_j$ et définissons $\{\theta_{n,l}\}_{n,l \geq 1} \subset \text{Aff}_0^{\text{reg}}(Y; \mathbb{R}^3)$ définie par

$$\theta_{n,l}(x) := \sigma_n(x) b_l.$$

Alors

$$(3.43) \quad \lim_{l \rightarrow +\infty} \lim_{n \rightarrow +\infty} \int_Y \mathcal{R}_i W_0(\xi_j + \nabla \theta_{n,l}(x)) dx = \mathcal{R}_{i+1} W_0(\xi_j).$$

preuve de (3.43). Il est facile de voir que

$$\xi_j + \nabla\theta_{n,l}(x) := \begin{cases} \xi_j - ta \otimes b_l & \text{si } x \in \text{int}(A_{k,n}^-) \\ \xi_j + (1-t)a \otimes b_l & \text{si } x \in \text{int}(A_{k,n}^+ \cup B_{k,n}^+ \cup C_{k,n}^+) \\ \xi_j - t(a + a^\perp) \otimes b_l & \text{si } x \in \text{int}(B_{k,n}^-) \\ \xi_j - t(a - a^\perp) \otimes b_l & \text{si } x \in \text{int}(C_{k,n}^-) \\ \xi_j & \text{si } x \in \text{int}(B_{k,n}) \cup \text{int}(C_{k,n}) \end{cases}$$

avec $a^\perp = (0, 1)$ (et $\text{int}(E)$ désigne l'intérieur de l'ensemble E). De plus, on a :

$$\begin{aligned} \int_{\cup_{k=0}^{n-1} A_{k,n}^-} \mathcal{R}_i W_0(\xi_j - ta \otimes b_l) dx &= (1-t)(1 - \frac{2}{n}) \mathcal{R}_i W_0(\xi_j - ta \otimes b_l) ; \\ \int_{\cup_{k=0}^{n-1} A_{k,n}^+} \mathcal{R}_i W_0(\xi_j + (1-t)a \otimes b_l) dx &= t(1 - \frac{2}{n}) \mathcal{R}_i W_0(\xi_j + (1-t)a \otimes b_l) ; \\ \int_{\cup_{k=0}^{n-1} (B_{k,n}^+ \cup C_{k,n}^+)} \mathcal{R}_i W_0(\xi_j + (1-t)a \otimes b_l) dx &= \frac{t}{n} \mathcal{R}_i W_0(\xi_j + (1-t)a \otimes b_l) ; \\ \int_{\cup_{k=0}^{n-1} B_{k,n}^-} \mathcal{R}_i W_0(\xi_j - t(a + a^\perp) \otimes b_l) dx &= \frac{1-t}{2n} \mathcal{R}_i W_0(\xi_j - t(a + a^\perp) \otimes b_l) ; \\ \int_{\cup_{k=0}^{n-1} C_{k,n}^-} \mathcal{R}_i W_0(\xi_j - t(a - a^\perp) \otimes b_l) dx &= \frac{1-t}{2n} \mathcal{R}_i W_0(\xi_j - t(a - a^\perp) \otimes b_l) ; \\ \int_{\cup_{k=0}^{n-1} (B_{k,n} \cup C_{k,n})} \mathcal{R}_i W_0(\xi_j) dx &= \frac{1}{n} \mathcal{R}_i W_0(\xi_j). \end{aligned}$$

Donc

$$\begin{aligned} \int_Y \mathcal{R}_i W_0(\xi_j + \nabla\theta_{n,l}(x)) dx &= \left(1 - \frac{2}{n}\right) \left[(1-t) \mathcal{R}_i W_0(\xi_j - ta \otimes b_l) + t \mathcal{R}_i W_0(\xi_j \right. \\ &\quad \left. + (1-t)a \otimes b_l) \right] + \frac{1}{n} \left[t \mathcal{R}_i W_0(\xi_j + (1-t)a \otimes b_l) \right. \\ &\quad \left. + \frac{1-t}{2} (\mathcal{R}_i W_0(\xi_j - t(a + a^\perp) \otimes b_l) + \mathcal{R}_i W_0(\xi_j - \right. \\ &\quad \left. t(a - a^\perp) \otimes b_l)) + \mathcal{R}_i W_0(\xi_j) \right] \end{aligned}$$

pour tout $n, l \geq 1$. Il suit que pour chaque $l \geq 1$ on a

$$\begin{aligned} \lim_{n \rightarrow +\infty} \int_Y \mathcal{R}_i W_0(\xi_j + \nabla\theta_{n,l}(x)) dx &= (1-t) \mathcal{R}_i W_0(\xi_j - ta \otimes b_l) \\ &\quad + t \mathcal{R}_i W_0(\xi_j + (1-t)a \otimes b_l). \end{aligned}$$

Rappelant que $\mathcal{R}_i W_0$ est continue (voir (3.41)) et notant que $b_l \rightarrow b$ on obtient

$$\begin{aligned} \lim_{l \rightarrow +\infty} \lim_{n \rightarrow +\infty} \int_Y \mathcal{R}_i W_0(\xi_j + \nabla\theta_{n,l}(x)) dx &= (1-t) \mathcal{R}_i W_0(\xi_j - ta \otimes b) \\ &\quad + t \mathcal{R}_i W_0(\xi_j + (1-t)a \otimes b), \end{aligned}$$

et (3.43) suit de (3.42). \square

Considérons $V_q^j \subset V_j$ donné par $V_q^j := \{x \in V_j : \text{dist}(x, \partial V_j) > \frac{1}{q}\}$ avec $q \geq 1$ assez grand. Alors, il existe une famille finie $\{r_m + \rho_m Y\}_{m \in M}$ de sous-ensembles disjoints de V_q^j , où $r_m \in \mathbb{R}^2$ et $\rho_m \in]0, 1[$, telle que $|V_q^j \setminus \cup_{m \in M} (r_m + \rho_m Y)| \leq \frac{1}{q}$.

Définissons $\{\phi_{n,l,q}\}_{n,l,q \geq 1} \subset \text{Aff}_0^{\text{reg}}(V_j; \mathbb{R}^3)$ par

$$\phi_{n,l,q}(x) := \begin{cases} \rho_m \theta_{n,l} \left(\frac{x - r_m}{\rho_m} \right) & \text{si } x \in r_m + \rho_m Y \subset V_q^j \\ 0 & \text{si } x \in V_j \setminus V_q^j \end{cases}$$

et posons

$$(3.44) \quad \Phi_{n,l,q}^j(x) := \psi(x) + \phi_{n,l,q}(x).$$

Alors $\{\Phi_{n,l,q}^j\}_{n,l,q \geq 1} \subset \text{Aff}^{\text{reg}}(V_j; \mathbb{R}^3)$ et :

(3.45) pour chaque $n, l, q \geq 1$, $\Phi_{n,l,q}^j$ est localement injective ;

(3.46) pour chaque $l, q \geq 1$, $\Phi_{n,l,q}^j \rightharpoonup \psi$ dans $W^{1,p}(V_j; \mathbb{R}^3)$;

$$(3.47) \quad \lim_{q \rightarrow +\infty} \lim_{l \rightarrow +\infty} \lim_{n \rightarrow +\infty} \int_{V_j} \mathcal{R}_i W_0(\nabla \Phi_{n,l,q}^j(x)) dx = |V_j| \mathcal{R}_{i+1} W_0(\xi_j).$$

Preuve de (3.45). Soient $x \in V_j$ et $W \subset V_j$ une composante connexe de V_j contenant x (Comme V_j est ouvert, W l'est aussi). Puisque $\nabla \psi = \xi_j$ dans W , il existe $c \in \mathbb{R}^3$ tel que $\psi(x') = \xi_j \cdot x' + c$ pour tout $x' \in W$. On affirme que $\Phi_{n,l,q}^j|_W$ est injective. En effet, soit $x' \in W$ tel que $\Phi_{n,l,q}^j(x) = \Phi_{n,l,q}^j(x')$. Alors, l'une des trois possibilités suivantes a lieu :

$$(3.48) \quad \begin{cases} \Phi_{n,l,q}^j(x) = \xi_j \cdot x + c + \rho_m \sigma_n \left(\frac{x - r_m}{\rho_m} \right) b_l \\ \Phi_{n,l,q}^j(x') = \xi_j \cdot x' + c + \rho_{m'} \sigma_n \left(\frac{x' - r_{m'}}{\rho_{m'}} \right) b_l ; \end{cases}$$

$$(3.49) \quad \begin{cases} \Phi_{n,l,q}^j(x) = \xi_j \cdot x + c + \rho_m \sigma_n \left(\frac{x - r_m}{\rho_m} \right) b_l \\ \Phi_{n,l,q}^j(x') = \xi_j \cdot x' + c ; \end{cases}$$

$$(3.50) \quad \begin{cases} \Phi_{n,l,q}^j(x) = \xi_j \cdot x + c \\ \Phi_{n,l,q}^j(x') = \xi_j \cdot x' + c. \end{cases}$$

Posons $\alpha := \rho_m \sigma_n \left(\frac{x - r_m}{\rho_m} \right) - \rho_{m'} \sigma_n \left(\frac{x' - r_{m'}}{\rho_{m'}} \right)$ et $\beta := \rho_m \sigma_n \left(\frac{x - r_m}{\rho_m} \right)$. On a alors :

- ◇ $\begin{cases} \xi_j(x' - x) = 0 & \text{si } \alpha = 0 \\ b_l = \frac{1}{\alpha} \xi_j(x' - x) & \text{si } \alpha \neq 0 \end{cases}$ lorsque (3.48) a lieu ;
- ◇ $\begin{cases} \xi_j(x' - x) = 0 & \text{si } \beta = 0 \\ b_l = \frac{1}{\beta} \xi_j(x' - x) & \text{si } \beta \neq 0 \end{cases}$ lorsque (3.49) a lieu ;
- ◇ $\xi_j(x' - x) = 0$ lorsque (3.50) a lieu.

Il suit que si $x \neq x'$ alors $\text{rank}(\xi_j) < 2$ ou $b_l \in \text{Im} \xi_j$ ce qui est impossible. Donc $x = x'$. \square

Preuve de (3.46). Étant donné $l, q \geq 1$, on a $\|\phi_{n,l,q}\|_{L^\infty(V_j; \mathbb{R}^3)} \leq \|\theta_{n,l}\|_{L^\infty(Y; \mathbb{R}^3)} = |b_l| \|\sigma_n\|_{L^\infty(Y; \mathbb{R})}$. D'autre part, pour chaque $k \in \{0, \dots, n-1\}$, il est clair que $|\sigma_n(x)| \leq \frac{t(1-t)}{n}$ pour tout $x \in]\frac{k}{n}, \frac{k+1}{n}[\times]0, 1[$, donc $\sigma_n \rightarrow 0$ dans $L^\infty(Y; \mathbb{R})$, et le résultat suit. donc $\phi_{n,l,q} \rightarrow 0$ dans $L^\infty(V_j; \mathbb{R}^3)$, et le résultat suit. \square

Preuve de (3.47). Rappelant que $\phi_{n,l,q} = 0$ dans $V_j \setminus \hat{V}_q^j$ et $\sum_{m \in M} \rho_m^2 = |\hat{V}_q^j|$ on voit que

$$\begin{aligned} \int_{V_j} \mathcal{R}_i W_0(\nabla \Phi_{n,l,q}^j(x)) dx &= \int_{V_j} \mathcal{R}_i W_0(\xi_j + \nabla \phi_{n,l,q}(x)) dx \\ &= \int_{\hat{V}_q^j} \mathcal{R}_i W_0(\xi_j + \nabla \phi_{n,l,q}(x)) dx + |V_j \setminus \hat{V}_q^j| \mathcal{R}_i W_0(\xi_j) \\ &= |\hat{V}_q^j| \int_Y \mathcal{R}_i W_0(\xi_j + \nabla \theta_{n,l}(x)) dx + |V_j \setminus \hat{V}_q^j| \mathcal{R}_i W_0(\xi_j). \end{aligned}$$

Utilisant (3.43) on déduit que

$$\lim_{l \rightarrow +\infty} \lim_{n \rightarrow +\infty} \int_{V_j} \mathcal{R}_i W_0(\nabla \Phi_{n,l,q}^j(x)) dx = |\hat{V}_q^j| \mathcal{R}_{i+1} W_0(\xi_j) + |V_j \setminus \hat{V}_q^j| \mathcal{R}_i W_0(\xi_j)$$

pour tout $q \geq 1$, et (3.47) suit puisque $|\hat{V}_q^j| = |V_q^j| - |V_q^j \setminus \hat{V}_q^j| \rightarrow |V_j|$ (car $|V_q^j| \rightarrow |V_j|$ et $\frac{1}{q} \geq |V_q^j \setminus \hat{V}_q^j| \rightarrow 0$) et $|V_j \setminus \hat{V}_q^j| = |V_j \setminus V_q^j| + |V_q^j \setminus \hat{V}_q^j| \rightarrow 0$ (car $|V_j \setminus V_q^j| \rightarrow 0$). \square

3.3.5. *Démonstration du lemme 3.20.* Prenant en compte (3.40) on voit qu'il est suffisant de prouver que

$$(P_i) \quad \bar{\mathcal{I}}_{\text{Aff}_{\text{li}}^{\text{reg}}}(\psi) \leq \int_{\Sigma} \mathcal{R}_i W_0(\nabla \psi(x)) dx \text{ pour tout } \psi \in \text{Aff}_{\text{li}}^{\text{reg}}(\Sigma; \mathbb{R}^3)$$

pour tout $i \geq 0$. Pour cela, on raisonne par récurrence sur i . Comme $R_0 W_0 = W_0$ on a (P_0) . Supposons (P_i) et montrons (P_{i+1}) . Soit $\psi \in \text{Aff}_{\text{li}}^{\text{reg}}(\Sigma; \mathbb{R}^3)$. Alors, il existe une famille finie $\{V_j\}_{j \in J}$ de sous-ensemble ouverts et disjoints de Σ telle que $|\Sigma \setminus \cup_{j \in J} V_j| = 0$ et pour chaque $j \in J$, $|\partial V_j| = 0$ et $\nabla \psi(x) = \xi_j$ dans V_j avec $\xi_j \in \mathbb{M}^{3 \times 2}$. Définissons $\{\Psi_{n,l,q}\}_{n,l,q \geq 1} \subset \text{Aff}^{\text{reg}}(\Sigma; \mathbb{R}^3)$ par

$$\Psi_{n,l,q}(x) := \Phi_{n,l,q}^j(x) \text{ si } x \in V_j$$

avec $\Phi_{n,l,q}^j$ donnée par (3.44). Utilisant (3.45) (et rappelant que ψ est localement injective) il est facile de voir que $\Psi_{n,l,q}$ est localement injective. Par (P_i) on a

$$\bar{\mathcal{I}}_{\text{Aff}_{\text{li}}^{\text{reg}}}(\Psi_{n,l,q}) \leq \int_{\Sigma} \mathcal{R}_i W_0(\nabla \Psi_{n,l,q}(x)) dx$$

pour tout $n, l, q \geq 1$. Utilisant (3.46) on voit que pour chaque $l, q \geq 1$, $\Psi_{n,l,q} \rightarrow \psi$ dans $W^{1,p}(\Sigma; \mathbb{R}^3)$. Il suit que

$$\bar{\mathcal{I}}_{\text{Aff}_{\text{li}}^{\text{reg}}}(\psi) \leq \lim_{n \rightarrow +\infty} \bar{\mathcal{I}}_{\text{Aff}_{\text{li}}^{\text{reg}}}(\Psi_{n,l,q}) \leq \lim_{n \rightarrow +\infty} \int_{\Sigma} \mathcal{R}_i W_0(\nabla \Psi_{n,l,q}(x)) dx$$

pour tout $l, q \geq 1$. De plus, par (3.47) on a

$$\lim_{q \rightarrow +\infty} \lim_{l \rightarrow +\infty} \lim_{n \rightarrow +\infty} \int_{\Sigma} \mathcal{R}_i W_0(\nabla \Psi_{n,l,q}(x)) dx = \int_{\Sigma} \mathcal{R}_{i+1} W_0(\nabla \psi(x)) dx,$$

d'où

$$\bar{\mathcal{I}}_{\text{Aff}_{\text{li}}^{\text{reg}}}(\psi) \leq \int_{\Sigma} \mathcal{R}_{i+1} W_0(\nabla \psi(x)) dx,$$

et (P_{i+1}) suit. \square

3.3.6. *Preuve de (3.41) et (3.42).* On commence par prouver le lemme suivant.

Lemme 3.22. $\mathbb{R}^2 \otimes \mathbb{R}^3$ est un fermé de $\mathbb{M}^{3 \times 2}$.

Démonstration. Soient $\{a_n \otimes b_n\}_{n \geq 1} \subset \mathbb{R}^2 \otimes \mathbb{R}^3$ et $\xi \in \mathbb{M}^{3 \times 2}$ tels que $a_n \otimes b_n \rightarrow \xi$. Pour chaque $n \geq 1$, $a_n \otimes b_n = u_n \otimes v_n$ avec $u_n = \frac{a_n}{|a_n|} \in \mathbb{S}^1$ et $v_n = |a_n|b_n$, où \mathbb{S}^1 est la sphère unité dans \mathbb{R}^2 . Comme \mathbb{S}^1 est compact, il existe $u \in \mathbb{S}^1$ tel que $u_n \rightarrow u$ (à une sous-suite près). Soit $u_0 \in \mathbb{R}^2$ tel que $\langle u, u_0 \rangle \neq 0$, alors $\langle u_n, u_0 \rangle \neq 0$ pour $n \geq n_0$ avec $n_0 \geq 1$ assez grand. Pour chaque $n \geq n_0$, $v_n = \frac{1}{\langle u_n, u_0 \rangle} (u_n \otimes v_n) u_0$, donc $v_n \rightarrow \frac{1}{\langle u, u_0 \rangle} \xi u_0 =: v \in \mathbb{R}^3$. Il suit que $a_n \otimes b_n \rightarrow u \otimes v$, d'où $\xi = u \otimes v$. \square

Soit $\mathcal{H} : \mathbb{M}^{3 \times 2} \rightarrow [0, +\infty]$ définie par

$$\mathcal{H}(\xi) := \inf \left\{ H(\xi, t, a \otimes b) : (t, a \otimes b) \in [0, 1] \times \mathbb{R}^2 \otimes \mathbb{R}^3 \right\},$$

où $H : \mathbb{M}^{3 \times 2} \times [0, 1] \times \mathbb{R}^2 \otimes \mathbb{R}^3 \rightarrow [0, +\infty]$ est donnée par

$$H(\xi, t, a \otimes b) := (1-t)h(\xi - ta \otimes b) + th(\xi + (1-t)a \otimes b)$$

avec $h : \mathbb{M}^{3 \times 2} \rightarrow [0, +\infty]$ continue et coercive (la fonction H est donc continue). (Noter que si $h = \mathcal{R}_q W_0$ avec $q \geq 0$ alors $\mathcal{H} = \mathcal{R}_{q+1} W_0$.) Pour prouver (3.41) et (3.42) on aura besoin des deux lemmes suivants (voir les lemmes 3.23 et 3.24).

Lemme 3.23. Soit $\xi \in \mathbb{M}^{3 \times 2}$ tel que $\mathcal{H}(\xi) < +\infty$. Alors, il existe $(t, a \otimes b) \in [0, 1] \times \mathbb{R}^2 \otimes \mathbb{R}^3$ tel que $\mathcal{H}(\xi) = H(\xi, t, a \otimes b)$.

Démonstration. Soit $\{(t_n, a_n \otimes b_n)\}_{n \geq 1} \subset [0, 1] \times \mathbb{R}^2 \otimes \mathbb{R}^3$ une suite minimisante pour $\mathcal{H}(\xi)$ telle que $t_n \rightarrow t \in [0, 1]$. Posons $F_n := \xi - t_n a_n \otimes b_n$ et $G_n := \xi + (1-t_n) a_n \otimes b_n$ (alors $(1-t_n)F_n + t_n G_n = \xi$ et $G_n - F_n = a_n \otimes b_n$ pour tout $n \geq 1$). Par la coercivité de h on a

$$(3.51) \quad (1-t_n)|F_n|^p + t_n|G_n|^p \leq c \text{ pour tout } n \geq 1 \text{ avec } c > 0.$$

L'une des deux possibilités suivantes a lieu :

- ◊ $t \in]0, 1[$;
- ◊ $t = 0$ ou $t = 1$.

Cas $t \in]0, 1[$. On a $1-t_n \geq \alpha_1 > 0$ et $t_n \geq \alpha_2 > 0$ pour tout $n \geq 1$. Utilisant (3.51) on déduit qu'il existe $F, G \in \mathbb{M}^{3 \times 2}$ tels que $F_n \rightarrow F$ et $G_n \rightarrow G$ (à une sous-suite près). Par conséquent, $G_n - F_n = a_n \otimes b_n \rightarrow G - F$. Or $\mathbb{R}^2 \otimes \mathbb{R}^3$ est un fermé de $\mathbb{M}^{3 \times 2}$ d'après le lemme 3.22, donc $G - F = a \otimes b$ avec $a \in \mathbb{R}^2$ et $b \in \mathbb{R}^3$. Comme $H(\xi, \cdot, \cdot)$ est continue, il suit que $\mathcal{H}(\xi) = \lim_{n \rightarrow +\infty} H(\xi, t_n, a_n \otimes b_n) = H(\xi, t, a \otimes b)$.

Cas $t = 0$ ou $t = 1$. Supposons que $t = 0$ (le cas $t = 1$ se traite de la même façon). On a alors $1-t_n \geq \alpha > 0$ pour tout $n \geq 1$. Utilisant (3.51) on déduit que $F_n \rightarrow F$ avec $F \in \mathbb{M}^{3 \times 2}$ et $t_n G_n \rightarrow 0$ (car $p > 1$ et $t_n \rightarrow 0$). Comme $(1-t_n)F_n + t_n G_n = \xi$ pour tout $n \geq 1$, il suit que $F = \xi$, d'où $\lim_{n \rightarrow +\infty} (1-t_n)h(F_n) = h(\xi)$ puisque h est continue. Or $t_n h(G_n) = H(\xi, t_n, a_n \otimes b_n) - (1-t_n)h(F_n)$ pour tout $n \geq 1$, donc $\lim_{n \rightarrow +\infty} t_n h(G_n) = \mathcal{H}(\xi) - h(\xi) \leq 0$ (car $\mathcal{H}(\xi) \leq h(\xi)$). D'autre part, utilisant la coercivité de h , on voit que $t_n h(G_n) \geq C t_n |G_n|^p$ pour tout $n \geq 1$ avec $C > 0$, donc $\lim_{n \rightarrow +\infty} t_n h(G_n) \geq C \lim_{n \rightarrow +\infty} t_n |G_n|^p = 0$. Ainsi, $\lim_{n \rightarrow +\infty} t_n h(G_n) = 0$ et par conséquent $\mathcal{H}(\xi) = h(\xi) = H(\xi, 0, a \otimes b)$ où $a \otimes b$ est un élément quelconque de $\mathbb{R}^2 \otimes \mathbb{R}^3$. \square

Lemme 3.24. La fonction \mathcal{H} est continue et coercive.

Démonstration. Puisque $H(\cdot, t, a \otimes b)$ est continue pour tout $(t, a \otimes b) \in [0, 1] \times \mathbb{R}^2 \otimes \mathbb{R}^3$, \mathcal{H} est semi-continue supérieurement. Donc, pour montrer que \mathcal{H} est continue, il suffit de prouver que \mathcal{H} est sci. Pour cela, considérons $\xi \in \mathbb{M}^{3 \times 2}$ et $\{\xi_n\}_{n \geq 1} \subset \mathbb{M}^{3 \times 2}$ tels que $\xi_n \rightarrow \xi$, $\sup_{n \geq 1} \mathcal{H}(\xi_n) < +\infty$ et $\lim_{n \rightarrow +\infty} \mathcal{H}(\xi_n) = \liminf_{n \rightarrow +\infty} \mathcal{H}(\xi_n)$ et montrons que $\mathcal{H}(\xi) \leq \lim_{n \rightarrow +\infty} \mathcal{H}(\xi_n)$. Par le lemme 3.23, pour chaque $n \geq 1$, il existe $(t_n, a_n \otimes b_n) \in [0, 1] \times \mathbb{R}^2 \otimes \mathbb{R}^3$ tel que $\mathcal{H}(\xi_n) = H(\xi_n, t_n, a_n \otimes b_n)$. Sans perdre de généralité on peut supposer que $t_n \rightarrow t \in [0, 1]$. De la coercivité de h on déduit que (3.51) a lieu avec $F_n := \xi_n - t_n a_n \otimes b_n$ et $G_n := \xi_n + (1 - t_n) a_n \otimes b_n$. Comme dans la preuve du lemme 3.23, on distingue deux cas.

Cas $t \in]0, 1[$. En utilisant les mêmes arguments que dans la preuve du lemme 3.23, on obtient $G_n - F_n = a_n \otimes b_n \rightarrow a \otimes b$ avec $a \in \mathbb{R}^2$ et $b \in \mathbb{R}^3$, d'où, comme H est continue, $\lim_{n \rightarrow +\infty} \mathcal{H}(\xi_n) = \lim_{n \rightarrow +\infty} H(\xi_n, t_n, a_n \otimes b_n) = H(\xi, t, a \otimes b) \geq \mathcal{H}(\xi)$.

Cas $t = 0$ ou $t = 1$. Supposons que $t = 1$ (le cas $t = 0$ se traite de la même façon). On a alors $t_n \geq \beta > 0$ pour tout $n \geq 1$. Par (3.51) on a $G_n \rightarrow G$ avec $G \in \mathbb{M}^{3 \times 2}$ et $(1 - t_n)F_n \rightarrow 0$ (car $p > 1$ et $t_n \rightarrow 1$). Comme $(1 - t_n)F_n + t_n G_n = \xi_n$ pour tout $n \geq 1$, il suit que $G = \lim_{n \rightarrow +\infty} (1 - t_n)F_n + t_n G_n = \lim_{n \rightarrow +\infty} \xi_n = \xi$, d'où $\lim_{n \rightarrow +\infty} t_n h(G_n) = h(\xi)$ puisque h est continue. Or $(1 - t_n)h(F_n) = H(\xi_n, t_n, a_n \otimes b_n) - t_n h(G_n)$ pour tout $n \geq 1$, donc $\lim_{n \rightarrow +\infty} (1 - t_n)h(F_n) = \lim_{n \rightarrow +\infty} \mathcal{H}(\xi_n) - h(\xi) \leq 0$ (car $\lim_{n \rightarrow +\infty} \mathcal{H}(\xi_n) \leq h(\xi)$ puisque $\mathcal{H}(\xi_n) \leq h(\xi_n)$ pour tout $n \geq 1$). D'autre part, utilisant la coercivité de h , on voit que $(1 - t_n)h(F_n) \geq C(1 - t_n)|F_n|^p$ pour tout $n \geq 1$ avec $C > 0$, donc $\lim_{n \rightarrow +\infty} (1 - t_n)h(F_n) \geq C \lim_{n \rightarrow +\infty} (1 - t_n)|F_n|^p = 0$. Ainsi, $\lim_{n \rightarrow +\infty} (1 - t_n)h(F_n) = 0$ et par conséquent $\lim_{n \rightarrow +\infty} \mathcal{H}(\xi_n) = h(\xi) \geq \mathcal{H}(\xi)$.

Montrons que \mathcal{H} est coercive. Par la coercivité de h on a $\mathcal{H}(\xi) \geq C \inf\{(1-t)|\xi - ta \otimes b|^p + t|\xi + (1-t)a \otimes b|^p : (t, a \otimes b) \in [0, 1] \times \mathbb{R}^2 \otimes \mathbb{R}^3\}$ pour tout $\xi \in \mathbb{M}^{3 \times 2}$ avec $C > 0$. Or $(1-t)|\xi - ta \otimes b|^p + t|\xi + (1-t)a \otimes b|^p \geq |(1-t)(\xi - ta \otimes b) + t(\xi + (1-t)a \otimes b)|^p = |\xi|^p$, d'où $\mathcal{H}(\xi) \geq C|\xi|^p$ pour tout $\xi \in \mathbb{M}^{3 \times 2}$. \square

Par le lemme 3.4, $W_0 = \mathcal{R}_0 W_0$ est continue et coercive, et si $\mathcal{R}_q W_0$ est continue et coercive alors, par le lemme 3.24 avec $h = \mathcal{R}_q W_0$, $\mathcal{R}_{q+1} W_0$ l'est aussi. D'où $\mathcal{R}_q W_0$ est continue et coercive pour tout $q \geq 0$ et, en particulier, (3.41) a lieu.

Comme $\text{rang}(\xi_j) = 2$, par (3.3) on a $W_0(\xi_j) < +\infty$, d'où $\mathcal{R}_{i+1} W_0(\xi_j) < +\infty$ puisque $\mathcal{R}_{i+1} W_0 \leq W_0$, et (3.42) suit en utilisant le lemme 3.23 avec $h = \mathcal{R}_i W_0$. \square

3.3.7. Démonstration du lemme 3.21. Puisqu'une fonction rang-1 convexe finie est continue, il suffit de prouver le premier point du lemme 3.21. Pour cela, on va démontrer le théorème plus général suivant dû à Ben Belgacem (voir [15]). (Dans ce qui suit $N \leq m$ et, étant donné $F \in \mathbb{M}^{m \times N}$, on note $0 \leq v_1(F) \leq \dots \leq v_N(F)$ les valeurs singulières de F , i.e., les valeurs propres de $\sqrt{F^T F} \in \mathbb{M}^{N \times N}$, et on pose $v(F) := \prod_{i=1}^N v_i(F)$.)

Théorème 3.25. *Si $W : \mathbb{M}^{m \times N} \rightarrow [0, +\infty]$ satisfait la condition suivante*

$$(3.52) \quad \begin{aligned} & \text{il existe } \alpha, \beta > 0 \text{ tels que pour tout } F \in \mathbb{M}^{m \times N}, \\ & \text{si } v(F) \geq \alpha \text{ alors } W(F) \leq \beta(1 + |F|^p), \end{aligned}$$

alors $\mathcal{R}W$ satisfait (2.3).

Démonstration. Sans perdre de généralité on peut supposer que $\alpha \geq 1$. Il est clair que $\mathcal{R}W(F) \leq \beta(1 + |F|^p)$ pour tout $F \in \mathbb{M}^{m \times N}$ tel que $v(F) \geq \alpha$. Considérons donc $F \in \mathbb{M}^{m \times N}$ tel que $v(F) < \alpha$. Soient $P \in \mathbb{O}(m)$ tel que $F = PJU$, où $U := \sqrt{F^T F}$ et $J = (J_{ij}) \in \mathbb{M}^{m \times N}$ avec $J_{ij} = 0$ si $i \neq j$ et $J_{ii} = 1$, et $Q \in \mathbb{S}\mathbb{O}(N)$ tel que $U = Q^T \text{diag}(v_1(F), \dots, v_N(F))Q$ (voir par exemple [34, §7.3 p. 411] pour plus de détails sur une telle décomposition de F). Alors :

$$\begin{aligned} \diamond F &= PJQ^T \text{diag}(v_1(F), \dots, v_N(F))Q ; \\ \diamond |F|^2 &= \sum_{i=1}^N v_i^2(F). \end{aligned}$$

Comme $v(F) < \alpha$, il existe $1 \leq i_1 \leq \dots \leq i_k \leq N$ avec $k \in \{1, \dots, N\}$ tels que $v_{i_1}(F) < \alpha, \dots, v_{i_k}(F) < \alpha$ (et $v_i(F) \geq \alpha$ pour tout $i \notin \{i_1, \dots, i_k\}$). Pour chaque $j \in \{1, \dots, k\}$, considérons $t_j \in]0, 1[$ tel que $v_{i_j}(F) = (1 - t_j)(-\alpha) + t_j\alpha$. Alors

$$\begin{aligned} \text{diag}(v_1(F), \dots, v_{i_1}(F), \dots, v_N(F)) &= (1 - t_1) \text{diag}(v_1(F), \dots, -\alpha, \dots, v_N(F)) \\ &\quad + t_1 \text{diag}(v_1(F), \dots, \alpha, \dots, v_N(F)), \end{aligned}$$

donc $F = (1 - t_1)F_1^- + t_1F_1^+$ avec :

$$\begin{aligned} \diamond F_1^- &:= PJQ^T \text{diag}(v_1(F), \dots, -\alpha, \dots, v_N(F))Q ; \\ \diamond F_1^+ &:= PJQ^T \text{diag}(v_1(F), \dots, \alpha, \dots, v_N(F))Q ; \\ \diamond \text{rang}(F_1^- - F_1^+) &= 1. \end{aligned}$$

On a aussi

$$\begin{aligned} \text{diag}(v_1(F), \dots, -\alpha, \dots, v_{i_2}(F), \dots, v_N(F)) &= (1 - t_2) \text{diag}(v_1(F), \dots, -\alpha, \\ \dots, -\alpha, \dots, v_N(F)) &+ t_2 \text{diag}(v_1(F), \dots, -\alpha, \dots, \alpha, \dots, v_N(F)), \end{aligned}$$

donc $F_1^- = (1 - t_2)F_2^{-,-} + t_2F_2^{-,+}$ avec :

$$\begin{aligned} \diamond F_2^{-,-} &:= PJQ^T \text{diag}(v_1(F), \dots, -\alpha, \dots, -\alpha, \dots, v_N(F))Q ; \\ \diamond F_2^{-,+} &:= PJQ^T \text{diag}(v_1(F), \dots, -\alpha, \dots, \alpha, \dots, v_N(F))Q ; \\ \diamond \text{rang}(F_2^{-,-} - F_2^{-,+}) &= 1. \end{aligned}$$

De la même façon on a $F_1^+ = (1 - t_2)F_2^{+,-} + t_2F_2^{+,+}$ avec :

$$\begin{aligned} \diamond F_2^{+,-} &:= PJQ^T \text{diag}(v_1(F), \dots, \alpha, \dots, -\alpha, \dots, v_N(F))Q ; \\ \diamond F_2^{+,+} &:= PJQ^T \text{diag}(v_1(F), \dots, \alpha, \dots, \alpha, \dots, v_N(F))Q ; \\ \diamond \text{rang}(F_2^{+,-} - F_2^{+,+}) &= 1. \end{aligned}$$

Continuant ainsi on obtient une suite finie $\{F_j^\sigma\}_{j \in \{1, \dots, k\}}^{\sigma \in \mathfrak{S}_j} \subset \mathbb{M}^{m \times N}$, où \mathfrak{S}_j désigne la classe de toutes les applications $\sigma : \{1, \dots, j\} \rightarrow \{-, +\}$, telle que :

$$\begin{aligned} \diamond F_j^\sigma &= PJQ^T \text{diag}(v_1(F), \dots, \sigma(1)\alpha, \dots, \sigma(j)\alpha, \dots, v_N(F)) \text{ pour tout } j \in \\ &\quad \{1, \dots, k\} \text{ et tout } \sigma \in \mathfrak{S}_j ; \\ \diamond \text{pour chaque } j \in \{1, \dots, k\} \text{ et chaque } \sigma, \sigma' \in \mathfrak{S}_j, \text{ si } \sigma(j) \neq \sigma'(j) \text{ et } \sigma(l) = \\ &\quad \sigma'(l) \text{ pour tout } l \in \{1, \dots, j-1\} \text{ alors } \text{rang}(F_j^\sigma - F_j^{\sigma'}) = 1 ; \\ \diamond F &= (1 - t_1)F_1^\sigma + t_1F_1^{\sigma'} \text{ pour tout } \sigma, \sigma' \in \mathfrak{S}_1 \text{ tels que } \sigma(1) \neq \sigma'(1) ; \\ \diamond \text{pour chaque } j \in \{1, \dots, k\} \text{ et chaque } \sigma \in \mathfrak{S}_j, F_j^\sigma &= (1 - t_{j+1})F_{j+1}^{\sigma'} + \\ &\quad t_{j+1}F_{j+1}^{\sigma''} \text{ pour tout } \sigma', \sigma'' \in \mathfrak{S}_{j+1} \text{ tels que } \sigma'(l) = \sigma''(l) = \sigma(l) \text{ pour tout} \\ &\quad l \in \{1, \dots, j\} \text{ et } \sigma'(j+1) \neq \sigma''(j+1). \end{aligned}$$

Il suit que :

$$\diamond \mathcal{R}W(F) \leq \mathcal{R}W(F_1^\sigma) + \mathcal{R}W(F_1^{\sigma'}) \text{ pour tout } \sigma, \sigma' \in \mathfrak{S}_1 \text{ tels que } \sigma(1) \neq \sigma'(1) ;$$

- ◇ pour chaque $j \in \{1, \dots, k\}$ et chaque $\sigma \in \mathfrak{S}_j$, $\mathcal{R}W(F_j^\sigma) \leq \mathcal{R}W(F_{j+1}^{\sigma'}) + \mathcal{R}W(F_{j+1}^{\sigma''})$ pour tout $\sigma', \sigma'' \in \mathfrak{S}_{j+1}$ tels que $\sigma'(l) = \sigma''(l) = \sigma(l)$ pour tout $l \in \{1, \dots, j\}$ et $\sigma'(j+1) \neq \sigma''(j+1)$.

D'où

$$\mathcal{R}W(F) \leq \sum_{\sigma \in \mathfrak{S}_k} \mathcal{R}W(F_k^\sigma).$$

De plus, on a $v(F_k^\sigma) = |\det(\text{diag}(v_1(F), \dots, \sigma(1)\alpha, \dots, \sigma(k)\alpha, \dots, v_N(F)))| = \alpha^k \prod_{i \notin \{i_1, \dots, i_k\}} v_i(F)$ pour tout $\sigma \in \mathfrak{S}_k$. Donc, pour chaque $\sigma \in \mathfrak{S}_k$, $v(F_k^\sigma) \geq \alpha^N \geq \alpha$. Utilisant (3.52) on déduit que

$$\mathcal{R}W(F) \leq \sum_{\sigma \in \mathfrak{S}_k} \beta(1 + |F_k^\sigma|^p).$$

Or, pour tout $\sigma \in \mathfrak{S}_k$, $|F_k^\sigma|^2 = |\text{diag}(v_1(F), \dots, \sigma(1)\alpha, \dots, \sigma(k)\alpha, \dots, v_N(F))|^2 = k\alpha^2 + \sum_{i \notin \{i_1, \dots, i_k\}} v_i^2(F) \leq N\alpha^2 + |F|^2$, d'où

$$\mathcal{R}W(F) \leq \sum_{\sigma \in \mathfrak{S}_k} \beta(1 + 2^{\frac{p}{2}}(N^{\frac{p}{2}}\alpha^p + |F|^p)) \leq c(1 + |F|^p)$$

avec $c = 2^N \beta(1 + 2^{\frac{p}{2}} N^{\frac{p}{2}} \alpha^p)$, ce qui donne le résultat. \square

Utilisant le théorème 3.25 avec $W = W_0$, $m = 3$ et $N = 2$ et remarquant que $v(\xi) = |\xi_1 \wedge \xi_2|$ pour tout $\xi = (\xi_1 \mid \xi_2) \in \mathbb{M}^{3 \times 2}$, on obtient le premier point du lemme 3.21. \square

Remarque 3.26. On peut généraliser le corollaire 2.22 comme suit.

Corollaire 3.27. Si $W : \mathbb{M}^{m \times N} \rightarrow [0, +\infty]$ satisfait la condition suivante

$$(3.53) \quad \text{pour tout } \delta > 0 \text{ il existe } c_\delta > 0 \text{ tel que pour tout } F \in \mathbb{M}^{m \times N}, \\ \text{si } v(F) \geq \delta \text{ alors } W(F) \leq c_\delta(1 + |F|^p),$$

alors (1.11) a lieu avec $\overline{W} = \mathcal{Q}W = \mathcal{Z}W$.

Démonstration. La seule difficulté est de prouver que si W satisfait (3.53) alors $\mathcal{Z}W$ est finie. (Pour cela, on pourra s'inspirer de l'étape 1 de la démonstration du théorème 2.20.) On fait ensuite le même raisonnement que dans la preuve du corollaire 2.22 en remarquant que (3.53) implique (3.52). \square

4. DEUX THÉORÈMES D'APPROXIMATION

4.1. Théorème de Gromov-Eliashberg. En 1971, Gromov et Eliashberg ont démontré le théorème suivant (voir [30, Theorem 1.3.4B], voir aussi [29, Theorem B'_1 p. 20]).

Théorème 4.1. Soient $m > N \geq 1$ et M une variété compacte de dimension N qui peut être immergée dans \mathbb{R}^m . Alors, pour chaque fonction C^1 -différentiable ψ de M dans \mathbb{R}^m il existe une suite $\{\psi_n\}_n$ de C^1 -immersions de M dans \mathbb{R}^m telle que $\psi_n \rightarrow \psi$ dans $W^{1,p}(M; \mathbb{R}^m)$.

Dans notre contexte ($m = 3, N = 2$ et $M = \overline{\Sigma}$) on a

Théorème 4.1-bis. Pour chaque $\psi \in C^1(\overline{\Sigma}; \mathbb{R}^3)$ il existe $\{\psi_n\}_{n \geq 1} \subset C_*^1(\overline{\Sigma}; \mathbb{R}^3)$ tel que $\psi_n \rightarrow \psi$ dans $W^{1,p}(\Sigma; \mathbb{R}^3)$.

(Pour une preuve du théorème 4.1-bis voir §4.1.1-4.1.3.) Le résultat suivant a été énoncé par Ben Belgacem (voir [15, p. 137-138], voir aussi [43, Proposition 3.1.7 p. 100]). Pour la définition de $\text{Aff}_c^{\text{reg}}(\mathbb{R}^2; \mathbb{R}^3)$, $\text{Aff}^{\text{reg}}(\Sigma; \mathbb{R}^3)$ et $\text{Aff}_{\text{li}}^{\text{reg}}(\Sigma; \mathbb{R}^3)$ voir §4.1.4.

Proposition 4.2. *Pour chaque $\psi \in C_*^1(\overline{\Sigma}; \mathbb{R}^3)$ il existe $\{\psi_n\}_{n \geq 1} \subset \text{Aff}_{\text{li}}^{\text{reg}}(\Sigma; \mathbb{R}^3)$ tel que $\psi_n \rightarrow \psi$ dans $W^{1,\infty}(\Sigma; \mathbb{R}^3)$.*

Démonstration. Soit $\psi \in C_*^1(\overline{\Sigma}; \mathbb{R}^3)$ avec $\psi = \hat{\psi}|_{\overline{\Sigma}}$ où $\hat{\psi} \in C_*^1(\mathbb{R}^2; \mathbb{R}^3)$. Par le théorème 4.15 il existe $\{\psi_n\}_{n \geq 1} \subset \text{Aff}^{\text{reg}}(\Sigma; \mathbb{R}^3)$ tel que $\psi_n \rightarrow \psi$ dans $W^{1,\infty}(\Sigma; \mathbb{R}^3)$. Par définition, pour chaque $n \geq 1$, $\psi_n = \hat{\psi}_n|_{\Sigma}$ avec $\hat{\psi}_n \in \text{Aff}_c^{\text{reg}}(\mathbb{R}^2; \mathbb{R}^3)$. Fixons $x_0 \in \overline{\Sigma}$ et montrons que $\hat{\psi}_n$ est localement injective en x_0 à partir d'un certain rang. D'abord, puisque $\hat{\psi} \in C_*^\infty(\mathbb{R}^2; \mathbb{R}^3)$ il existe $c_0 > 0$ tel que

$$(4.1) \quad |\nabla \hat{\psi}(x_0)v| \geq c_0|v| \text{ pour tout } v \in \mathbb{R}^2.$$

Considérons deux entiers $k > \frac{2}{c_0}$ et $n \geq n_k$ avec $n_k \in \mathbb{N}$ tel que

$$(4.2) \quad \|\nabla \hat{\psi}_n - \nabla \hat{\psi}\|_{L^\infty(\Sigma; \mathbb{M}^{3 \times 2})} \leq \frac{1}{2k}.$$

Comme $\nabla \hat{\psi}$ est continue en x_0 il existe $\delta > 0$ tel que

$$(4.3) \quad |\nabla \hat{\psi}(z) - \nabla \hat{\psi}(x_0)| \leq \frac{1}{2k} \text{ pour tout } z \in B_\delta(x_0).$$

Étant donné $x, y \in B_\delta(x_0)$, du théorème de la moyenne on déduit que

$$|\hat{\psi}(x) - \hat{\psi}(y) - \nabla \hat{\psi}(x_0)(x - y)| \leq |x - y| \sup_{z \in [x,y]} |\nabla \hat{\psi}(z) - \nabla \hat{\psi}(x_0)|$$

(voir [25, (8.6.2) p. 164]), donc

$$(4.4) \quad |\hat{\psi}(x) - \hat{\psi}(y) - \nabla \hat{\psi}(x_0)(x - y)| \leq \frac{1}{2k}|x - y|$$

par (4.3). De (4.2) on déduit que $\hat{\psi}_n - \hat{\psi}$ est Lipschitzienne de rapport $\frac{1}{2k}$ sur Σ (voir [26, Corollaire 2.4 p. 288]), donc

$$|\hat{\psi}_n(x) - \hat{\psi}_n(y)| \geq |\hat{\psi}(x) - \hat{\psi}(y)| - \frac{1}{2k}|x - y|.$$

Mais par (4.1) et (4.4) on a

$$\begin{aligned} |\hat{\psi}(x) - \hat{\psi}(y)| &\geq |\nabla \hat{\psi}(x_0)(x - y)| - |\hat{\psi}(x) - \hat{\psi}(y) - \nabla \hat{\psi}(x_0)(x - y)| \\ &\geq c_0|x - y| - \frac{1}{2k}|x - y|, \end{aligned}$$

d'où $|\hat{\psi}_n(x) - \hat{\psi}_n(y)| \geq (c_0 - \frac{1}{k})|x - y| \geq \frac{c_0}{2}|x - y|$, ce qui montre que $\hat{\psi}_n$ est localement injective en x_0 dès que $n \geq n_k$. \square

Le résultat suivant est une conséquence du théorème 4.1-bis.

Théorème 4.3. *$\text{Aff}_{\text{li}}^{\text{reg}}(\Sigma; \mathbb{R}^3)$ est fortement dense dans $W^{1,p}(\Sigma; \mathbb{R}^3)$.*

Démonstration. Il suffit d'utiliser le fait que $C^1(\overline{\Sigma}; \mathbb{R}^3)$ est fortement dense dans $W^{1,p}(\Sigma; \mathbb{R}^3)$ avec le théorème 4.1-bis et la proposition 4.2. \square

4.1.1. *Préliminaires pour la démonstration du théorème 4.1-bis.* (Pour la preuve du théorème 4.1-bis voir §4.1.2.) La définition suivante est dû à Whitney [44] (voir aussi [30]).

Définition 4.4. On dit que $h \in C^\infty(\mathbb{R}^2; \mathbb{R}^2)$ est typique (ou stable ou encore générique) si les conditions suivantes sont satisfaites :

- ◊ $\{x \in \mathbb{R}^2 : \dim \text{Ker} \nabla h(x) = 2\} = \emptyset$;
- ◊ l'ensemble $S := \{x \in \mathbb{R}^2 : \dim \text{Ker} \nabla h(x) = 1\}$ est une sous-variété fermée de dimension 1 telle que $S = S^0 \cup S^1$, où S^0 est un sous-ensemble discret et S^1 est une sous-variété de dimension 1 donnés par

$$S^0 := \{x \in \mathbb{R}^2 : \text{Ker} \nabla h(x) = T_x S\} \text{ et } S^1 := \{x \in \mathbb{R}^2 : \text{Ker} \nabla h(x) + T_x S = \mathbb{R}^2\},$$

où $T_x S$ est l'espace tangent à S en x .

On note $C_{\text{typ}}^\infty(\mathbb{R}^2; \mathbb{R}^2)$ l'ensemble des applications typiques.

Remarque 4.5. En fait, S^0 correspond aux singularités de type *fronce* et S^1 aux singularités de type *pli* (voir [44]).

Le lemme suivant est un cas particulier du théorème de densité de Whitney (voir [24, Théorème IV.8.4 p. 128], voir aussi [28, Chapter IV §2 p. 145])

Lemme 4.6. *L'ensemble $C_{\text{typ}}^\infty(\mathbb{R}^2; \mathbb{R}^2)$ est dense dans $C^\infty(\mathbb{R}^2; \mathbb{R}^2)$ pour la topologie de la convergence uniforme de toutes les dérivées.*

On pose $C_{\text{typ}}^\infty(\overline{\Sigma}; \mathbb{R}^2)$ l'ensemble des restrictions à $\overline{\Sigma}$ des applications de $C_{\text{typ}}^\infty(\mathbb{R}^2; \mathbb{R}^2)$, i.e.,

$$C_{\text{typ}}^\infty(\overline{\Sigma}; \mathbb{R}^2) := \left\{ h|_{\overline{\Sigma}} : h \in C_{\text{typ}}^\infty(\mathbb{R}^2; \mathbb{R}^2) \right\}.$$

Le résultat suivant (qui sera utilisé dans la démonstration du théorème 4.1-bis) est une conséquence immédiate du lemme 4.6.

Corollaire 4.7. *L'ensemble $C_{\text{typ}}^\infty(\overline{\Sigma}; \mathbb{R}^2)$ est dense dans $C^\infty(\overline{\Sigma}; \mathbb{R}^2)$.*

Dans ce qui suit, on aura besoin de la définition suivante (pour plus de détails sur le concept de transversalité voir [28]).

Définition 4.8. Soient $S \subset \overline{\Sigma}$ une sous-variété et $L \in C(S; \mathbb{R}^2)$. On dit que L est transversal à S et on note $L \pitchfork S$ si pour chaque $x \in S$,

$$L(x) \notin T_x S, \text{ i.e., } L(x)\mathbb{R} + T_x S = \mathbb{R}^2.$$

Pour $g \in C^\infty(\overline{\Sigma})$ et $h = (h_1, h_2) \in C^\infty(\overline{\Sigma}; \mathbb{R}^2)$, on note $g \oplus h \in C^\infty(\overline{\Sigma}; \mathbb{R}^3)$ un assemblage quelconque de g et h , i.e., $g \oplus h = (g, h)$ ou $g \oplus h = (h_1, g, h_2)$ ou encore $g \oplus h = (h, g)$. Les deux lemmes suivants ainsi que la proposition 4.11 ci-dessous seront utilisés dans la démonstration du théorème 4.1-bis.

Lemme 4.9. *Soient $K \subset \overline{\Sigma}$ un compact, $g \in C^\infty(\overline{\Sigma})$ et $h \in C^\infty(\overline{\Sigma}; \mathbb{R}^2)$ tels que*

$$(4.5) \quad K \subset \left\{ x \in \mathbb{R}^2 : \dim \text{Ker} \nabla h(x) \geq 1 \right\} \text{ et } g \oplus h \in C_*^\infty(\overline{\Sigma}; \mathbb{R}^3).$$

Alors, il existe $L \in C(K; \mathbb{R}^2)$ tel que

$$\nabla h(x)L(x) = 0 \text{ et } \nabla g(x)L(x) = 1 \text{ pour tout } x \in K.$$

Démonstration. Pour chaque $x \in K$, on considère $v_x \in \text{Ker} \nabla h(x) \cap \mathbb{S}^1$ (avec $\mathbb{S}^1 := \{v \in \mathbb{R}^2 : |v| = 1\}$) et on définit $L : K \rightarrow \mathbb{R}^2$ par

$$L(x) := \frac{v_x}{\nabla g(x)v_x}.$$

(Noter que $\nabla g(x)v_x \neq 0$ pour tout $x \in K$ grâce à (4.5).) Il est facile de voir que $\nabla h(x)L(x) = 0$ et $\nabla g(x)L(x) = 1$ pour tout $x \in K$. D'autre part, il est clair que

$$\diamond \left\{ \frac{v}{\nabla g(x)v} : (x, v) \in K \times \mathbb{S}^1 \right\} \text{ est compact}$$

et, par (4.5), on a

$$\diamond \frac{v}{\nabla g(x)v} = \frac{v_x}{\nabla g(x)v_x} \text{ pour tout } v \in \text{Ker} \nabla h(x) \cap \mathbb{S}^1 \text{ et tout } x \in K.$$

Donc, étant donnés $x \in K$ et $\{x_n\}_{n \geq 1} \subset K$ tels que $x_n \rightarrow x$, il est aisé de voir que $L(x)$ est l'unique valeur d'adhérence de $\{L(x_n)\}_{n \geq 1}$, d'où L est continue. \square

Lemme 4.10. *Soient $g \in C^\infty(\overline{\Sigma})$, $\{h^n\}_{n \geq 1} \subset C^\infty(\overline{\Sigma}; \mathbb{R}^2)$ et $h \in C^\infty(\overline{\Sigma}; \mathbb{R}^2)$ tels que*

$$\nabla h^n \rightarrow \nabla h \text{ uniformément dans } \overline{\Sigma} \text{ et } g \oplus h \in C_*^\infty(\overline{\Sigma}; \mathbb{R}^3).$$

Alors, il existe $n_0 \geq 1$ tel que $g \oplus h^n \in C_^\infty(\overline{\Sigma}; \mathbb{R}^3)$ pour tout $n \geq n_0$.*

Démonstration. En effet, supposons qu'il existe $\{x_n\}_{n \geq 1} \subset \overline{\Sigma}$ tel que $\text{Ker} \nabla(g \oplus h^n)(x_n) \neq \{0\}$ pour tout $n \geq 1$. Pour chaque $n \geq 1$, on considère $L_n \in \text{Ker} \nabla(g \oplus h^n)(x_n) \cap \mathbb{S}^1$. Alors, pour chaque $n \geq 1$,

$$\begin{aligned} |\nabla(g \oplus h)(x_n)L_n| &\leq |\nabla(g \oplus h^n)(x_n) - \nabla(g \oplus h)(x_n)||L_n| + |\nabla(g \oplus h^n)(x_n)L_n| \\ &\leq \|\nabla(g \oplus h^n) - \nabla(g \oplus h)\|_\infty \leq \|\nabla h^n - \nabla h\|_\infty. \end{aligned}$$

Comme \mathbb{S}^1 est compact et $\nabla(g \oplus h)$ est continue on en déduit qu'il existe $x \in \overline{\Sigma}$ et $L \in \mathbb{S}^1$ tels que $\nabla(g \oplus h)(x)L = 0$ ce qui est impossible puisque $g \oplus h \in C_*^\infty(\overline{\Sigma}; \mathbb{R}^3)$. \square

Proposition 4.11. *Soient $f \in C^\infty(\overline{\Sigma})$, $S \subset \overline{\Sigma}$ une sous-variété compacte de dimension 1 avec $S = S^0 \cup S^1$, où S^0 est un sous-ensemble discret et S^1 est une sous-variété de dimension 1, et $L \in C(S; \mathbb{R}^2)$ tels que $L \pitchfork S^0$ et $L \pitchfork S^1$. Alors, il existe $\{f^n\}_{n \geq 1} \subset C^\infty(\overline{\Sigma})$ tel que*

$$\begin{cases} \lim_{n \rightarrow +\infty} \|f^n - f\|_{W^{1,p}(\Sigma)} = 0 \\ \nabla f^n(x)L(x) > 0 \text{ pour tout } x \in S \text{ et tout } n \geq 1. \end{cases}$$

(Pour une preuve de la proposition 4.11 voir §4.1.3.)

4.1.2. *Démonstration du théorème 4.1-bis.* On suit la preuve de [30] (avec les simplifications qui s'imposent dans notre cas) qui consiste à éliminer les singularités en exploitant la symétrie de la relation (différentielle) d'immersion sous certaines transformations de l'espace d'arrivée. Pour un exposé de la méthode d'élimination des singularités voir [29, Part 2].

Comme $C^\infty(\overline{\Sigma}; \mathbb{R}^3)$ est dense dans $C^1(\overline{\Sigma}; \mathbb{R}^3)$ pour la topologie de la convergence uniforme de toutes les dérivées, on peut supposer que $\psi = (\psi_1, \psi_2, \psi_3) \in C^\infty(\overline{\Sigma}; \mathbb{R}^3)$.

Étape 1. Soit $h \in C^\infty(\overline{\Sigma}; \mathbb{R}^2)$ définie par $h(x) := (h_2(x), h_3(x)) = (x_2, \psi_3(x))$. Par le corollaire 4.7 il existe $\{h^k\}_{k \geq 1} \subset C_{\text{typ}}^\infty(\overline{\Sigma}; \mathbb{R}^2)$ avec $h^k = (h_2^k, h_3^k)$ tel que

$$(4.6) \quad h^k \rightarrow h \text{ et } \nabla h^k \rightarrow \nabla h \text{ uniformément dans } \overline{\Sigma}.$$

Étape 2. On pose $\psi^k := (x_1, h^k) = x_1 \oplus h^k$. On a $x_1 \oplus h \in C_*^\infty(\bar{\Sigma}; \mathbb{R}^3)$, donc, en tenant compte de (4.6), le lemme 4.10 implique qu'il existe $k_0 \geq 1$ tel que $\psi^k \in C_*^\infty(\bar{\Sigma}; \mathbb{R}^3)$ pour tout $k \geq k_0$.

Soit $k \geq k_0$. On note S_k la sous-variété compacte de dimension 1 associée à h^k (voir la définition 4.4). Par le lemme 4.9 il existe $L^k \in C(S_k; \mathbb{R}^2)$ tel que

$$\text{Ker} \nabla h^k(x) = L^k(x) \mathbb{R} \text{ et } L^k(x) \neq 0 \text{ pour tout } x \in S_k.$$

Donc $L^k \pitchfork S_k^0$ et $L^k \pitchfork S_k^1$.

Étape 3. Par la proposition 4.11 il existe $\{h_1^{k,l}\}_{l \geq 1} \subset C^\infty(\bar{\Sigma})$ tel que :

$$(4.7) \quad \lim_{l \rightarrow +\infty} \|h_1^{k,l} - \psi_1\|_{W^{1,p}(\Sigma)} = 0 \text{ pour tout } k \geq k_0 ;$$

$$(4.8) \quad \nabla h_1^{k,l}(x) L^k(x) > 0 \text{ pour tout } x \in S_k \text{ et tout } l \geq 1.$$

On pose $\psi^{k,l} := (h_1^{k,l}, h^k)$. Par définition de S_k , on a $\text{Ker} \nabla h^k(x) = \{0\}$ pour tout $x \in \bar{\Sigma} \setminus S_k$. D'autre part, étant donné $x \in S_k$ et $v \in \text{Ker} \nabla \psi^{k,l}(x) = \text{Ker} \nabla h_1^{k,l}(x) \cap \text{Ker} \nabla h^k(x)$, si $v \neq 0$ alors $v = \lambda_x^k L^k(x)$ pour un certain $\lambda_x^k \in \mathbb{R}^*$, ce qui contredit (4.8). Ainsi, on a

$$(4.9) \quad \psi^{k,l} \in C_*^\infty(\bar{\Sigma}; \mathbb{R}^3) \text{ pour tout } l \geq 1 \text{ et tout } k \geq k_0.$$

Maintenant on répète les trois étapes précédentes en prenant $h^{k,l}$ à la place de x_2 et h_3^k à la place de ψ_3 . Fixons $k \geq k_0$ et $l \geq 1$.

Étape 3.1. Soit $h^{k,l} \in C^\infty(\bar{\Sigma}; \mathbb{R}^2)$ définie par $h^{k,l}(x) := (h_1^{k,l}(x), h_3^k(x))$. Par le corollaire 4.7 il existe $\{h^{k,l,m}\}_{m \geq 1} \subset C_{\text{typ}}^\infty(\bar{\Sigma}; \mathbb{R}^2)$ avec $h^{k,l,m} = (h_1^{k,l,m}, h_3^{k,m})$ tel que

$$(4.10) \quad h^{k,l,m} \rightarrow h^{k,l} \text{ et } \nabla h^{k,l,m} \rightarrow \nabla h^{k,l} \text{ uniformément dans } \bar{\Sigma}.$$

Étape 3.2. On pose $\psi^{k,l,m} := (h_1^{k,l,m}, h_2^k, h_3^{k,m}) = h_2^k \oplus h^{k,l,m}$. Prenant en compte (4.10) et (4.9), du lemme 4.10 on déduit qu'il existe $m_{k,l} \geq 1$ tel que $\psi^{k,l,m} \in C_*^\infty(\bar{\Sigma}; \mathbb{R}^3)$ pour tout $m \geq m_{k,l}$.

Soit $m \geq m_{k,l}$. Comme dans l'étape 2, on note $S_{k,l,m}$ la sous-variété compacte de dimension 1 associée à $h^{k,l,m}$ et, de la même façon, par le lemme 4.9 il existe $L^{k,l,m} \in C(S_{k,l,m}; \mathbb{R}^2)$ tel que $L^{k,l,m} \pitchfork S_{k,l,m}^0$ et $L^{k,l,m} \pitchfork S_{k,l,m}^1$.

Étape 3.3. Par la proposition 4.11 il existe $\{h_2^{k,l,m,n}\}_{n \geq 1} \subset C^\infty(\bar{\Sigma})$ tel que :

$$(4.11) \quad \lim_{n \rightarrow +\infty} \|h_2^{k,l,m,n} - \psi_2\|_{W^{1,p}(\Sigma)} = 0 ;$$

$$(4.12) \quad \nabla h_2^{k,l,m,n}(x) L^{k,l,m}(x) > 0 \text{ pour tout } x \in S_{k,l,m} \text{ et tout } n \geq 1.$$

On pose $\psi^{k,l,m,n} := (h_1^{k,l,m}, h_2^{k,l,m,n}, h_3^{k,m})$. Comme dans l'étape 3, grâce à (4.12) on peut montrer que

$$\psi^{k,l,m,n} \in C_*^\infty(\bar{\Sigma}; \mathbb{R}^3) \text{ pour tous } k \geq k_0, l \geq 1, m \geq m_{k,l} \text{ et } n \geq 1.$$

Étape 4. Pour chaque $k \geq k_0, l \geq 1, m \geq m_{k,l}$ et $n \geq 1$, on a

$$\begin{aligned} \|\psi^{k,l,m,n} - \psi\|_{W^{1,p}(\Sigma;\mathbb{R}^3)} &\leq \|\psi^{k,l,m,n} - (h_1^{k,l,m}, \psi_2, h_3^{k,m})\|_{W^{1,p}(\Sigma;\mathbb{R}^3)} \\ &\quad + \|(h_1^{k,l,m}, \psi_2, h_3^{k,m}) - (h_1^{k,l}, \psi_2, h_3^k)\|_{W^{1,p}(\Sigma;\mathbb{R}^3)} \\ &\quad + \|(h_1^{k,l}, \psi_2, h_3^k) - (\psi_1, \psi_2, h_3^k)\|_{W^{1,p}(\Sigma;\mathbb{R}^3)} \\ &\quad + \|(\psi_1, \psi_2, h_3^k) - \psi\|_{W^{1,p}(\Sigma;\mathbb{R}^3)}. \end{aligned}$$

En utilisant successivement (4.11), (4.10), (4.7) et (4.6), i.e., en faisant successivement $n \rightarrow +\infty, m \rightarrow +\infty, l \rightarrow +\infty$ et $k \rightarrow +\infty$, on obtient

$$\lim_{k \rightarrow +\infty} \lim_{l \rightarrow +\infty} \lim_{m \rightarrow +\infty} \lim_{n \rightarrow +\infty} \|\psi^{k,l,m,n} - \psi\|_{W^{1,p}(\Sigma;\mathbb{R}^3)} = 0,$$

et le résultat suit par diagonalisation. \square

4.1.3. *Démonstration de la proposition 4.11.* On commence par prouver le lemme suivant.

Lemme 4.12. *Soient $f \in C^\infty(\overline{\Sigma})$, $S \subset \overline{\Sigma}$ et $L \in C(S; \mathbb{R}^2)$ comme dans la proposition 4.11.*

(a) *Il existe $f^0 \in C^\infty(\overline{\Sigma})$ et un voisinage ouvert $\mathcal{V}(S^0) \subset S$ de S^0 tels que*

$$\begin{cases} f^0 - f = 0 \text{ sur } S^0 \\ \nabla f^0(x)L(x) > 0 \text{ pour tout } x \in \mathcal{V}(S^0). \end{cases}$$

(b) *S'il existe un voisinage ouvert $\mathcal{V}(S^0) \subset S$ de S^0 tel que $\nabla f(\cdot)L(\cdot)|_{\mathcal{V}(S^0)} > 0$, alors il existe $f^1 \in C^\infty(\overline{\Sigma})$ tel que*

$$\begin{cases} f^1 - f = 0 \text{ sur } S \\ \nabla f^1(x)L(x) > 0 \text{ pour tout } x \in S. \end{cases}$$

Démonstration. Soit $\widehat{f} \in C^\infty(\mathbb{R}^2)$ tel que $\widehat{f}|_{\overline{\Sigma}} = f$.

(a) Comme $S^0 \subset S$ est discret, on a

$$S^0 = \{a^0, a^1, \dots\} = \bigcup_{i \in \mathbb{N}} \{a^i\},$$

où les a^i sont des points isolés. Soit une famille $\{B_i\}_{i \in \mathbb{N}}$ de boules de centre a^i deux à deux disjointes. Pour chaque $i \in \mathbb{N}$, on considère une boule $B'_i \subset B_i$ de même centre et on définit $\{\varphi_i\}_{i \in \mathbb{N}} \subset C_c^\infty(\mathbb{R}^2; [0, 1])$ par

$$\varphi_i(x) := \begin{cases} 1 & \text{si } x \in B'_i \\ 0 & \text{si } x \in \mathbb{R}^2 \setminus B_i. \end{cases}$$

Comme $L \pitchfork S^0$ on a $L(a^i) = (L_1(a^i), L_2(a^i)) \neq 0$ pour tout $i \in \mathbb{N}$. Soient $I_1 := \{i \in \mathbb{N} : L_1(a^i) \neq 0\}$, $I_2 := \mathbb{N} \setminus I_1$ et $\widehat{f^0} \in C^\infty(\mathbb{R}^2)$ donnée par

$$\widehat{f^0}(x) := \begin{cases} \widehat{f}(x) + \sum_{i \in I_1} k_i \varphi_i(x)(x_1 - a_1^i) & \text{si } x \in \bigcup_{i \in I_1} B_i \\ \widehat{f}(x) + \sum_{i \in I_2} k_i \varphi_i(x)(x_2 - a_2^i) & \text{si } x \in \bigcup_{i \in I_2} B_i \\ \widehat{f}(x) & \text{sinon} \end{cases}$$

avec

$$k_i := \begin{cases} \left| \frac{1 - \nabla \widehat{f}(a^i)L(a^i)}{L_1(a^i)} \right| & \text{si } L_1(a^i) > 0 \text{ et } i \in I_1 \\ - \left| \frac{1 - \nabla \widehat{f}(a^i)L(a^i)}{L_1(a^i)} \right| & \text{si } L_1(a^i) < 0 \text{ et } i \in I_1 \\ \left| \frac{1 - \nabla \widehat{f}(a^i)L(a^i)}{L_2(a^i)} \right| & \text{si } L_2(a^i) > 0 \text{ et } i \in I_2 \\ - \left| \frac{1 - \nabla \widehat{f}(a^i)L(a^i)}{L_2(a^i)} \right| & \text{si } L_2(a^i) < 0 \text{ et } i \in I_2. \end{cases}$$

Alors, $\widehat{f}^0(a_i) = \widehat{f}(a_i)$ et $\nabla \widehat{f}^0(a_i)L(a_i) \geq 1$ pour tout $i \in \mathbb{N}$. Comme $\nabla \widehat{f}^0(\cdot)L(\cdot)$ est continue, il suit que pour chaque $i \in \mathbb{N}$, il existe $\rho_i > 0$ tel que $\nabla \widehat{f}^0(x)L(x) > 0$ pour tout $x \in B_{\rho_i}(a^i) \cap S$, où $B_{\rho_i}(a^i)$ est la boule ouverte de centre a^i et de rayon ρ_i . On obtient (a) en posant $f^0 := \widehat{f}^0|_{\overline{S}} \in C^\infty(\overline{S})$ et $\mathcal{V}(S^0) := \cup_{i \in \mathbb{N}} B_{\rho_i}(a_i) \cap S$.

(b) Pour chaque $x \in S^1$, il existe une boule ouverte $B_x \subset \mathbb{R}^2$ de centre x et un difféomorphisme $\phi^x = (\phi_1^x, \phi_2^x) : B_x \rightarrow \mathbb{R}^2$ tel que $\phi^x(B_x \cap S^1) = \phi^x(B_x) \cap (\mathbb{R} \times \{0\})$ et on fait en sorte que $B_x \cap S^1$ soit connexe.

Comme $\phi_2^x|_{B_x \cap S^1} = 0$, $L \upharpoonright S^1$ et ϕ^x est un difféomorphisme, on a $\nabla \phi_2^x(y)L(y) \neq 0$ pour tout $y \in B_x \cap S^1$. En effet, on peut remarquer que $\nabla \phi_2^x(y)v = 0$ pour tout $v \in T_y S^1$ et tout $y \in B_x \cap S^1$. Soit $y \in B_x \cap S^1$, si $\nabla \phi_2^x(y)L(y) = 0$ alors on aurait $\text{Ker} \nabla \phi_2^x(y) = L(y)\mathbb{R} + T_y S^1$ qui serait de dimension 2 puisque $L \upharpoonright S^1$ ce qui contredirait le fait que ϕ^x est un difféomorphisme. Maintenant puisque $B_x \cap S^1$ est connexe et que $B_x \cap S^1 \ni y \mapsto \nabla \phi_2^x(y)L(y)$ est continue, alors $\nabla \phi_2^x(\cdot)L(\cdot)|_{B_x \cap S^1}$ est de signe constant.

Soit une boule ouverte Q_x de centre x tel que $\overline{Q_x} \subset B_x$. On pose

$$(4.13) \quad k_x := \begin{cases} \sup_{y \in \overline{Q_x} \cap S^1} \frac{|1 - \nabla \widehat{f}(y)L(y)|}{|\nabla \phi_2^x(y)L(y)|} & \text{si } \nabla \phi_2^x(\cdot)L(\cdot)|_{B_x \cap S^1} > 0 \\ - \sup_{y \in \overline{Q_x} \cap S^1} \frac{|1 - \nabla \widehat{f}(y)L(y)|}{|\nabla \phi_2^x(y)L(y)|} & \text{si } \nabla \phi_2^x(\cdot)L(\cdot)|_{B_x \cap S^1} < 0, \end{cases}$$

et on définit $\widehat{f}_x^1 := \widehat{f} + k_x \phi_2^x$. Par (4.13) on a

$$(4.14) \quad \widehat{f}_x^1(y) = \widehat{f}(y) \text{ et } \nabla \widehat{f}_x^1(y)L(y) = \nabla \widehat{f}(y)L(y) + k_x \nabla \phi_2^x(y)L(y) \geq 1$$

pour tout $y \in Q_x \cap S^1$. La famille $\{Q_x\}_{x \in S^1 \setminus \mathcal{V}(S^0)}$ est un recouvrement d'ouverts de $S^1 \setminus \mathcal{V}(S^0) = S \setminus \mathcal{V}(S^0)$ qui est compact. On considère un sous-recouvrement fini $\{Q_{x_i}\}_{i \in \{1, \dots, s\}}$ et un voisinage ouvert $\mathcal{U}(S^0) \supset \mathcal{V}(S^0)$ dans \overline{S} , i.e.,

$$S \subset \overset{s}{\bigcup}_{i=1} Q_{x_i} \cup \mathcal{U}(S^0).$$

Soient $\varphi_0, \varphi_1, \dots, \varphi_s, \varphi_{s+1} \in C^\infty(\mathbb{R}^2; [0, 1])$ telles que :

- ◇ $\varphi_0(x) = 0$ dans un voisinage $\mathcal{V}(S) \subset \overline{S}$ de S ;
- ◇ $\varphi_i(x) = 0$ dans $\mathbb{R}^2 \setminus Q_{x_i}$ pour tout $i \in \{1, \dots, s\}$;
- ◇ $\varphi_{s+1}(x) = 0$ dans $\mathbb{R}^2 \setminus \mathcal{U}(S^0)$;
- ◇ $\sum_{i=0}^{s+1} \varphi_i(x) = 1$ dans \mathbb{R}^2 .

On définit $\widehat{f}^1 := \varphi_0 \widehat{f} + \sum_{i=1}^s \varphi_i \widehat{f}_{x_i}^1 + \varphi_{s+1} \widehat{f} \in C^\infty(\mathbb{R}^2)$ qui satisfait $\widehat{f}^1 = \widehat{f}$ sur S . Alors, en utilisant (4.14), on obtient

$$\nabla \widehat{f}^1(x)L(x) \geq \begin{cases} \sum_{i=1}^s \varphi_i(x) = 1 > 0 & \text{si } x \in S \setminus \mathcal{U}(S^0) \\ \min \{1, \nabla \widehat{f}(x)L(x)\} > 0 & \text{si } x \in \mathcal{V}(S^0), \end{cases}$$

et (b) suit en posant $f^1 := \widehat{f}^1|_{\overline{S}} \in C^\infty(\overline{S})$. □

Le lemme suivant est une conséquence du théorème de synthèse spectral [32, Theorem 5] (voir aussi [31]). Pour une preuve dans le cas où K est une sous-variété compacte de dimension 1 voir [30].

Lemme 4.13. *Soient $K \subset \overline{\Sigma}$ compact et $\alpha \in C^\infty(\overline{\Sigma})$ tels que $\alpha|_K = 0$. Alors, il existe une suite $\{\omega_n\}_{n \geq 1} \subset C_c^\infty(\overline{\Sigma})$ et une suite de voisinages $\{V_n\}_{n \geq 1}$ de K telles que pour chaque $n \geq 1$,*

$$\begin{cases} \omega_n = 1 \text{ sur } V_n \\ \|\omega_n \alpha\|_{W^{1,p}(\Sigma)} < \frac{1}{n}. \end{cases}$$

Le résultat suivant se déduit du lemme 4.12 et du lemme 4.13.

Lemme 4.14. *Soient $f \in C^\infty(\overline{\Sigma})$, $S \subset \overline{\Sigma}$ et $L \in C(\overline{\Sigma}; \mathbb{R}^2)$ comme dans la proposition 4.11.*

- (a) *Il existe un voisinage ouvert $\mathcal{V}(S^0) \subset S$ de S^0 et $\{f^{m,0}\}_{m \geq 1} \subset C^\infty(\overline{\Sigma})$ tels que*

$$\begin{cases} \lim_{m \rightarrow +\infty} \|f^{m,0} - f\|_{W^{1,p}(\Sigma)} = 0 \\ \nabla f^{m,0}(x)L(x) > 0 \text{ pour tout } x \in \mathcal{V}(S^0) \text{ et tout } m \geq 1. \end{cases}$$

- (b) *S'il existe un voisinage ouvert $\mathcal{V}(S^0) \subset S$ de S^0 tel que $\nabla f(\cdot)L(\cdot)|_{\mathcal{V}(S^0)} > 0$, alors il existe $\{f^{n,1}\}_{n \geq 1} \subset C^\infty(\overline{\Sigma})$ tel que*

$$\begin{cases} \lim_{n \rightarrow +\infty} \|f^{n,1} - f\|_{W^{1,p}(\Sigma)} = 0 \\ \nabla f^{n,1}(x)L(x) > 0 \text{ pour tout } x \in S \text{ et tout } n \geq 1. \end{cases}$$

Démonstration. En utilisant le lemme 4.13 avec $K = S$ et le lemme 4.12 on pose $f^{m,0} := f + \omega_m(f^0 - f)$ pour tout $m \geq 1$ qui satisfait (a). En utilisant les lemmes 4.13 et 4.12 on pose $f^{n,1} := f + \omega_n(f^1 - f)$ pour tout $n \geq 1$ qui satisfait (b). \square

En combinant (a) et (b) du lemme 4.14 on obtient $\{f^{n,m,0,1}\}_{n,m \geq 1} \subset C^\infty(\overline{\Sigma})$ tel que

$$\begin{cases} \lim_{m \rightarrow +\infty} \lim_{n \rightarrow +\infty} \|f^{n,m,0,1} - f\|_{W^{1,p}(\Sigma)} = 0 \\ \nabla f^{n,m,0,1}(x)L(x) > 0 \text{ pour tout } x \in S \text{ et tous } n, m \geq 1, \end{cases}$$

et la proposition 4.11 suit par diagonalisation. \square

4.1.4. Fonctions continues et affines par morceaux. Un maillage régulier (dans \mathbb{R}^N) est une famille finie $\{V_i\}_{i \in I} \subset \mathbb{R}^N$ de simplexes (triangles si $N = 2$) ouverts et disjoints telle que pour chaque $i, j \in I$ avec $i \neq j$, l'intersection $\overline{V_i} \cap \overline{V_j}$ est soit vide, soit réduite à un sommet commun, soit réduite à une face (arête si $N = 2$) commune.

On dit que $\psi : V \rightarrow \mathbb{R}^m$, avec V un ouvert de \mathbb{R}^N , est affine si c'est la restriction à V d'une fonction affine de \mathbb{R}^N dans \mathbb{R}^m . On note $\text{Aff}_c^{\text{reg}}(\mathbb{R}^N; \mathbb{R}^m)$ l'ensemble des fonctions continues $\psi : \mathbb{R}^N \rightarrow \mathbb{R}^m$ pour lesquelles il existe un maillage régulier $\{V_i\}_{i \in I}$ tel que pour chaque $i \in I$, $\psi|_{V_i}$ est affine et $\psi = 0$ dans $\mathbb{R}^N \setminus \cup_{i \in I} \overline{V_i}$. Étant donné un ouvert borné $\Omega \subset \mathbb{R}^N$, on définit :

$$\begin{aligned} \text{Aff}^{\text{reg}}(\Omega; \mathbb{R}^m) &:= \left\{ \psi|_\Omega : \psi \in \text{Aff}_c^{\text{reg}}(\mathbb{R}^N; \mathbb{R}^m) \right\}; \\ \text{Aff}_0^{\text{reg}}(\Omega; \mathbb{R}^m) &:= \left\{ \psi \in \text{Aff}^{\text{reg}}(\Omega; \mathbb{R}^m) : \psi = 0 \text{ sur } \partial\Omega \right\}. \end{aligned}$$

On dit que $\psi : \mathbb{R}^N \rightarrow \mathbb{R}^m$ est localement injective en $x \in \mathbb{R}^N$ s'il existe $\rho > 0$ tel que $\psi|_{B_\rho(x)}$ est injective, où $B_\rho(x)$ désigne la boule ouverte de centre x et rayon ρ . Si pour tout $x \in E \subset \mathbb{R}^N$, ψ est localement injective en x , on dit ψ est localement injective sur E . On pose

$$\text{Aff}_{\text{li}}^{\text{reg}}(\Omega; \mathbb{R}^m) := \left\{ \psi|_{\Omega} : \text{Aff}_c^{\text{reg}}(\mathbb{R}^N; \mathbb{R}^m) \ni \psi \text{ est localement injective sur } \overline{\Omega} \right\}.$$

Théorème 4.15. *Pour tout $p \in [1, \infty]$, $\text{Aff}^{\text{reg}}(\Omega; \mathbb{R}^m)$ est fortement dense dans $W^{1,p}(\Omega; \mathbb{R}^m)$.*

Démonstration. Soit $\psi \in W^{1,p}(\Omega; \mathbb{R}^m)$. Comme $C^\infty(\overline{\Omega}; \mathbb{R}^m)$ est fortement dense dans $W^{1,p}(\Omega; \mathbb{R}^m)$, on peut supposer que $\psi \in C^\infty(\overline{\Omega}; \mathbb{R}^m)$. Par définition, il existe $\hat{\psi} \in C_c^\infty(\mathbb{R}^N; \mathbb{R}^m)$ (l'espace des fonctions C^∞ -différentiables de \mathbb{R}^N dans \mathbb{R}^m à support compact) tel que $\psi = \hat{\psi}|_{\overline{\Omega}}$. Soit $Q \subset \mathbb{R}^N$ un cube ouvert tel que $Q \supset \overline{\Omega}$ et $\hat{\psi} = 0$ dans $\mathbb{R}^N \setminus Q$. Par interpolation, on peut construire une suite $\{\hat{\psi}_n\}_n \subset \text{Aff}_c^{\text{reg}}(\mathbb{R}^N; \mathbb{R}^m)$ telle que $\hat{\psi}_n = 0$ dans $\mathbb{R}^N \setminus Q$ pour tout $n \geq 1$ et $\hat{\psi}_n \rightarrow \hat{\psi}$ dans $W^{1,p}(\mathbb{R}^N; \mathbb{R}^m)$ (voir [26, §2.1-2.4 p. 285-297]). Posons $\psi_n := \hat{\psi}_n|_{\Omega}$ pour tout $n \geq 1$. Alors, $\{\psi_n\}_{n \geq 1} \subset \text{Aff}^{\text{reg}}(\Omega; \mathbb{R}^m)$ et $\psi_n \rightarrow \psi$ dans $W^{1,p}(\Omega; \mathbb{R}^m)$. \square

Remarque 4.16. On a $\text{Aff}^{\text{reg}}(\Omega; \mathbb{R}^m) \subset \text{Aff}(\Omega; \mathbb{R}^m)$ avec $\text{Aff}(\Omega; \mathbb{R}^m)$ désignant l'ensemble des fonctions continues et affines par morceaux de Ω dans \mathbb{R}^m , i.e., $\psi \in \text{Aff}(\Omega; \mathbb{R}^m)$ si et seulement si ψ est continue et il existe une famille finie $\{V_i\}_{i \in I}$ de sous-ensembles ouverts et disjoints de Ω telle que $|\Omega \setminus \cup_{i \in I} V_i| = 0$ et pour chaque $i \in I$, $|\partial V_i| = 0$ et $\nabla \psi(x) = \xi_i$ dans V_i avec $\xi_i \in \mathbb{M}^{m \times N}$. Du théorème 4.15 il suit que $\text{Aff}(\Omega; \mathbb{R}^m)$ est aussi fortement dense dans $W^{1,p}(\Omega; \mathbb{R}^m)$ pour tout $p \in [1, \infty]$.

4.2. Théorème de Ben Belgacem-Bennequin. En 1996, Ben Belgacem et Bennequin ont démontré le théorème suivant (voir [15, Lemma 8 p. 114]).

Théorème 4.17. *Pour chaque $\psi \in \text{Aff}_{\text{li}}^{\text{reg}}(\Sigma; \mathbb{R}^3)$ il existe $\{\psi_n\}_{n \geq 1} \subset C^1(\overline{\Sigma}; \mathbb{R}^3)$ tel que :*

$$(4.15) \quad \psi_n \rightarrow \psi \text{ dans } W^{1,p}(\Sigma; \mathbb{R}^3) ;$$

$$(4.16) \quad |\partial_1 \psi_n(x) \wedge \partial_2 \psi_n(x)| \geq \delta \text{ pour tout } x \in \overline{\Sigma} \text{ et tout } n \geq 1 \text{ avec } \delta > 0.$$

Ben Belgacem et Bennequin ont donné une démonstration très géométrique de leur théorème (voir [15] pour plus de détails). Nous donnons ici une preuve plus analytique.

Démonstration. Soit $\psi \in \text{Aff}_{\text{li}}^{\text{reg}}(\Sigma; \mathbb{R}^3)$. Par définition, il existe $\varphi \in \text{Aff}_c^{\text{reg}}(\mathbb{R}^N; \mathbb{R}^m)$ tel que $\psi = \varphi|_{\Sigma}$ et φ est localement injective sur $\overline{\Sigma}$. On a donc un maillage régulier $\{V_i\}_{i \in I}$ dans \mathbb{R}^2 (pour la définition voir §4.1.4) avec $\overline{\Sigma} \cap \overline{V}_i \neq \emptyset$ pour tout $i \in I$ tel que $\overline{\Sigma} \subset \text{int}(\cup_{i \in I} \overline{V}_i)$, et pour chaque $i \in I$, $\varphi|_{V_i}$ est affine. Il suit qu'il existe $\delta_1 > 0$ tel que

$$(4.17) \quad |\partial_1 \varphi(x) \wedge \partial_2 \varphi(x)| \geq \delta_1 \text{ pour tout } x \in \cup_{i \in I} V_i.$$

On définit deux ensembles finis $A \subset I \times I$ et $S \subset \overline{\Sigma}$ par :

$$\begin{aligned} A &:= \{(i, j) \in I \times I : \overline{V}_i \cap \overline{V}_j \text{ est réduit à une arête commune}\} ; \\ S &:= \{x \in \overline{\Sigma} : \text{il existe } i, j \in I \text{ avec } i \neq j \text{ tel que } \overline{V}_i \cap \overline{V}_j = \{x\}\}. \end{aligned}$$

On numérote les éléments de S , i.e., $S = \{s_1, \dots, s_q\}$. On peut montrer le lemme suivant.

Lemme 4.18 (lissage des arêtes). *Il existe $\{U_n^{i,j}\}_{n \geq 1}^{(i,j) \in A}$ et $\{O_n^k\}_{n \geq 1}^{k \in \{1, \dots, q\}}$ deux familles de parties de \mathbb{R}^2 telles que :*

(4.18) *pour chaque $n \geq 1$, les $U_n^{i,j}$ sont deux à deux disjoints ;*

(4.19) *pour chaque $n \geq 1$, les O_n^k sont deux à deux disjoints ;*

(4.20) *pour chaque $(i, j) \in A$ et chaque $n \geq 1$, $U_n^{i,j} \subset \text{int}(\overline{V}_i \cup \overline{V}_j)$ est un voisinage ouvert de $\text{int}(\overline{V}_i \cap \overline{V}_j)$;*

(4.21) *pour chaque $k \in \{1, \dots, q\}$ et chaque $n \geq 1$, O_n^k est un voisinage ouvert de s_k ;*

(4.22) *pour chaque $(i, j) \in A$, $U_1^{i,j} \supset \dots \supset U_n^{i,j} \supset \dots$ et $\lim_{n \rightarrow +\infty} |U_n^{i,j}| = 0$;*

(4.23) *pour chaque $k \in \{1, \dots, q\}$, $O_1^k \supset \dots \supset O_n^k \supset \dots$ et $\lim_{n \rightarrow +\infty} |O_n^k| = 0$,*

et $\{\varphi_n^{i,j}\}_{n \geq 1}^{(i,j) \in A}$ une famille de fonctions de \mathbb{R}^2 dans \mathbb{R}^3 telle que :

(4.24) *pour chaque $(i, j) \in A$ et chaque $n \geq 1$, $\varphi_n^{i,j} = \varphi$ dans $(\overline{V}_i \cup \overline{V}_j) \setminus U_n^{i,j}$ et $\varphi_n^{i,j} \in C(\overline{V}_i \cup \overline{V}_j; \mathbb{R}^3) \cap C^1(\text{int}(\overline{V}_i \cup \overline{V}_j); \mathbb{R}^3)$;*

(4.25) *pour chaque $(i, j) \in A$, $\sup_{n \geq 1} \sup_{x \in U_n^{i,j}} (|\varphi_n^{i,j}(x)| + |\nabla \varphi_n^{i,j}(x)|) < +\infty$;*

(4.26) *pour chaque $(i, j) \in A$, il existe $\alpha_{i,j} > 0$ tel que pour tout $n \geq 1$ et tout $x \in U_n^{i,j}$, $|\partial_1 \varphi_n^{i,j}(x) \wedge \partial_2 \varphi_n^{i,j}(x)| \geq \alpha_{i,j}$;*

(4.27) *pour chaque $k \in \{1, \dots, q\}$ et chaque $n \geq 1$, $\hat{\varphi}_n = \hat{\varphi}_1$ dans O_n^k avec $\hat{\varphi}_n : \text{int}(\cup_{i \in I} \overline{V}_i) \rightarrow \mathbb{R}^3$ définie par*

$$\hat{\varphi}_n(x) := \begin{cases} \varphi_n^{i,j}(x) & \text{si } x \in U_n^{i,j} \\ \varphi(x) & \text{si } x \in \text{int}(\cup_{i \in I} \overline{V}_i) \setminus \cup_{(i,j) \in A} U_n^{i,j} \end{cases}$$

(les fonctions $\hat{\varphi}_n$ sont bien définies grâce à (4.18) et (4.24)) ;

(4.28) *pour chaque $k \in \{1, \dots, q\}$ et chaque $\lambda > 0$, $\hat{\varphi}_1(h_\lambda^k(x)) = H_\lambda^k(\hat{\varphi}_1(x))$ pour tout $x \in O_1^k$ tel que $h_\lambda^k(x) \in O_1^k$ avec $h_\lambda^k : \mathbb{R}^2 \rightarrow \mathbb{R}^2$ (resp.*

$H_\lambda^k : \mathbb{R}^3 \rightarrow \mathbb{R}^3$) désignant l'homothétie de centre s_k (resp. $\hat{\varphi}_1(s_k)$) et de rapport λ ;

(4.29) *pour chaque $k \in \{1, \dots, q\}$, $\hat{\varphi}_1$ est localement injective sur O_1^k .*

(Pour une preuve du lemme 4.18 voir §4.2.1.) De (4.20) et (4.24) il suit que pour chaque $n \geq 1$, $\hat{\varphi}_n \in C(\text{int}(\cup_{i \in I} \overline{V}_i); \mathbb{R}^3) \cap C^1(\text{int}(\cup_{i \in I} \overline{V}_i) \setminus S; \mathbb{R}^3)$. De (4.17) et (4.26) on déduit que

$$(4.30) \quad |\partial_1 \hat{\varphi}_n(x) \wedge \partial_2 \hat{\varphi}_n(x)| \geq \delta_2 \text{ pour tout } n \geq 1 \text{ et tout } x \in \text{int}(\cup_{i \in I} \overline{V}_i) \setminus S$$

avec $\delta_2 := \min\{\delta_1, \min\{\alpha_{i,j} : (i, j) \in A\}\}$. De plus, par (4.22) et (4.25) on voit facilement que

$$(4.31) \quad \hat{\varphi}_n \rightarrow \varphi \text{ dans } W^{1,p}(\text{int}(\cup_{i \in I} \overline{V}_i); \mathbb{R}^3).$$

On peut prouver (en utilisant (4.28) et (4.29)) le lemme suivant.

Lemme 4.19 (lissage des sommets). *Pour tout $k \in \{1, \dots, q\}$, il existe une C^1 -immersion $\hat{\varphi}_1^k : O_1^k \rightarrow \mathbb{R}^3$ telle que $\hat{\varphi}_1^k = \hat{\varphi}_1$ dans $O_1^k \setminus B_1^k$, où B_1^k est un voisinage ouvert de s_k tel que $\overline{B}_1^k \subset O_1^k$.*

(Pour une preuve du lemme 4.19 voir §4.2.2.) On pose $B_\lambda^k := h_\lambda^k(B_1^k)$ pour tout $k \in \{1, \dots, q\}$ et tout $\lambda > 0$. Prenant en compte (4.21) et (4.23), il est facile de voir que pour chaque $k \in \{1, \dots, q\}$, il existe une suite $\{\lambda_n^k\}_{n \geq 1} \subset]0, 1]$ telle que $\lambda_1^k = 1$, $\lim_{n \rightarrow +\infty} \lambda_n^k = 0$ et $\overline{B_{\lambda_n^k}^k} \subset O_n^k$ pour tout $n \geq 1$. Pour chaque $k \in \{1, \dots, q\}$ et chaque $n \geq 1$, on définit $\hat{\varphi}_n^k \in C^1(O_n^k; \mathbb{R}^3)$ par

$$\hat{\varphi}_n^k(x) := H_{\lambda_n^k}^k(\hat{\varphi}_1^k(h_{1/\lambda_n^k}^k(x))).$$

Alors $\hat{\varphi}_n^k = \hat{\varphi}_n$ dans $O_n^k \setminus B_{\lambda_n^k}^k$ (puisque si $x \in O_n^k \setminus B_{\lambda_n^k}^k$ alors $h_{1/\lambda_n^k}^k(x) \in O_1^k \setminus B_1^k$, donc $\hat{\varphi}_1^k(h_{1/\lambda_n^k}^k(x)) = \hat{\varphi}_1(h_{1/\lambda_n^k}^k(x))$ d'après le lemme 4.19, d'où $\hat{\varphi}_1^k(h_{1/\lambda_n^k}^k(x)) = H_{1/\lambda_n^k}^k(\hat{\varphi}_1(x))$ par (4.28) et on obtient $\hat{\varphi}_n^k(x) = \hat{\varphi}_n(x)$ en utilisant (4.27)). Pour chaque $n \geq 1$, on peut ainsi définir $\varphi_n \in C^1(\text{int}(\cup_{i \in I} \overline{V}_i); \mathbb{R}^3)$ par

$$\varphi_n(x) := \begin{cases} \hat{\varphi}_n^k(x) & \text{si } x \in B_{\lambda_n^k}^k \\ \hat{\varphi}_n(x) & \text{si } x \in \text{int}(\cup_{i \in I} \overline{V}_i) \setminus \cup_{k=1}^q B_{\lambda_n^k}^k. \end{cases}$$

(Les fonctions φ_n sont bien définies grâce à (4.21).) D'après lemme 4.19, $\hat{\varphi}_1^k$ est une C^1 -immersion, donc pour chaque $k \in \{1, \dots, q\}$, il existe $\beta_k > 0$ tel que $|\partial_1 \hat{\varphi}_1^k(y) \wedge \partial_2 \hat{\varphi}_1^k(y)| \geq \beta_k$ pour tout $y \in \overline{B}_1^k$. De plus, on a

$$(4.32) \quad \text{pour chaque } k \in \{1, \dots, q\}, \text{ chaque } n \geq 1 \text{ et chaque } x \in \overline{B_{\lambda_n^k}^k}, \\ \nabla \hat{\varphi}_n^k(x) = \nabla \hat{\varphi}_1^k(y) \text{ avec } y = h_{1/\lambda_n^k}^k(x) \in \overline{B}_1^k,$$

(donc $|\partial_1 \hat{\varphi}_n^k(y) \wedge \partial_2 \hat{\varphi}_n^k(y)| \geq \beta_k$ pour tout $n \geq 1$ et tout $x \in \overline{B_{\lambda_n^k}^k}$). Prenant en compte (4.30), il suit que

$$(4.33) \quad |\partial_1 \varphi_n(x) \wedge \partial_2 \varphi_n(x)| \geq \delta \text{ pour tout } n \geq 1 \text{ et tout } x \in \text{int}(\cup_{i \in I} \overline{V}_i)$$

avec $\delta := \min\{\delta_2, \min\{\beta_k : k \in \{1, \dots, q\}\}\}$ (δ ne dépend pas de n). D'autre part, pour chaque $k \in \{1, \dots, q\}$, $\sup_{y \in \overline{B}_1^k} (|\hat{\varphi}_1^k(y)| + |\nabla \hat{\varphi}_1^k(y)|) < +\infty$, donc

$$(4.34) \quad \sup_{n \geq 1} \sup_{x \in \overline{B_{\lambda_n^k}^k}} (|\hat{\varphi}_n^k(x)| + |\nabla \hat{\varphi}_n^k(x)|) < +\infty \text{ pour tout } k \in \{1, \dots, q\}$$

grâce à (4.32). Utilisant (4.34), (4.23) et (4.31) on déduit que

$$(4.35) \quad \varphi_n \rightarrow \varphi \text{ dans } W^{1,p}(\text{int}(\cup_{i \in I} \overline{V}_i); \mathbb{R}^3).$$

On définit $\{\psi_n\}_{n \geq 1} \subset C^1(\overline{\Sigma}; \mathbb{R}^3)$ par $\psi_n := \varphi_n|_{\overline{\Sigma}}$. Alors la suite $\{\psi_n\}_{n \geq 1}$ satisfait (4.15) et (4.16) (puisque trivialement (4.35) implique (4.15) et (4.33) implique (4.16)). \square

4.2.1. *Démonstration du lemme 4.18.* Étant donné $(i, j) \in A$, on a

$$\varphi(x) = \begin{cases} \xi_i x + a_i & \text{si } x \in \overline{V}_i \\ \xi_j x + a_j & \text{si } x \in \overline{V}_j. \end{cases}$$

avec $\xi_i, \xi_j \in \mathbb{M}^{3 \times 2}$ ($\text{rang}(\xi_i) = \text{rang}(\xi_j) = 2$) et $a_i, a_j \in \mathbb{R}^2$. On note $\theta^{i,j} \in \mathbb{R}^2$ le milieu de l'arête $\overline{V}_i \cap \overline{V}_j$. Alors

$$\varphi(x) = \begin{cases} \xi_i x^{i,j} + \xi_i \theta^{i,j} + a_i & \text{si } x \in \overline{V}_i \\ \xi_j x^{i,j} + \xi_j \theta^{i,j} + a_j & \text{si } x \in \overline{V}_j. \end{cases}$$

avec $x^{i,j} := x - \theta^{i,j} = (x_1^{i,j}, x_2^{i,j})$, où $(x_1^{i,j}, x_2^{i,j})$ sont les coordonnées de $x^{i,j}$ dans la base orthonormée $(e_1^{i,j}, e_2^{i,j})$ avec $e_1^{i,j} \in \text{vect}(\overline{V}_i \cap \overline{V}_j - \theta^{i,j})$. Comme φ est continue, on a $\xi_i 0 + \xi_i \theta^{i,j} + a_i = \xi_i \theta^{i,j} + a_i = \xi_j 0 + \xi_j \theta^{i,j} + a_j = \xi_j \theta^{i,j} + a_j =: b^{i,j}$. Ainsi

$$\varphi(x) = \begin{cases} \xi_i x^{i,j} + b^{i,j} & \text{si } x \in \overline{V}_i \\ \xi_j x^{i,j} + b^{i,j} & \text{si } x \in \overline{V}_j \end{cases} = \begin{cases} x_1^{i,j} \xi_i^1 + x_2^{i,j} \xi_i^2 + b^{i,j} & \text{si } x \in \overline{V}_i \\ x_1^{i,j} \xi_j^1 + x_2^{i,j} \xi_j^2 + b^{i,j} & \text{si } x \in \overline{V}_j \end{cases}$$

avec $\xi_i = (\xi_i^1 \mid \xi_i^2)$ et $\xi_j = (\xi_j^1 \mid \xi_j^2)$. Puisque $\varepsilon e_1^{i,j} + \theta^{i,j} \in \overline{V}_i \cap \overline{V}_j$ pour $\varepsilon > 0$ assez petit, utilisé à nouveau la continuité de φ , on déduit que $\varepsilon \xi_i^1 + 0 \xi_i^2 + b^{i,j} = \xi_i^1 + b^{i,j} = \varepsilon \xi_j^1 + 0 \xi_j^2 + b^{i,j} = \varepsilon \xi_j^1 + b^{i,j}$, c'est à dire, $\xi_i^1 = \xi_j^1$. Finalement, on a

$$\varphi(x) = \begin{cases} x_1^{i,j} \xi_i^1 + x_2^{i,j} \xi_i^2 + b^{i,j} & \text{si } x \in \overline{V}_i \\ x_1^{i,j} \xi_i^1 + x_2^{i,j} \xi_i^2 + b^{i,j} & \text{si } x \in \overline{V}_j. \end{cases}$$

Comme φ est localement injective on a nécessairement $\xi_j^2 \notin \text{vect}(\xi_i^1, \xi_i^2)$. Notons $\underline{s}_{i,j}, \overline{s}_{i,j} \in S$ les extrémités de l'arête $\overline{V}_i \cap \overline{V}_j$ et posons $\underline{s}^{i,j} := \underline{s}_{i,j} - \theta^{i,j}$ et $\overline{s}^{i,j} := \overline{s}_{i,j} - \theta^{i,j}$ (comme $\underline{s}_{i,j}, \overline{s}_{i,j} \in \overline{V}_i \cap \overline{V}_j$ on a $\underline{s}^{i,j} = \underline{s}_1^{i,j} e_1^{i,j}$ et $\overline{s}^{i,j} = \overline{s}_1^{i,j} e_1^{i,j}$). Soit $\{f_n^{i,j}\}_{n \geq 1} \subset C^\infty([\underline{s}_1^{i,j}, \overline{s}_1^{i,j}]; \mathbb{R})$ satisfaisant les propriétés suivantes :

$$(4.36) \quad \text{pour chaque } n \geq 1, \quad f_n^{i,j} \leq f_{n+1}^{i,j}, \quad 0 \leq f_n^{i,j} \leq \frac{1}{n} \quad \text{et} \quad f_n^{i,j}(\underline{s}_1^{i,j}) = f_n^{i,j}(\overline{s}_1^{i,j}) = 0, \\ \text{et pour chaque } x_1^{i,j} \in [\underline{s}_1^{i,j}, \overline{s}_1^{i,j}], \quad \lim_{n \rightarrow +\infty} f_n^{i,j}(x_1^{i,j}) = 0;$$

$$(4.37) \quad \text{il existe } \{\underline{L}_{i,j,n}\}_{n \geq 1} \subset [\underline{s}_1^{i,j}, \overline{s}_1^{i,j}] \quad (\text{resp. } \{\overline{L}_{i,j,n}\}_{n \geq 1} \subset [\underline{s}_1^{i,j}, \overline{s}_1^{i,j}]) \quad \text{tel que :}$$

$$\diamond \text{ pour chaque } n \geq 1, \quad \underline{L}_{i,j,n} \quad (\text{resp. } \overline{L}_{i,j,n}) \quad \text{est un voisinage ouvert de} \\ \underline{s}_1^{i,j} \quad (\text{resp. } \overline{s}_1^{i,j}), \quad \underline{L}_{i,j,1} \supset \cdots \supset \underline{L}_{i,j,n} \supset \cdots \quad \text{et} \quad \lim_{n \rightarrow +\infty} |\underline{L}_{i,j,n}| = 0 \\ (\text{resp. } \overline{L}_{i,j,1} \supset \cdots \supset \overline{L}_{i,j,n} \supset \cdots \quad \text{et} \quad \lim_{n \rightarrow +\infty} |\overline{L}_{i,j,n}| = 0);$$

$$\diamond \text{ pour chaque } n \geq 1, \quad f_n^{i,j} = f_1^{i,j} \text{ sur } \underline{L}_{i,j,n} \quad (\text{resp. } \overline{L}_{i,j,n});$$

$$\diamond f_1^{i,j} \text{ est affine sur } \underline{L}_{i,j,n} \quad (\text{resp. } \overline{L}_{i,j,n});$$

$$(4.38) \quad \text{pour chaque } n \geq 1 \text{ et chaque } x_1^{i,j} \in [\underline{s}_1^{i,j}, \overline{s}_1^{i,j}], \quad |(f_n^{i,j})'(x_1^{i,j})| \leq 1;$$

$$(4.39) \quad \text{pour chaque } n \geq 1, \quad U_n^{i,j} \subset \text{int}(\overline{V}_i \cup \overline{V}_j) \quad \text{avec}$$

$$U_n^{i,j} := \left\{ (x_1^{i,j}, x_2^{i,j}) + \theta^{i,j} \in \text{int}(\overline{V}_i \cap \overline{V}_j) : -f_n^{i,j}(x_1^{i,j}) < x_2^{i,j} < f_n^{i,j}(x_1^{i,j}) \right\}.$$

De (4.36) et (4.39) on déduit (4.20) et (4.22). Comme A est fini et les V_i sont des triangles, il est possible de choisir les $f_n^{i,j}$ de manière à avoir aussi (4.18).

Considérons $g \in C^\infty([-1, 1]; \mathbb{R})$ donnée par

$$g(t) := \begin{cases} e^{\frac{2(t-1)}{t+1}} & \text{si } t \in]-1, 1] \\ 0 & \text{si } t = -1 \end{cases}$$

($g \geq 0$ et $\sup_{t \in [-1, 1]} g(t) \leq 1$) et définissons $\varphi_n^{i,j} : \overline{V}_i \cup \overline{V}_j \rightarrow \mathbb{R}^3$ par

$$(4.40) \quad \varphi_n^{i,j}(x) := \begin{cases} \varphi(x) & \text{si } x \in \overline{V}_i \cup \overline{V}_j \setminus U_n^{i,j} \\ \phi_n^{i,j}(x) & \text{si } x \in U_n^{i,j} \end{cases}$$

avec $\phi_n^{i,j} : U_n^{i,j} \rightarrow \mathbb{R}^3$ donnée par

$$\phi_n^{i,j}(x) := x_1^{i,j} \xi_i^1 + f_n^{i,j}(x_1^{i,j}) g\left(\frac{x_2^{i,j}}{f_n^{i,j}(x_1^{i,j})}\right) \xi_i^2 - f_n^{i,j}(x_1^{i,j}) g\left(\frac{-x_2^{i,j}}{f_n^{i,j}(x_1^{i,j})}\right) \xi_j^2 + b^{i,j}.$$

Posons $L := \max\{L_{i,j} : (i,j) \in A\}$, où $L_{i,j}$ est la longueur de l'arête $\bar{V}_i \cap \bar{V}_j$, $\beta := \max\{|b^{i,j}| : (i,j) \in A\}$ et $\gamma := \max\{|\xi_i|, |\xi_j| : (i,j) \in A\}$. Il est facile de voir que :

$$(4.41) \quad \text{pour chaque } (i,j) \in A, \text{ chaque } n \geq 1 \text{ et chaque } \bar{x} \in \partial U_n^{i,j}, \\ \lim_{x \rightarrow \bar{x}} \phi_n^{i,j}(x) = \varphi(\bar{x});$$

$$(4.42) \quad \text{pour chaque } (i,j) \in A, \text{ chaque } n \geq 1 \text{ et chaque } x \in U_n^{i,j}, \\ |\phi_n^{i,j}(x)| \leq (L + 2 + \beta)\gamma.$$

De plus, on a :

$$\begin{aligned} \diamond \partial_1 \phi_n^{i,j}(x) &= \xi_i^1 + (f_n^{i,j})'(x_1^{i,j}) \left[g \left(\frac{x_2^{i,j}}{f_n^{i,j}(x_1^{i,j})} \right) - \frac{x_2^{i,j}}{f_n^{i,j}(x_1^{i,j})} h \left(\frac{x_2^{i,j}}{f_n^{i,j}(x_1^{i,j})} \right) \right] \xi_i^2 \\ &\quad - (f_n^{i,j})'(x_1^{i,j}) \left[g \left(\frac{-x_2^{i,j}}{f_n^{i,j}(x_1^{i,j})} \right) + \frac{x_2^{i,j}}{f_n^{i,j}(x_1^{i,j})} h \left(\frac{-x_2^{i,j}}{f_n^{i,j}(x_1^{i,j})} \right) \right] \xi_j^2; \\ \diamond \partial_2 \phi_n^{i,j}(x) &= h \left(\frac{x_2^{i,j}}{f_n^{i,j}(x_1^{i,j})} \right) \xi_i^2 + h \left(\frac{-x_2^{i,j}}{f_n^{i,j}(x_1^{i,j})} \right) \xi_j^2 \end{aligned}$$

avec $h \in C^\infty([-1, 1]; \mathbb{R})$ donnée par

$$h(t) := \begin{cases} \frac{4}{(t+1)^2} g(t) & \text{si } t \in]-1, 1] \\ 0 & \text{si } t = -1 \end{cases}$$

($h \geq 0$ et $\sup_{t \in [-1, 1]} h(t) \leq 1$). D'où (utilisant (4.38)) on voit que :

$$(4.43) \quad \text{pour chaque } (i,j) \in A, \text{ chaque } n \geq 1 \text{ et chaque } \bar{x} \in \partial U_n^{i,j} \setminus \{\underline{s}_{i,j}, \bar{s}_{i,j}\}, \\ \lim_{x \rightarrow \bar{x}} \partial_1 \phi_n^{i,j}(x) = \partial_1 \varphi(\bar{x}) \text{ et } \lim_{x \rightarrow \bar{x}} \partial_2 \phi_n^{i,j}(x) = \partial_2 \varphi(\bar{x});$$

$$(4.44) \quad \text{pour chaque } (i,j) \in A, \text{ chaque } n \geq 1 \text{ et chaque } x \in U_n^{i,j}, \\ |\partial_1 \phi_n^{i,j}(x)| \leq 5\gamma \text{ et } |\partial_2 \phi_n^{i,j}(x)| \leq 2\gamma.$$

De (4.41) et (4.45) (resp. (4.42) et (4.44)) on déduit (4.24) (resp. (4.25)).

Posons $M_{i,j} := (\xi_i^1 \mid \xi_i^2 \mid \xi_j^2) \in \mathbb{M}^{3 \times 3}$ ($M_{i,j}$ est inversible puisque $\xi_j^2 \notin \text{vect}(\xi_i^1, \xi_i^2)$). Soit (e_1, e_2, e_3) la base canonique de \mathbb{R}^3 (alors $M_{i,j}^{-1} \xi_i^1 = e_1$, $M_{i,j}^{-1} \xi_i^2 = e_2$ et $M_{i,j}^{-1} \xi_j^2 = e_3$). Il suit que

$$(4.45) \quad \text{pour chaque } (i,j) \in A, \text{ chaque } n \geq 1 \text{ et chaque } x \in U_n^{i,j},$$

$$|M_{i,j}^{-1} \partial_1 \phi_n^{i,j}(x) \wedge M_{i,j}^{-1} \partial_2 \phi_n^{i,j}(x)|^2 \geq h^2 \left(\frac{x_2^{i,j}}{f_n^{i,j}(x_1^{i,j})} \right) + h^2 \left(\frac{-x_2^{i,j}}{f_n^{i,j}(x_1^{i,j})} \right).$$

Posons $U_n^{i,j,+} := \{x \in U_n^{i,j} : x_2^{i,j} \geq 0\}$ et $U_n^{i,j,-} := \{x \in U_n^{i,j} : x_2^{i,j} \leq 0\}$ ($U^{i,j} = U^{i,j,+} \cup U^{i,j,-}$). Remarquons que $h(t) \geq h(0) = e^{-2}$ pour tout $t \in [0, 1]$ et que $\frac{x_2^{i,j}}{f_n^{i,j}(x_1^{i,j})} \in [0, 1]$ (resp. $\frac{-x_2^{i,j}}{f_n^{i,j}(x_1^{i,j})} \in [0, 1]$) dès que $x \in U_n^{i,j,+}$ (resp. $x \in U_n^{i,j,-}$), de (4.45) on déduit que pour chaque $(i,j) \in A$ et chaque $n \geq 1$, on a :

$$\begin{aligned} \diamond |M_{i,j}^{-1} \partial_1 \phi_n^{i,j}(x) \wedge M_{i,j}^{-1} \partial_2 \phi_n^{i,j}(x)| &\geq e^{-2} \text{ pour tout } x \in U_n^{i,j,+}; \\ \diamond |M_{i,j}^{-1} \partial_1 \phi_n^{i,j}(x) \wedge M_{i,j}^{-1} \partial_2 \phi_n^{i,j}(x)| &\geq e^{-2} \text{ pour tout } x \in U_n^{i,j,-}, \end{aligned}$$

donc $|M_{i,j}^{-1} \partial_1 \phi_n^{i,j}(x) \wedge M_{i,j}^{-1} \partial_2 \phi_n^{i,j}(x)| \geq e^{-2}$ pour tout $(i,j) \in A$, tout $n \geq 1$ et tout $x \in U_n^{i,j}$, et (4.26) suit en utilisant (pour chaque $(i,j) \in A$ et chaque $n \geq 1$)

le lemme suivant (en remarquant que $\{(\partial_1 \phi_n^{i,j}(x), \partial_2 \phi_n^{i,j}(x)) : x \in U_n^{i,j}\} \subset K$ avec $M = M_{i,j}$, $c = 5|M_{i,j}^{-1}|^\gamma$ et $\eta = e^{-2}$).

Lemme 4.20. *Soient $M \in \mathbb{M}^{3 \times 3}$ une matrice inversible et $K \subset \mathbb{R}^3 \times \mathbb{R}^3$ (le compact) donné par*

$$K := \left\{ (u_1, u_2) \in \mathbb{R}^3 \times \mathbb{R}^3 : \max\{|M^{-1}u_1|, |M^{-1}u_2|\} \leq c \text{ et } |M^{-1}u_1 \wedge M^{-1}u_2| \geq \eta \right\}$$

avec $c, \eta > 0$. Alors, il existe $\delta > 0$ tel que $|u_1 \wedge u_2| \geq \delta$ pour tout $(u_1, u_2) \in K$.

Démonstration du lemme 4.20. Sinon, il existe une suite $\{(u_1^n, u_2^n)\} \subset K$ telle que $|u_1^n \wedge u_2^n| \leq \frac{1}{n}$ pour tout $n \geq 1$. Comme K est compact, on a (à une sous-suite près) $(u_1^n, u_2^n) \rightarrow (\bar{u}_1, \bar{u}_2) \in K$, donc $\lim_{n \rightarrow +\infty} |u_1^n \wedge u_2^n| = 0 = |\bar{u}_1 \wedge \bar{u}_2|$, i.e., les vecteurs \bar{u}_1 et \bar{u}_2 sont colinéaires. Il suit que $|M^{-1}\bar{u}_1 \wedge M^{-1}\bar{u}_2| = 0$, ce qui est impossible. \square

Comme $\underline{s}_{i,j}$ et $\bar{s}_{i,j}$ sont des sommets quelconques, on peut noter s_k à la place de $\underline{s}_{i,j}$ ou $\bar{s}_{i,j}$ et $I_{i,j,n}^k$ à la place de $\underline{I}_{i,j,n}$ ou $\bar{I}_{i,j,n}$. Prenant en compte le deuxième point de (4.37) on voit que

$$(4.46) \quad \text{pour chaque } (i,j) \in A, \text{ chaque } k \in \{1, \dots, q\} \text{ et chaque } n \geq 1, \\ \phi_n^{i,j} = \phi_1^{i,j} \text{ sur } U_{i,j,n}^k \text{ avec } U_{i,j,n}^k := \{x \in U_n^{i,j} : x_1^{i,j} \in I_{i,j,n}^k\}.$$

De plus, grâce au premier point de (4.37), on a $U_{i,j,1}^k \supset \dots \supset U_{i,j,n}^k \supset \dots$ et $\lim_{n \rightarrow +\infty} |U_{i,j,n}^k| = 0$. Il suit que l'on peut construire $\{O_n^k\}_{n \geq 1}^{k \in \{1, \dots, q\}}$ satisfaisant (4.19), (4.21), (4.23) et la condition suivante

$$(4.47) \quad \text{pour chaque } (i,j) \in A, \text{ chaque } k \in \{1, \dots, q\} \text{ et chaque } n \geq 1, \\ O_n^k \cap U_n^{i,j} = U_{i,j,n}^k.$$

De (4.46) et (4.47) on déduit (4.27). Utilisant le troisième point de (4.37) on obtient (4.28) et (4.29) (puisque g est injective). \square

4.2.2. *Démonstration du lemme 4.19.* Soit $k \in \{1, \dots, q\}$. De (4.29) on déduit qu'il existe $\rho > 0$ tel que $\overline{D}_\rho(s_k) \subset O_1^k$ et $\hat{\varphi}_1|_{\overline{D}_\rho(s_k)}$ est injective, où $\overline{D}_\rho(s_k)$ désigne le disque fermé de centre s_k et de rayon ρ . Ainsi $\mathcal{L} := \hat{\varphi}_1(\partial \overline{D}_\rho(s_k))$ est une courbe fermée simple de classe C^1 (puisque $\hat{\varphi}_1$ est aussi une C^1 -immersion sur $O_1^k \setminus \{s_k\}$). Posons $S_k := \hat{\varphi}_1(s_k)$ ($S_k \notin \mathcal{L}$ puisque $\hat{\varphi}_1|_{\overline{D}_\rho(s_k)}$ est injective) et $\mathcal{C} := \hat{\varphi}_1(\overline{D}_\rho(s_k))$. Alors \mathcal{C} est le tronc de cône de sommet S_k s'appuyant sur la courbe \mathcal{L} , i.e.,

$$(4.48) \quad \mathcal{C} = \{H_\lambda^k(v) : \lambda \in [0, 1] \text{ et } v \in \mathcal{L}\},$$

où $H_\lambda^k : \mathbb{R}^3 \rightarrow \mathbb{R}^3$ désigne l'homothétie de centre S_k et de rapport λ . (En effet, $y \in \mathcal{C}$ si et seulement si $y = \hat{\varphi}_1(x)$ avec $x \in \overline{D}_\rho(s_k)$. De plus, on peut écrire x sous la forme $x = h_\lambda^k(u)$ avec $\lambda \in [0, 1]$ et $u \in \partial \overline{D}_\rho(s_k)$, où $h_\lambda^k : \mathbb{R}^2 \rightarrow \mathbb{R}^2$ désigne l'homothétie de centre s_k et de rapport λ , donc $\hat{\varphi}_1(x) = \hat{\varphi}_1(h_\lambda^k(u))$. D'autre part, par (4.28) on a $\hat{\varphi}_1(h_\lambda^k(u)) = H_\lambda^k(v)$ avec $v = \hat{\varphi}_1(u) \in \mathcal{L}$, d'où (4.48).)

Considérons un plan P de \mathbb{R}^3 tel que $\hat{\mathcal{L}} := P \cap \mathcal{C}$ est une courbe fermée simple de classe C^1 et $U \ni I := D \cap P$, où U est l'ouvert borné du plan P tel que $\partial U = \hat{\mathcal{L}}$ et D est la droite orthogonale à P passant par S_k . Un tel plan existe car, d'après (4.27), $\mathcal{C} = \varphi(\overline{D}_\rho(s_k) \setminus \cup_{(i,j) \in A_k} U_1^{i,j}) \cup (\cup_{(i,j) \in A_k} \varphi_1^{i,j}(U_1^{i,j}))$ avec $A_k := \{(i,j) \in A : s_k \text{ est une extrémité de l'arête } \overline{V}_i \cap \overline{V}_j\}$. Géométriquement, \mathcal{C} est le tronc de cône $\varphi(\overline{D}_\rho(s_k))$ auquel on a "arrondi" les arêtes et pour lequel

il est facile de construire un tel plan puisque φ est continue, affine par morceaux et localement injective en s_k . Considérons le repère orthonormé $(I, \varepsilon_1, \varepsilon_2, \varepsilon_3)$ avec $\varepsilon_3 \in D$ et définissons $g : U \rightarrow [0, 1]$ par

$$g(y_1\varepsilon_1 + y_2\varepsilon_2) = g(y_1, y_2) = \langle M(y_1, y_2), \varepsilon_3 \rangle,$$

où $M(y_1, y_2)$ est l'unique point d'intersection entre le cône \mathcal{C} et la droite parallèle à D passant par $(y_1, y_2, 0)$. Alors g est continue et C^1 -différentiable sur $U \setminus \{(0, 0)\}$. Posons $B_1^k := \hat{\varphi}_1^{-1}(\text{Gr}(g))$ avec $\text{Gr}(g)$ désignant le graphe de g . Alors B_1^k est un voisinage ouvert de s_k tel que $\overline{B_1^k} \subset \overline{D_\rho}(s_k) \subset O_1^k$. Soient $\hat{\varphi}_{1,1}$, $\hat{\varphi}_{1,2}$ et $\hat{\varphi}_{1,3}$ les composantes de $\hat{\varphi}_1$ dans la base orthonormée $(\varepsilon_1, \varepsilon_2, \varepsilon_3)$, i.e., $\hat{\varphi}_1 = \hat{\varphi}_{1,1}\varepsilon_1 + \hat{\varphi}_{1,2}\varepsilon_2 + \hat{\varphi}_{1,3}\varepsilon_3$. Alors, $\hat{\varphi}_{1,3}(x) = g(\hat{\varphi}_{1,1}(x), \hat{\varphi}_{1,2}(x))$ pour tout $x \in B_1^k$ et $(\hat{\varphi}_{1,1}, \hat{\varphi}_{1,2})$ est un C^1 -difféomorphisme de B_1^k sur U . Considérons la fonction plateau $p \in C^\infty(\overline{U}; [0, 1])$ donnée par

$$p(y_1, y_2) := \begin{cases} 1 & \text{si } g(y_1, y_2) \in [0, \frac{1}{2}] \\ 0 & \text{si } g(y_1, y_2) \in [\frac{3}{4}, 1] \end{cases}$$

et définissons $\hat{\varphi}_1^k : O_1^k \rightarrow \mathbb{R}^3$ par

$$\hat{\varphi}_1^k(x) := \begin{cases} \hat{\varphi}_{1,1}(x)\varepsilon_1 + \hat{\varphi}_{1,2}(x)\varepsilon_2 + p(\hat{\varphi}_{1,1}(x), \hat{\varphi}_{1,2}(x))\hat{\varphi}_{1,3}(x)\varepsilon_3 & \text{si } x \in B_1^k \\ \hat{\varphi}_1(x) & \text{si } x \in O_1^k \setminus B_1^k. \end{cases}$$

Alors $\hat{\varphi}_1^k$ est C^1 -immersion. \square

5. PERMUTATION DE L'INFIMUM ET DE L'INTÉGRALE

5.1. Théorème général. Dans [4] nous avons étudié la permutation de l'infimum et de l'intégrale sous la forme générale suivante. Soient X un espace métrique localement compact qui est σ -compact, Y un espace de Banach réel séparable, μ une mesure de Radon positive sur X et $f : X \times Y \rightarrow \overline{\mathbb{R}}$ une intégrande de Carathéodory, i.e., $f(x, \zeta)$ est mesurable en x et continue en ζ . Pour $\mathcal{H} \subset L_\mu^p(X; Y)$, on cherche sous quelles conditions il existe une multifonction mesurable $\Gamma : X \rightrightarrows Y$ telle que

$$(5.1) \quad \inf_{\varphi \in \mathcal{H}} \int_X f(x, \varphi(x)) d\mu(x) = \int_X \inf_{\zeta \in \Gamma(x)} f(x, \zeta) d\mu(x).$$

Posons $D(f) := \{\varphi : X \rightarrow Y : \varphi \text{ est mesurable et } f(\cdot, \varphi(\cdot)) \in L_\mu^1(X)\}$. Nous avons montré le théorème suivant (voir [4, Theorem 1.1]).

Théorème 5.1. *Si \mathcal{H} est normalement décomposable, i.e., pour tous $\varphi, \hat{\varphi} \in \mathcal{H}$, et tous $K, V \subset X$ avec K compact, V ouvert et $K \subset V$, il existe une fonction continue $\theta : X \rightarrow [0, 1]$ telle que $\theta = 0$ dans $X \setminus V$, $\theta = 1$ dans K et $\theta\varphi + (1 - \theta)\hat{\varphi} \in \mathcal{H}$, et si*

$$(5.2) \quad \text{il existe } \hat{\varphi} \in \mathcal{H} \cap D(f) \text{ tel que } \hat{f}_\varphi \in L_{\text{loc}, \mu}^1(X) \text{ pour tout } \varphi \in \mathcal{H} \text{ avec}$$

$$\hat{f}_\varphi : X \rightarrow \overline{\mathbb{R}} \text{ définie par } \hat{f}_\varphi(x) = \max_{\alpha \in [0, 1]} f(x, \alpha\varphi(x) + (1 - \alpha)\hat{\varphi}(x)),$$

alors (5.1) a lieu avec Γ donné par le μ -essentiel supremum de \mathcal{H} , i.e., la plus petite de toutes les multifonctions mesurables à valeurs fermées $\Lambda : X \rightrightarrows Y$ telle que pour tout $\varphi \in \mathcal{H}$, $\varphi(x) \in \Lambda(x)$ μ -p.p. dans X .

Remarque 5.2. Le théorème 5.1 contient le théorème de permutation ‘‘convexe’’ de Bouchitté-Valadier (voir [18, Theorem 1]) dans le cas des intégrandes de Carathéodory (voir [4, §5.1]). Bouchitté et Valadier ont prouvé leur théorème de façon directe sans faire de lien avec les théorèmes de permutation ‘‘non convexe et non normalement décomposable’’ de Rockafellar (voir [41, Theorem 3A]) et Hiai-Umegaki (voir

[33, Theorem 2.2], voir aussi le théorème 5.6). (En fait, le théorème de Rockafellar implique le théorème de Hiai-Umegaki, mais il n'y avait pas de lien entre le théorème de Hiai-Umegaki et celui de Bouchitté-Valadier.) Dans [4], nous avons démontré le théorème 5.1 (et donc celui de Bouchitté-Valadier) à partir des théorèmes de permutation et de décomposabilité (voir [33, Theorem 3.1], voir aussi le théorème 5.5) de Hiai-Umegaki. Dans notre contexte, on a donc

théorème R. \Rightarrow théorème H.-U. \Rightarrow théorème 5.1 \Rightarrow théorème B.-V.

(voir [4, §2]).

Remarque 5.3. Les espaces $L_\mu^p(X; Y)$, $C(X; Y)$ (espace des fonctions continues de X dans Y), $C_c(X; Y)$ (espace des fonctions continues à support compact de X dans Y), $C^k(X; Y)$ (espace des fonctions C^k -différentiables de X dans Y) et $C_c^k(X; Y)$ (espace des fonctions C^k -différentiables à support compact de X dans Y) sont normalement décomposables. Plus généralement, si $\Gamma : X \rightrightarrows Y$ est une multifonction à valeurs convexes et si \mathcal{E} est un ensemble normalement décomposable de fonctions mesurables de X dans Y , alors $\{\varphi \in \mathcal{E} : \varphi(x) \in \Gamma(x) \text{ } \mu\text{-p.p. dans } X\}$ est normalement décomposable. D'autre part, étant donné un ensemble \mathcal{U} de fonctions mesurables de X dans $[0, 1]$, on dit qu'un ensemble \mathcal{H} de fonctions mesurables de X dans Y est \mathcal{U} -décomposable si $\theta\varphi + (1-\theta)\hat{\varphi} \in \mathcal{H}$ pour tous $\varphi, \hat{\varphi} \in \mathcal{H}$ et tout $\theta \in \mathcal{U}$. Les ensembles \mathcal{U} -décomposables avec \mathcal{U} contenant $C_c(X; [0, 1])$ ou $C_c^k(X; [0, 1])$ sont normalement décomposables (voir [4, Proposition 3.1(1)]).

Remarque 5.4. On peut représenter le μ -essentiel supremum $\Gamma : X \rightrightarrows Y$ d'un ensemble \mathcal{H} de fonctions mesurables de X dans Y comme suit (voir [18, §2.2]).

- ◇ Si $\mathcal{H} \subset L_\mu^p(X; Y)$ alors il existe un ensemble dénombrable $\mathcal{D} \subset \mathcal{H}$ tel que $\Gamma(x) = \text{adh}\{\varphi(x) : \varphi \in \mathcal{D}\}$ μ -p.p. dans X , où adh désigne l'adhérence dans Y .
- ◇ Si $\mathcal{H} \subset C_c(X; Y)$ alors $\Gamma(x) = \text{adh}\{\varphi(x) : \varphi \in \mathcal{H}\}$ μ -p.p. dans X .

Schéma de démonstration du théorème 5.1. Soient $\Gamma : X \rightrightarrows Y$ le μ -essentiel supremum de \mathcal{H} et $\text{adh}_p(\mathcal{H})$ l'adhérence de \mathcal{H} dans $L_\mu^p(X; Y)$. On montre d'abord que sous (5.2), on a

$$(5.3) \quad \inf_{\varphi \in \mathcal{H}} \int_X f(x, \varphi(x)) d\mu(x) = \inf_{\varphi \in \text{adh}_p(\mathcal{H})} \int_X f(x, \varphi(x)) d\mu(x)$$

(voir [4, Proposition 4.2]). On prouve ensuite que puisque \mathcal{H} est normalement décomposable, $\text{adh}_p(\mathcal{H})$ est $\mathcal{X}(\Omega)$ -décomposable, i.e., $\theta\varphi + (1-\theta)\hat{\varphi} \in \text{adh}_p(\mathcal{H})$ pour tous $\varphi, \hat{\varphi} \in \text{adh}_p(\mathcal{H})$ et tout $\theta \in \mathcal{X}(\Omega) := \{1_E : E \subset X, E \text{ mesurable}\}$ avec 1_E désignant la fonction caractéristique de E (voir [4, Proposition 4.1(1)]). On considère alors les deux théorèmes suivants démontrés par Hiai et Umegaki (voir [33, Theorem 3.1 et Theorem 2.2]).

Théorème 5.5. *Un ensemble fermé non vide $\mathcal{L} \subset L_\mu^p(X; Y)$ est $\mathcal{X}(\Omega)$ -décomposable si et seulement si il existe une multifonction mesurable à valeurs fermées non vides $\Lambda : X \rightrightarrows Y$ telle que $\mathcal{L} = L_\mu^p(X; \Lambda) := \{\varphi \in L_\mu^p(X; Y) : \varphi(x) \in \Lambda(x) \text{ } \mu\text{-p.p. dans } X\}$.*

Théorème 5.6. *Si $\Lambda : X \rightrightarrows Y$ est une multifonction mesurable à valeurs fermées non vides alors*

$$(5.4) \quad \inf_{\varphi \in L_\mu^p(X; \Lambda)} \int_X f(x, \varphi(x)) d\mu(x) = \int_X \inf_{\zeta \in \Lambda(x)} f(x, \zeta) d\mu(x).$$

Du théorème 5.5 on déduit que $\text{adh}_p(\mathcal{H}) = L_\mu^p(X; \Lambda)$ avec $\Lambda : X \rightrightarrows Y$ une multifonction mesurable à valeurs fermées non vides. Comme $\Gamma(x) = \text{adh}\{\varphi(x) : \varphi \in \mathcal{D}\}$ μ -p.p. dans X avec \mathcal{D} un sous-ensemble dénombrable de \mathcal{H} (voir la remarque 5.4) et $\mathcal{H} \subset \text{adh}_p(\mathcal{H})$, on a $\Gamma(x) \subset \Lambda(x)$ μ -p.p. dans X , donc $L_\mu^p(X; \Gamma) \subset \text{adh}_p(\mathcal{H})$. D'autre part, si $\varphi \in \text{adh}_p(\mathcal{H})$ alors il existe $\{\varphi_n\}_{n \geq 1} \subset \mathcal{H}$ tel que $\varphi_n(x) \rightarrow \varphi(x)$ μ -p.p. dans X . Or $\varphi_n(x) \in \Gamma(x)$ μ -p.p. dans X pour tout $n \geq 1$ (par définition du μ -essentiel du supremum), donc $\varphi(x) \in \Gamma(x)$ μ -p.p. dans X puisque Γ est à valeurs fermées, d'où $\text{adh}_p(\mathcal{H}) \subset L_\mu^p(X; \Gamma)$. Il suit que $\text{adh}_p(\mathcal{H}) = L_\mu^p(X; \Lambda) = L_\mu^p(X; \Gamma)$. Ainsi, utilisant le théorème 5.6, on a (5.4) avec $L_\mu^p(X; \Lambda) = \text{adh}_p(\mathcal{H})$ et $\Lambda = \Gamma$ que l'on combine avec (5.3) pour obtenir (5.1). \square

5.2. Une version continue du théorème de Hiai-Umegaki. Rappelons d'abord la définition suivante (voir [10] pour plus de détails).

Définition 5.7. On dit que $\Lambda : X \rightrightarrows Y$ est une multifonction sci si pour chaque fermé $F \subset X$, chaque $x \in X$ et chaque $\{x_n\}_{n \geq 1} \subset X$ tels que $x_n \rightarrow x$ et $\Lambda(x_n) \subset F$ pour tout $n \geq 1$, on a $\Lambda(x) \subset F$.

Le théorème suivant est une conséquence du théorème 5.1 (voir [4, Corollary 5.4]).

Théorème 5.8. Soit $\Sigma \subset \mathbb{R}^N$ un ouvert borné. Supposons que :

(5.5) $f : \bar{\Sigma} \times \mathbb{R}^m \rightarrow [0, +\infty]$ est une intégrande de Carathéodory ;

(5.6) $\Gamma : \bar{\Sigma} \rightrightarrows \mathbb{R}^m$ est une multifonction sci à valeurs convexes fermées non vides ;

(5.7) $\int_{\Sigma} \max_{\alpha \in [0,1]} f(x, \alpha\varphi(x) + (1-\alpha)\hat{\varphi}(x)) dx < +\infty$ pour tous $\varphi, \hat{\varphi} \in C(\bar{\Sigma}; \Gamma)$

(avec $C(\bar{\Sigma}; \Gamma) := \{\varphi \in C(\bar{\Sigma}; \mathbb{R}^m) : \varphi(x) \in \Gamma(x) \text{ p.p. dans } \bar{\Sigma}\}$ où $C(\bar{\Sigma}; \mathbb{R}^m)$ désigne l'espace des fonctions continues de $\bar{\Sigma}$ dans \mathbb{R}^m). Alors

$$\inf_{\varphi \in C(\bar{\Sigma}; \Gamma)} \int_{\Omega} f(x, \varphi(x)) dx = \int_{\Sigma} \inf_{\zeta \in \Gamma(x)} f(x, \zeta) dx.$$

Démonstration. On applique le théorème 5.1 avec $X = \bar{\Sigma}$, $Y = \mathbb{R}^m$, $f : \bar{\Sigma} \times \mathbb{R}^m \rightarrow [0, +\infty]$ (qui est une intégrande de Carathéodory d'après (5.5)) et $\mathcal{H} = C(\bar{\Sigma}; \Gamma)$ (qui est normalement décomposable puisque d'après (5.6) Γ est à valeurs convexes). Comme (par (5.6)) Γ est sci à valeurs convexes fermées non vides, on a $C(\bar{\Sigma}; \Gamma) \neq \emptyset$ par le théorème suivant (de sélection continue de Michael, voir [38]).

Théorème 5.9. Si $\Lambda : X \rightrightarrows Y$ est une multifonction sci à valeurs convexes fermées non vides alors $\Lambda(x) = \{\varphi(x) : \varphi \in C(X; \Lambda)\}$ pour tout $x \in X$. (En particulier, $C(X; \Lambda) \neq \emptyset$.)

D'où (5.2) se déduit de (5.7). Donc, la seule chose à prouver est que

$$(5.8) \quad \Gamma(x) = \hat{\Gamma}(x) \text{ p.p. dans } \bar{\Sigma},$$

où $\hat{\Gamma}$ désigne l'essentiel supremum (par rapport à la mesure de Lebesgue) de $C(\bar{\Sigma}; \Gamma)$. D'après le premier point de la remarque 5.4, il existe un ensemble dénombrable $\mathcal{D} \subset C(\bar{\Sigma}; \Gamma)$ tel que $\hat{\Gamma}(x) = \text{adh}\{\varphi(x) : \varphi \in \mathcal{D}\}$ p.p. dans $\bar{\Sigma}$. Donc $\hat{\Gamma}(x) \subset \Gamma(x)$ p.p. dans $\bar{\Sigma}$. D'autre part, (par le théorème 5.9) on a $\Gamma(x) = \{\varphi(x) : \varphi \in C(\bar{\Sigma}; \mathbb{R}^m)\}$ pour tout $x \in \bar{\Sigma}$. De plus, comme $\bar{\Sigma}$ est compact on a $\hat{\Gamma}(x) = \text{adh}\{\varphi(x) : \varphi \in C(\bar{\Sigma}; \mathbb{R}^m)\}$ d'après la deuxième point de la remarque 5.4, donc $\Gamma(x) \subset \hat{\Gamma}(x)$ p.p. dans $\bar{\Sigma}$, et (5.8) suit. \square

Remarque 5.10. On peut facilement étendre le théorème 5.8 comme suit.

Théorème 5.11. Soient $\Sigma \subset \mathbb{R}^N$ un ouvert borné et $\Lambda : \overline{\Sigma} \rightrightarrows \mathbb{R}^m$ une multifonction. Sous (5.5) s'il existe une suite $\{\Gamma_n\}_{n \geq 1}$ de multifonctions sci de $\overline{\Sigma}$ dans \mathbb{R}^m à valeurs convexes fermées non vides telle que

$$\Gamma_1(x) \subset \Gamma_2(x) \subset \Gamma_3(x) \subset \cdots \subset \cup_{n \geq 1} \Gamma_n(x) = \Lambda(x) \text{ pour tout } x \in \overline{\Sigma}$$

et si pour chaque $n \geq 1$ on a (5.7) avec $\Gamma = \Gamma_n$ alors

$$\inf_{\varphi \in C(\overline{\Sigma}; \Lambda)} \int_{\Omega} f(x, \varphi(x)) dx = \int_{\Sigma} \inf_{\zeta \in \Lambda(x)} f(x, \zeta) dx.$$

RÉFÉRENCES

- [1] ACERBI, E., AND FUSCO, N. Semicontinuity problems in the calculus of variations. *Arch. Rational Mech. Anal.* 86, 2 (1984), 125–145.
- [2] ALIBERT, J.-J., AND DACOROGNA, B. An example of a quasiconvex function that is not polyconvex in two dimensions. *Arch. Rational Mech. Anal.* 117, 2 (1992), 155–166.
- [3] ANZA HAFSA, O. Variational formulations on thin elastic plates with constraints. *J. Convex Anal.* 12, 2 (2005), 365–382.
- [4] ANZA HAFSA, O., AND MANDALLENA, J.-P. Interchange of infimum and integral. *Calc. Var. Partial Differential Equations* 18, 4 (2003), 433–449.
- [5] ANZA HAFSA, O., AND MANDALLENA, J.-P. The nonlinear membrane energy: variational derivation under the constraint “ $\det \nabla u \neq 0$ ”. *J. Math. Pures Appl. (9)* 86, 2 (2006), 100–115.
- [6] ANZA HAFSA, O., AND MANDALLENA, J.-P. Relaxation of variational problems in two-dimensional nonlinear elasticity. *Ann. Mat. Pura Appl. (4)* 186, 1 (2007), 187–198.
- [7] ANZA HAFSA, O., AND MANDALLENA, J.-P. The nonlinear membrane energy: variational derivation under the constraint “ $\det \nabla u > 0$ ”. *Bull. Sci. Math.* 132, 4 (2008), 272–291.
- [8] ANZA HAFSA, O., AND MANDALLENA, J.-P. Relaxation theorems in nonlinear elasticity. *Ann. Inst. H. Poincaré Anal. Non Linéaire* 25, 1 (2008), 135–148.
- [9] ANZELLOTTI, G., BALDO, S., AND PERCIVALE, D. Dimension reduction in variational problems, asymptotic development in Γ -convergence and thin structures in elasticity. *Asymptotic Anal.* 9, 1 (1994), 61–100.
- [10] AUBIN, J.-P., AND FRANKOWSKA, H. *Set-valued analysis*, vol. 2 of *Systems & Control: Foundations & Applications*. Birkhäuser Boston Inc., Boston, MA, 1990.
- [11] BALL, J. M. Convexity conditions and existence theorems in nonlinear elasticity. *Arch. Rational Mech. Anal.* 63, 4 (1976/77), 337–403.
- [12] BALL, J. M. The calculus of variations and materials science. *Quart. Appl. Math.* 56, 4 (1998), 719–740. Current and future challenges in the applications of mathematics (Providence, RI, 1997).
- [13] BALL, J. M. Some open problems in elasticity. In *Geometry, mechanics, and dynamics*. Springer, New York, 2002, pp. 3–59.
- [14] BALL, J. M., AND MURAT, F. $W^{1,p}$ -quasiconvexity and variational problems for multiple integrals. *J. Funct. Anal.* 58, 3 (1984), 225–253.
- [15] BEN BELGACEM, H. *Modélisation de structures minces en élasticité non linéaire*. Thèse de Doctorat, Université Pierre et Marie Curie, 1996.
- [16] BEN BELGACEM, H. Une méthode de Γ -convergence pour un modèle de membrane non linéaire. *C. R. Acad. Sci. Paris Sér. I Math.* 324, 7 (1997), 845–849.
- [17] BEN BELGACEM, H. Relaxation of singular functionals defined on Sobolev spaces. *ESAIM Control Optim. Calc. Var.* 5 (2000), 71–85 (electronic).
- [18] BOUCHITTÉ, G., AND VALADIER, M. Integral representation of convex functionals on a space of measures. *J. Funct. Anal.* 80, 2 (1988), 398–420.
- [19] DACOROGNA, B. Quasiconvexity and relaxation of nonconvex problems in the calculus of variations. *J. Funct. Anal.* 46, 1 (1982), 102–118.
- [20] DACOROGNA, B. *Direct methods in the calculus of variations*, second ed., vol. 78 of *Applied Mathematical Sciences*. Springer, New York, 2008.

- [21] DAL MASO, G. *An introduction to Γ -convergence*. Progress in Nonlinear Differential Equations and their Applications, 8. Birkhäuser Boston Inc., Boston, MA, 1993.
- [22] DE GIORGI, E. Sulla convergenza di alcune successioni d'integrali del tipo dell'area. *Rend. Mat. (6)* 8 (1975), 277–294.
- [23] DE GIORGI, E., AND FRANZONI, T. Su un tipo di convergenza variazionale. *Atti Accad. Naz. Lincei Rend. Cl. Sci. Fis. Mat. Natur. (8)* 58, 6 (1975), 842–850.
- [24] DEMAZURE, M. *Catastrophes et bifurcations*. X Ecole Polytechnique. Ellipses, Paris, 1989.
- [25] DIEUDONNÉ, J. *Éléments d'analyse. Tome I*, third ed. Cahiers Scientifiques [Scientific Reports], XXVIII. Gauthier-Villars, Paris, 1981.
- [26] EKELAND, I., AND TEMAM, R. *Analyse convexe et problèmes variationnels*. Dunod, 1974. Collection Études Mathématiques.
- [27] FONSECA, I. The lower quasiconvex envelope of the stored energy function for an elastic crystal. *J. Math. Pures Appl. (9)* 67, 2 (1988), 175–195.
- [28] GOLUBITSKY, M., AND GUILLEMIN, V. *Stable mappings and their singularities*. Springer-Verlag, New York, 1973. Graduate Texts in Mathematics, Vol. 14.
- [29] GROMOV, M. *Partial differential relations*, vol. 9 of *Ergebnisse der Mathematik und ihrer Grenzgebiete (3)*. Springer-Verlag, Berlin, 1986.
- [30] GROMOV, M. L., AND ÈLIAŠBERG, J. M. Construction of nonsingular isoperimetric films. *Trudy Mat. Inst. Steklov.* 116 (1971), 18–33, 235, (Translated in *Proc. Steklov Inst. Math.* 116 (1971) 13–28).
- [31] HEDBERG, L. I. Spectral synthesis in Sobolev spaces, and uniqueness of solutions of the Dirichlet problem. *Acta Math.* 147, 3-4 (1981), 237–264.
- [32] HEDBERG, L. I., AND WOLFF, T. H. Thin sets in nonlinear potential theory. *Ann. Inst. Fourier (Grenoble)* 33, 4 (1983), 161–187.
- [33] HIAI, F., AND UMEGAKI, H. Integrals, conditional expectations, and martingales of multivalued functions. *J. Multivariate Anal.* 7, 1 (1977), 149–182.
- [34] HORN, R. A., AND JOHNSON, C. R. *Matrix analysis*. Cambridge University Press, Cambridge, 1990.
- [35] KOHN, R. V., AND STRANG, G. Optimal design and relaxation of variational problems. II. *Comm. Pure Appl. Math.* 39, 2 (1986), 139–182.
- [36] LE DRET, H., AND RAOULT, A. Le modèle de membrane non linéaire comme limite variationnelle de l'élasticité non linéaire tridimensionnelle. *C. R. Acad. Sci. Paris Sér. I Math.* 317, 2 (1993), 221–226.
- [37] LE DRET, H., AND RAOULT, A. The nonlinear membrane model as variational limit of nonlinear three-dimensional elasticity. *J. Math. Pures Appl. (9)* 74, 6 (1995), 549–578.
- [38] MICHAEL, E. Continuous selections. I. *Ann. of Math. (2)* 63 (1956), 361–382.
- [39] MORREY, JR., C. B. Quasi-convexity and the lower semicontinuity of multiple integrals. *Pacific J. Math.* 2 (1952), 25–53.
- [40] PERCIVALE, D. The variational method for tensile structures. Preprint 16, Dipartimento di Matematica Politecnico di Torino, 1991.
- [41] ROCKAFELLAR, R. T. Integral functionals, normal integrands and measurable selections. In *Nonlinear operators and the calculus of variations*. Springer, Berlin, 1976, pp. 157–207. Lecture Notes in Math., Vol. 543.
- [42] ŠVERÁK, V. Rank-one convexity does not imply quasiconvexity. *Proc. Roy. Soc. Edinburgh Sect. A* 120, 1-2 (1992), 185–189.
- [43] TRABELSI, K. *Sur la modélisation des plaques minces en élasticité non linéaire*. Thèse de Doctorat, Université Pierre et Marie Curie, 2004.
- [44] WHITNEY, H. On singularities of mappings of euclidean spaces. I. Mappings of the plane into the plane. *Ann. of Math. (2)* 62 (1955), 374–410.
- [45] ZHANG, K. A construction of quasiconvex functions with linear growth at infinity. *Ann. Scuola Norm. Sup. Pisa Cl. Sci. (4)* 19, 3 (1992), 313–326.

UNIVERSITE MONTPELLIER II, UMR-CNRS 5508, PLACE EUGÈNE BATAILLON, 34095 MONTPELLIER, FRANCE.

E-mail address: Omar.Anza-Hafsa@univ-montp2.fr

UNIVERSITE DE NIMES, SITE DES CARMES, PLACE GABRIEL PÉRI, 30021 NÎMES, FRANCE.

E-mail address: jean-philippe.mandallena@unimes.fr